

**ΣΗΜΕΙΩΣΕΙΣ  
ΣΤΟΙΧΕΙΑ ΣΤΑΤΙΚΗΣ & ΑΝΤΟΧΗΣ**

## ΜΕΡΟΣ ΠΡΩΤΟ: Μηχανική του Στερεού Σώματος.

### 0. ΑΝΤΙΚΕΙΜΕΝΟ ΜΑΘΗΜΑΤΟΣ

Η Μηχανική ερευνά τα φυσικά φαινόμενα που σχετίζονται με την αλλαγή της θέσης και τη μεταβολή της μορφής των σωμάτων, δηλ. μελέτα ό,τι αφορά την κίνηση και την παραμόρφωση τους.

Η Στατική είναι ο κλάδος της Μηχανικής που εξετάζει την ισορροπία των στερεών σωμάτων (απαραμορφωτών).

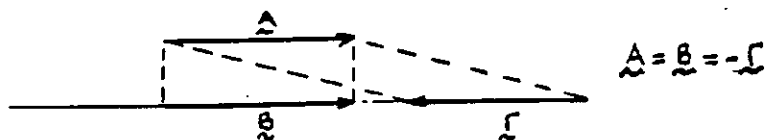
Βασικό αίτιο για την αλλαγή της κατάστασης ενός σώματος (κίνηση-παραμόρφωση) θεωρούνται οι δυνάμεις.

Η δύναμη είναι ένα διανυσματικό μέγεθος, δηλ. παριστάνεται με ένα γεωμετρικό διάνυσμα και έτσι χαρακτηρίζεται από το μέτρο της, τη διεύθυνση της και την φορά της. άλλα διανυσματικά μεγέθη είναι η ταχύτητα, η επιτάχυνση κ.λ.η ενώ βαθμωτά μεγέθη όπως η μάζα, ο χρόνος κ.λ.η. καθορίζονται πλήρως μ'ενα αριθμικό Μονάδα μέτρησης για τη δύναμη είναι το Newton (S.I.):  $1\text{N} = 1\text{kg} \cdot 1\text{m}/\text{sec}^2$  και πολλαπλασιαστές του:  $1\text{kN} = 10^3\text{N}$ ,  $1\text{MN} = 10^6\text{N}$ ,  $1\text{GN} = 10^9\text{N}$ .

### 1. ΣΥΝΤΡΕΧΟΥΣΕΣ ΔΥΝΑΜΕΙΣ - ΣΥΝΙΣΤΑΜΕΝΗ (ΔΙΑΝΥΣΜΑΤΑ)

Ανασκόπηση από την αναλυτική γεωμετρία.

Δύο διανύσματα  $\underline{A}$  και  $\underline{B}$  λέγονται ίσα και γράφουμε  $\underline{A} = \underline{B}$  όταν έχουν το ίδιο μέτρο, είναι παράλληλα και έχουν την ίδια φορά. Λέγονται αντίθετα και γράφουμε  $\underline{A} = -\underline{B}$  όταν έχουν το ίδιο μέτρο, είναι παράλληλα και έχουν αντίθετες φορές.

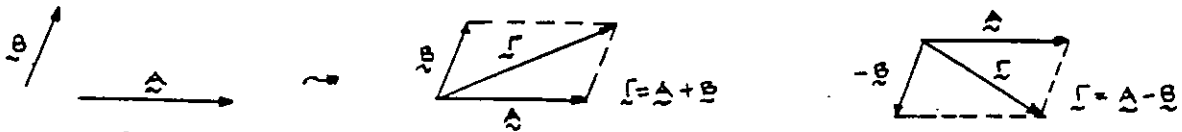


### Στοιχειώδεις πράξεις διανυσμάτων

Βαθμωτό γινόμενο: Το γινόμενο διανύσματος  $\underline{A}$  με τον αριθμό  $\alpha$  είναι το διάνυσμα  $\underline{B}$  που έχει μέτρο  $|\alpha| \cdot A$  όπου το  $\lambda = |\alpha|$  συμβολίζει το μέτρο του  $\underline{A}$ , είναι παράλληλο με το  $\underline{A}$  και έχουν την ίδια φορά αν  $\alpha > 0$  ή αντίθετη αν  $\alpha < 0$  και γράφουμε  $\underline{B} = \alpha \underline{A}$ .

Αθροίσμα δύο διανυσμάτων  $\underline{A}$  και  $\underline{B}$  είναι το διάνυσμα  $\underline{\Gamma}$  που ορίζεται ως εξής: αν πάρουμε τα  $\underline{A}$  και  $\underline{B}$  σαν παρακείμενες πλευρές ενός παραλληλογράμμου τότε το  $\underline{\Gamma}$  είναι το διάνυσμα με αρχή την κοινή αρχή των  $\underline{A}$  και  $\underline{B}$  και πέρας των απεναντι κορυφών του παραγ/γραμμού επί της διαγωνίου (κανόνας του παραγ/γραμμού). Τότε το  $\underline{\Gamma}$  λέγεται συνισταμένη των  $\underline{A}$  και  $\underline{B}$  και τα  $\underline{A}$  και  $\underline{B}$  συνιστώσες του  $\underline{\Gamma}$ .

Η αφαίρεση  $\underline{A} - \underline{B}$  των  $\underline{A}$  και  $\underline{B}$  ορίζεται από την ισότητα:  $\underline{\Gamma} = \underline{A} - \underline{B} = \underline{A} + (-\underline{B})$ .



Ισχύουν οι ιδιότητες:

$$\underline{A} + \underline{B} = \underline{B} + \underline{A}$$

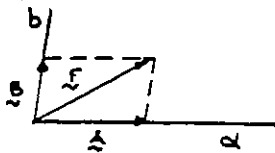
$$\partial(\underline{A} + \underline{B}) = \partial\underline{A} + \partial\underline{B}$$

$$\underline{A} + (\underline{B} + \underline{\Gamma}) = (\underline{A} + \underline{B}) + \underline{\Gamma}$$

$$(\lambda + \mu) \cdot \underline{A} = \lambda \underline{A} + \mu \underline{A}$$

### Αναλυση ενός διανυσματος.

Χρησιμοποιώντας τον κανόνα παραγ/γραμμού μπορούμε αντίστροφα να αναλύσουμε ένα διάνυσμα  $\underline{\Gamma}$  σε δύο συνιστώσες  $\underline{A}$  και  $\underline{B}$  κατά τινος δύο συστημάτων ευθείων  $\alpha$  και  $\beta$ .



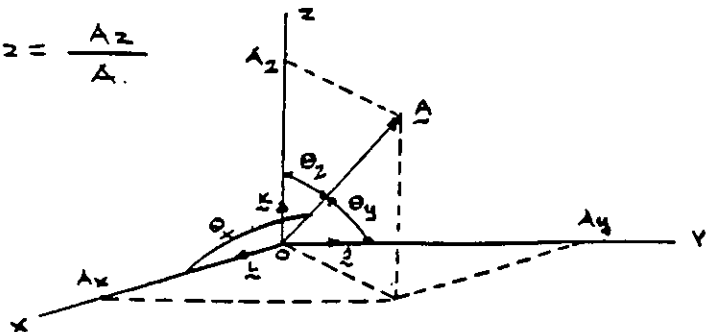
πραγματι φέρνοντας από το πέρας του  $\underline{\Gamma}$  παραλληλές προς τις  $\alpha$  και  $\beta$  ορίζουμε πάνω ε'αυτές τα  $\underline{A}$  και  $\underline{B}$ .

### Αναλυτική παραβίαση διανυσματος.

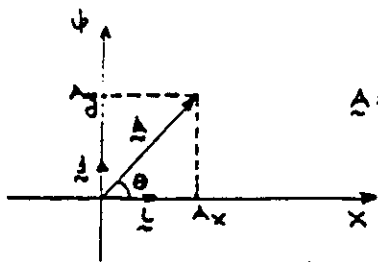
ds είναι οxyz ένα τριεπίδοχο σύστημα αξόνων με βασικά διανυστάτα  $\underline{i}, \underline{j}, \underline{k}$  αντίστοιχα είς τους άξονες ox, oy, oz. και  $\underline{A}$  ένα διάνυσμα με συντεταγμένες  $A_x, A_y, A_z$ . τότε είναι:  $\underline{A} = A_x \cdot \underline{i} + A_y \cdot \underline{j} + A_z \cdot \underline{k}$  και  $A = \sqrt{A_x^2 + A_y^2 + A_z^2}$

Ενώ τα συνημίτονα κατεύθυνσης του  $\underline{A}$  δίνονται από τις σχέσεις:

$$\cos \theta_x = \frac{A_x}{A}, \quad \cos \theta_y = \frac{A_y}{A}, \quad \cos \theta_z = \frac{A_z}{A}$$



$$\underline{A} = A_x \cdot \underline{i} + A_y \cdot \underline{j} \quad , \quad A = \sqrt{A_x^2 + A_y^2}$$



$$\underline{A} = A_x \underline{i} + A_y \underline{j}$$

$$A_x = A \cdot \cos \theta$$

$$A_y = A \cdot \sin \theta$$

Ετσι οι πράξεις που ορίστηκαν παραπάνω μπορούν να γραφούν αναλυτικά με εξής:

αδ είναι  $\underline{A} = A_x \cdot \underline{i} + A_y \cdot \underline{j} + A_z \cdot \underline{k}$  και  $\underline{B} = B_x \cdot \underline{i} + B_y \cdot \underline{j} + B_z \cdot \underline{k}$ .

Τότε:  $\underline{\Gamma} = \underline{A} \pm \underline{B} = (A_x \pm B_x) \underline{i} + (A_y \pm B_y) \underline{j} + (A_z \pm B_z) \underline{k}$

$\underline{B} = \lambda \underline{A} = (\lambda A_x) \underline{i} + (\lambda A_y) \underline{j} + (\lambda A_z) \underline{k}$

για διανυσματα του επιπέδου οκψ ισχυουν οι παραπάνω τύποι με  $A_z = B_z = 0$

Εσωτερικό γινόμενο δύο διανυσματων A και B λέγεται ο αριθμός:

$A \cdot B \cdot \cos \theta$  , όπου  $\theta$  είναι η κυρτή γωνία ( $0 \leq \theta \leq 180^\circ$ ) μεταξύ των  $\underline{A}$  και  $\underline{B}$  , παριστάνεται με  $\underline{A} \cdot \underline{B}$  και έχει τις παρακάτω ιδιότητες:

$\underline{A} \cdot \underline{B} = \underline{B} \cdot \underline{A}$

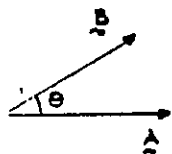
$\underline{A} \cdot (\underline{B} + \underline{\Gamma}) = \underline{A} \cdot \underline{B} + \underline{A} \cdot \underline{\Gamma}$

είναι  $\underline{A} \cdot \underline{A} = A^2$  , αν  $\underline{A}, \underline{B} \neq \underline{0}$  τότε  $\underline{A} \cdot \underline{B} = 0 \Rightarrow \underline{A} \perp \underline{B}$

Χρησιμοποιώντας την αναλυτική παράσταση των διανυσματων θα έχουμε

$\underline{A} \cdot \underline{B} = A_x \cdot B_x + A_y \cdot B_y + A_z \cdot B_z$  και για διανυσματα του επιπέδου οκψ:

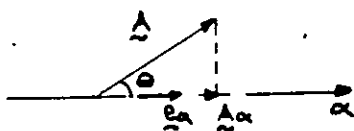
$\underline{A} \cdot \underline{B} = A_x \cdot B_x + A_y \cdot B_y$ .



$\underline{A} \cdot \underline{B} = A \cdot B \cdot \cos \theta \Rightarrow \theta = \cos^{-1} \frac{\underline{A} \cdot \underline{B}}{A \cdot B} = \frac{A_x \cdot B_x + A_y \cdot B_y + A_z \cdot B_z}{\sqrt{(A_x^2 + A_y^2 + A_z^2) \cdot (B_x^2 + B_y^2 + B_z^2)}}$

$0^\circ \leq \theta \leq 180^\circ$

Χρησιμοποιώντας το εσωτερικό γινόμενο μπορούμε να βρούμε την προβολή ενός διανυσματος πάνω σε μια ευθεία:



αν  $\underline{A}_\alpha$  η προβολή του  $\underline{A}$  στην ευθεία  $\alpha$

είναι  $\underline{A}_\alpha = A \cdot \cos \theta \cdot \underline{e}_\alpha$

όπου  $\underline{e}_\alpha$  το μοναδιαίο της  $\alpha$

άλλα  $\underline{A} \cdot \underline{e}_\alpha = A \cdot 1 \cdot \cos \theta = A \cdot \cos \theta$

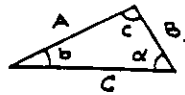
$\Rightarrow \underline{A}_\alpha = (\underline{A} \cdot \underline{e}_\alpha) \underline{e}_\alpha$

αν  $\theta > 90^\circ$  τότε  $\underline{A}_\alpha$  ομορροπο των  $\underline{e}_\alpha$

αν  $\theta < 90^\circ$  τότε  $\underline{A}_\alpha$  αντιρροπο των  $\underline{e}_\alpha$

Συνισταμένη συντρέχουσων δυνάμεων

Για να βρει κανείς την συνισταμένη  $R$  η δυνάμεων  $F_1, F_2, \dots, F_n$  που συντρέχουν σ' ένα σημείο μπορεί να εφαρμοστεί τον κανόνα του Παρ/Κηρύ σε συνδυασμό με τις Τριγωνομετρικές σχέσεις:



νόμος ημιτόνων:  $\frac{A}{\sin \alpha} = \frac{B}{\sin \beta} = \frac{C}{\sin \gamma}$

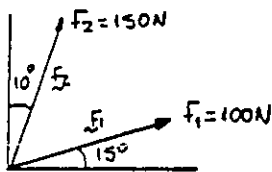
νόμος συνημιτόνων:  $C = \sqrt{A^2 + B^2 - 2AB \cdot \cos \gamma}$

επίσης η μέθοδος αυτή εφαρμόζεται εύκολα στην περίπτωση δύο δυνάμεων. Για περίεστρες δυνάμεις είναι ευκολότερο να χρησιμοποιήσουμε την αναλυτική παράσταση των δυνάμεων με τις καρτεσιανές τους συντεταγμένες. τότε οι συντεταγμένες της συνισταμένης  $R = F_1 + F_2 + \dots + F_n$  θα είναι:  $R = \sum_{i=1}^n F_i \Rightarrow R_x = \sum_{i=1}^n F_{ix}, R_y = \sum_{i=1}^n F_{iy}, R_z = \sum_{i=1}^n F_{iz}$  όπου  $F_{ix}, F_{iy}, F_{iz}$  είναι οι συντεταγμένες της δύναμης  $F_i$ .

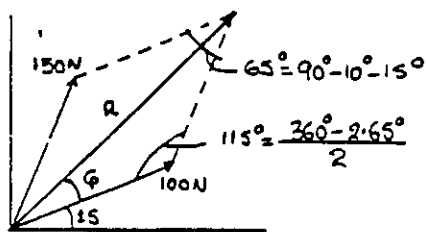
Και για δυνάμεις στο επίπεδο ο.κ.κ ( $F_z = 0$ )  $\Rightarrow R_z = 0$ .

Παράδειγμα

Να προσδιοριστεί το μέτρο και η διεύθυνση της συνισταμένης των δυνάμεων του σχήματος.



α) μέθοδος παρ/κηρύ

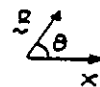


δηλ. για νόμο των συνημιτόνων θα έχουμε:

$$R = \sqrt{100^2 + 150^2 - 2 \cdot 100 \cdot 150 \cdot \cos 115^\circ} = 212,6 \text{ N}$$

δηλ. τον νόμο των ημιτόνων:  $\frac{150}{\sin \phi} = \frac{212,6}{\sin 115} \Rightarrow \phi = 39,8^\circ$

δηλ. η γωνία της  $R$  με τον άξονα  $x$  είναι  $\theta = 39,8 + 15 = 54,8^\circ$



β) αναλυτική μέθοδος

$$F_{1x} = 100 \cdot \cos 15^\circ = 96,6 \text{ N}, F_{1y} = 100 \cdot \sin 15^\circ = 25,9 \text{ N}$$

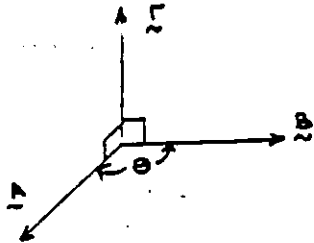
$$F_{2x} = 150 \cdot \cos(90-10) = 26 \text{ N}, F_{2y} = 150 \cdot \sin(90-10) = 147,7 \text{ N}$$

$$\Rightarrow R_x = 96,6 + 26 = 122,6 \text{ N}, R_y = 25,9 + 147,7 = 173,6 \text{ N}$$

$$R = \sqrt{122,6^2 + 173,6^2} = 212,6 \text{ N}$$

$$\cos \theta = \frac{R_x}{R} = \frac{122,6}{212,6} = 0,577 \Rightarrow \theta = 54,8^\circ$$

Εξωτερικό γινόμενο δύο διανυσμάτων  $\underline{A}$  και  $\underline{B}$  ορίζεται το διάνυσμα  $\underline{\Gamma}$  που έχει μέτρο  $\Gamma = A \cdot B \cdot \sin \theta$  όπου  $\theta$  η κύρτη γωνία των  $\underline{A}$  και  $\underline{B}$ , διεύθυνση καθετή στο επίπεδο των  $\underline{A}$  και  $\underline{B}$  και φορά τέτοια ώστε η τριάδα  $\underline{A}, \underline{B}, \underline{\Gamma}$  να είναι δεξιόστροφη (χρησιμοποιούνται δεξιόστροφα συστήματα αξόνων). Το εξωτερικό γινόμενο συμβολίζεται:  $\underline{\Gamma} = \underline{A} \times \underline{B}$



Ιδιότητες εξωτερικού γινομένου.

$$\underline{A} \times \underline{B} = -(\underline{B} \times \underline{A})$$

$$(\lambda \underline{A}) \times \underline{B} = \lambda(\underline{A} \times \underline{B}) = \underline{A} \times (\lambda \underline{B})$$

$$\underline{A} \times (\underline{B} + \underline{\Gamma}) = \underline{A} \times \underline{B} + \underline{A} \times \underline{\Gamma}$$

$$\text{αν } \underline{A} \parallel \underline{B} \rightarrow \underline{A} \times \underline{B} = \underline{0}$$

για τα μοναδιαία διανυσμάτα  $\underline{i}, \underline{j}, \underline{k}$  ενός καρτεσιανού συστήματος αξόνων είναι:  $\underline{i} \times \underline{j} = \underline{k}, \underline{j} \times \underline{k} = \underline{i}, \underline{k} \times \underline{i} = \underline{j}$

Ετσι το εξωτερικό γινόμενο γραφεται αναλυτικά:

$$\underline{\Gamma} = \underline{A} \times \underline{B} = (A_y B_z - A_z B_y) \underline{i} + (A_z B_x - A_x B_z) \underline{j} + (A_x B_y - A_y B_x) \underline{k}$$

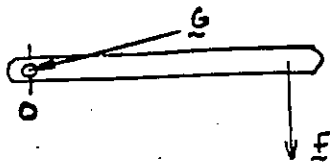
αν τα διανυσμάτα  $\underline{A}$  και  $\underline{B}$  βρίσκονται στο επίπεδο  $oxy$ ,  $A_z = B_z = 0$

και  $\underline{\Gamma} = \underline{A} \times \underline{B} = (A_x B_y - A_y B_x) \underline{k} = \Gamma_z \underline{k}$  δηλ. παράλληλο με τον άξονα  $z$

## 2. ΡΟΠΕΣ

### 2.1 Ροπή Δύναμης ως προς σημείο

Θεωρείστε ένα σώμα στερεωμένο σε ένα σημείο όπως φαίνεται στο σχήμα.



απο την εμπειρία του περιμένει κάποιος ότι η δύναμη  $\underline{F}$  τείνει να περιστρέψει ή να περιστρεφεί (αν υπάρχει η δυνατότητα στροφής) το σώμα γύρω από το σημείο  $O$ .

Μάλιστα τόσο πιο μεγάλη είναι η επιρροή της δύναμης όσο πιο μακριά εφαρμόζεται από το σημείο  $O$

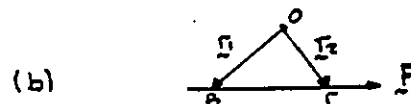
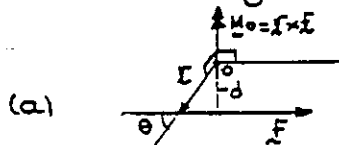
άρα καταλαβαίνει κάποιος ότι μια δύναμη  $\underline{F}$  που περνά από το  $O$  δεν μπορεί να προκαλέσει στροφή γύρω από το σημείο αυτό.

Η ροπή μιας δύναμης γύρω από ένα σημείο είναι ακριβώς ένα μέτρο της τάσης που έχει η δύναμη να περιστρέψει ένα σώμα γύρω από το σημείο αυτό.

Η ροπή μιας δύναμης ως προς ένα σημείο  $O$  είναι ένα διανυσματικό μέγεθος που ορίζεται σαν το εσωτερικό γινόμενο:  $\underline{M}_O = \underline{r} \times \underline{F}$  όπου  $\underline{r}$  το διανυσμα με αρχή το  $O$  και πέρας ένα σημείο της δύναμης  $\underline{F}$ .

Επομένως η ροπή είναι ένα διανυσμα κάθετο στο επίπεδο των  $\underline{r}$  και  $\underline{F}$ , έχει μέτρο  $M_O = r \cdot F \cdot \sin\theta = d \cdot F$  όπου  $d$  η απόσταση του  $O$  από την  $\underline{F}$  και φορά τέτοια ώστε η τριάδα  $\underline{r}, \underline{F}, \underline{M}_O$  να είναι δεξιόστροφη.

Επίσης θεωρούμε ότι ο άξονας της ροπής πέρνα από το  $O$ . Γεωμετρικά παρίσταται  $\hat{r}$  ένα βέλος με δύο αιχμές  $\longrightarrow$ . Μονάδα μέτρησης της ροπής είναι το  $N\cdot m$  και τα παραγώγα του.



Θα δείξουμε ότι η ροπή της  $\underline{F}$  ως προς ένα σημείο  $O$  δεν εξαρτάται από το πέρας της  $\underline{r}$  πάνω στην  $\underline{F}$ . Πραγματικά είναι (βλ. β):  $\underline{r}_2 \times \underline{F} = (\underline{r}_1 + \beta \underline{F}) \times \underline{F} = \underline{r}_1 \times \underline{F} + \beta \underline{F} \times \underline{F} = \underline{r}_1 \times \underline{F}$  γιατί  $\beta \underline{F} \times \underline{F} = 0$  επομένως μια δύναμη  $\underline{F}$  είναι ένα ομοειδώς διανυσμα: μπορεί να εφαρμόζεται σε οποιοδήποτε σημείο του άξονα της. Εάν ως προς κάποιο καρτεσιανό σύστημα είναι:

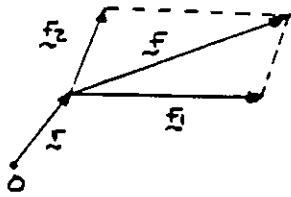
$$\underline{r} = r_x \underline{i} + r_y \underline{j} + r_z \underline{k} \quad \text{και} \quad \underline{F} = F_x \underline{i} + F_y \underline{j} + F_z \underline{k} \quad \rightarrow$$

$$\rightarrow \underline{M}_O = \underline{r} \times \underline{F} = (r_y F_z - r_z F_y) \underline{i} + (r_z F_x - r_x F_z) \underline{j} + (r_x F_y - r_y F_x) \underline{k}.$$

Εάν η δύναμη  $\underline{F}$  βρίσκεται στο επίπεδο  $oxy$  τότε η ροπή της ως προς κάποιο σημείο του επιπέδου θα είναι πάντα κάθετη στο επίπεδο  $oxy$ . Δηλ  $\underline{M} = M_z \underline{k}$  και  $|M_z| = M = F \cdot d$ , θα είναι  $M_z > 0$  όταν η ροπή είναι αριστερόστροφη  $\uparrow$  δηλ τενεί να ελκύει ένα σώμα γύρω από το σημείο κατά την αντισωρολογιακή φορά, και  $M_z < 0$  όταν είναι δεξιόστροφη  $\downarrow$ .

Οι ροπές  $\underline{M}_1, \underline{M}_2, \dots, \underline{M}_n$  των δυνάμεων  $\underline{F}_1, \underline{F}_2, \dots, \underline{F}_n$  γύρω από το ίδιο σημείο σαν διανυσματα προστίθενται διανυσματικά δηλ. θα δώσαν μια συνισταμένη ροπή στο  $O$ :  $\underline{M} = \underline{M}_1 + \underline{M}_2 + \dots + \underline{M}_n$ . Όταν όμως οι δυνάμεις βρίσκονται στο ίδιο επίπεδο  $oxy$  τότε οι ροπές τους, ως προς κάποιο σημείο του επιπέδου θα είναι συνευθειακά διανυσματα (καθέτα στο  $oxy$  στο σημείο αυτό):  $\underline{M}_l = M_{lz} \underline{k} \quad l=1, 2, \dots, n$  επομένως  $M_z = M_{1z} + M_{2z} + \dots + M_{nz}$  δηλ προστίθενται τα αλγεβρικά τους μέτρα και  $\underline{M} = M_z \underline{k}$ . Συνδυάζοντας στην περίπτωση επιπέδων δυνάμεων επιβαρύνεται με  $M$  το αλγεβρικό μέτρο της ροπής δηλ  $M = M_z$ .

ds είναι  $\underline{F}$  μια δύναμη με συνιστώσες  $\underline{f}_1, \underline{f}_2$  δηλ  $\underline{F} = \underline{f}_1 + \underline{f}_2$ .

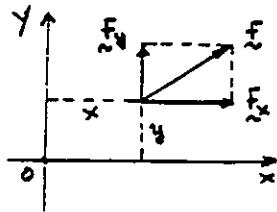


Ροπή της  $\underline{F}$  ως προς O:  $\underline{M}_O = \underline{r} \times \underline{F} = \underline{r} \times (\underline{f}_1 + \underline{f}_2) = \underline{r} \times \underline{f}_1 + \underline{r} \times \underline{f}_2$   
 αλλά  $\underline{r} \times \underline{f}_1$  και  $\underline{r} \times \underline{f}_2$  είναι οι ροπές των  $\underline{f}_1$  και  $\underline{f}_2$  ως προς το O

Ετσι αποδειξάμε το θεώρημα (θεώρημα του Varignon):

Η ροπή μιας δύναμης γύρω από κάποιο επίπεδο είναι ίση με το άθροισμα των ρομών των συνιστωσών της γύρω από το ίδιο επίπεδο

ds είναι  $\underline{F}$  μια δύναμη στο επίπεδο Oxy.



$$\begin{aligned} \underline{F}_x &= F_x \cdot \underline{i} \\ \underline{F}_y &= F_y \cdot \underline{j} \\ \underline{F} &= \underline{F}_x + \underline{F}_y \end{aligned}$$

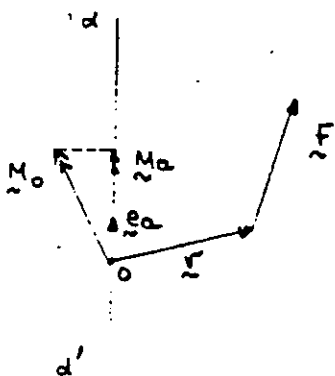
Συμφωνα με το προηγούμενο θεώρημα:

$$\text{ροπή της } \underline{F} \text{ ως προς } O = \text{ροπή της } \underline{F}_x + \text{ροπή της } \underline{F}_y$$

$$\Rightarrow M_O = -F_x \cdot y + F_y \cdot x \text{ όπου } M_O \text{ το αλγεβρικό τετράο της } \underline{M}_O$$

## 2.2 Ροπή Δυναμής ως προς Αξονα

Η ροπή δύναμης γύρω από αξονα ορίζεται σαν η προβολή του διανυσ-  
 τος της ροπής της δύναμης ως προς τυχαίο επίπεδο τον αξονα,  
 πάνω στον αξονα.



$\underline{e}_a = e_{ax} \underline{i} + e_{ay} \underline{j} + e_{az} \underline{k}$  το μοναδιαίο τν αξονα αα'  
 όπως έχουμε δει η προβολή του  $\underline{M}_O$  στον αα' με  
 αρχική εσωτέρηση χυσιόκευον είναι:

$$\underline{M}_a = (\underline{M}_O \cdot \underline{e}_a) \cdot \underline{e}_a$$

$$\text{α} \text{ } \underline{M}_a = \underline{r} \times \underline{F}$$

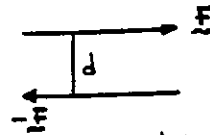
$$\Rightarrow \underline{M}_O \cdot \underline{e}_a = (\underline{r} \times \underline{F}) \cdot \underline{e}_a = \begin{vmatrix} e_{ax} & e_{ay} & e_{az} \\ r_x & r_y & r_z \\ F_x & F_y & F_z \end{vmatrix}$$



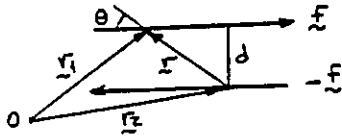
### 2.3 Ζεύχος Δυνάμεων - Ροπή Ζεύχους

Ένα ζεύχος δυνάμεων αποτελείται από δύο δυνάμεις που έχουν παράλληλους άξονες σε απόσταση  $d$ , ίσα μέτρα και αντίθετη φορά:

Η συνισταμένη δύναμη του ζεύχους είναι μηδέν.



Η ροπή του ζεύχους ως προς κάποιο σημείο  $O$  είναι ίση με το άθροισμα των ροπών των δυνάμεων του ζεύχους γύρω από το ίδιο σημείο:



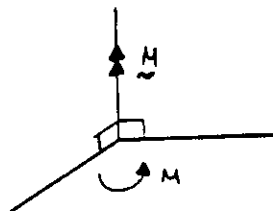
$$\text{είναι } \underline{M} = \underline{r}_1 \times \underline{F} - \underline{r}_2 \times \underline{F} = (\underline{r}_1 - \underline{r}_2) \times \underline{F} = \underline{d} \times \underline{F}$$

Ετσι η ροπή του ζεύχους είναι μαδέρη στο επίπεδο των δυνάμεων και έχει μέτρο  $M = r \cdot F \cdot \sin\theta = F \cdot d$  δηλ ανεξάρτητο από το σημείο ως προς το οποίο θεωρούμε την ροπή. Άρα η ροπή του ζεύχους είναι ένα ελεύθερο διανυσμα δηλ μπορεί να εφαρμόζεται σε οποιοδήποτε σημείο. Επειδή η συνισταμένη του ζεύχους είναι μηδέν τελικά ένα ζεύχος αντιπροσωπεύεται από την ροπή του  $\underline{M}$ , έτσι κάθε ζεύχος ρομής  $\underline{M}$  είναι ζεύχος  $\underline{M}$ .

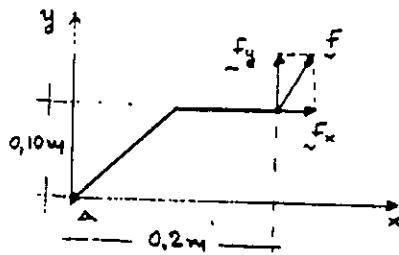
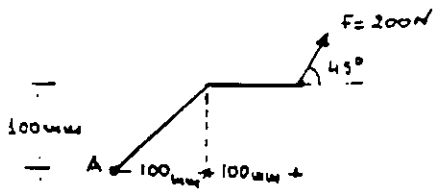
Εφ' όσον η ροπή του ζεύχους είναι ελεύθερο διανυσμα δύο ζεύγη  $\underline{M}_1, \underline{M}_2$  μπορούν να θεωρηθούν ότι εφαρμόζονται στο ίδιο σημείο οπότε δίνουν σαν συνισταμένη το ζεύχος  $\underline{M} = \underline{M}_1 + \underline{M}_2$

Εάν τα ζεύγη  $\underline{M}_1, \underline{M}_2$  αναφέρονται στο ίδιο επίπεδο (δηλ οι  $\underline{M}_1, \underline{M}_2$  είναι μαδέρητες στο ίδιο επίπεδο) τότε και η  $\underline{M}$  θα έρχεται σ' αυτό το επίπεδο και τα ζεύγη προστίθενται αλγεβρικά:  $M = M_1 + M_2$  όπου σ' αυτή την περίπτωση με  $M$  συμβολίζουμε το αλγεβρικό μέτρο μιας ρομής  $\underline{M}$  ( $M > 0$  για ↺,  $M < 0$  για ↻)

Ένα ζεύχος  $\underline{M}$  συμβολίζεται με ένα καμπύλο βέλος ↻ επάνω στο επίπεδο του.



■ Να προσδιοριστεί η ροπή της δύναμης του σχήματος γύρω από το σημείο A



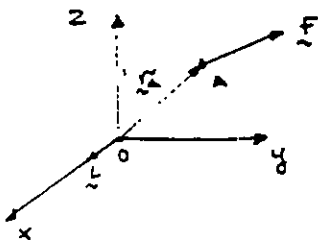
Χαλουμε την  $\underline{F}$  στις συνιστώσες της  $\underline{F}_x$   $\underline{F}_y$  οπότε σύμφωνα με το θεώρημα του Varignon η ροπή της  $\underline{F}$  ως προς A θα ισούται με το άθροισμα των ρομών των  $\underline{F}_x$ ,  $\underline{F}_y$

Είναι  $F_x = 200 \cdot \cos 45 = 141,4 \text{ N}$   
 $F_y = 200 \cdot \sin 45 = 141,4 \text{ N}$

$\rightarrow U_A = -141,4 \cdot 0,1 + 141,4 \cdot 0,2 \quad \uparrow +$

$\rightarrow M_A = 14,1 \text{ Nm} \quad \uparrow \quad \text{και} \quad \underline{M}_A = 14,1 \underline{K}$

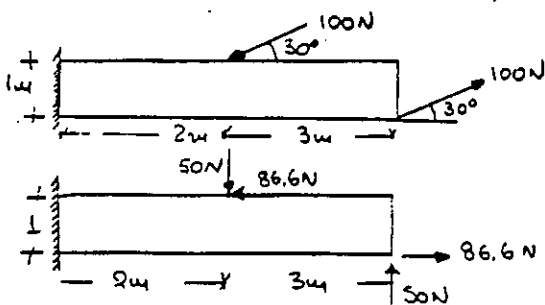
■ Να υπολογιστεί η ροπή της δύναμης  $\underline{F} = -40\underline{i} + 20\underline{j} + 10\underline{k}$  που εφαρμόζεται στο σημείο A(-3, 4, 6) γύρω από τον άξονα x.



το μοναδικό του άξονα x είναι το  $\underline{l} (1, 0, 0)$

$\rightarrow \underline{M}_x = (\underline{M}_0 \cdot \underline{l}) \cdot \underline{l} = \begin{vmatrix} 1 & 0 & 0 \\ -3 & 4 & 6 \\ -40 & 20 & 10 \end{vmatrix} \cdot \underline{l} = -80 \underline{l}$

■ Να βρεθεί η ροπή του ζεύγους που φαίνεται στο σχήμα



αναλύουμε τις δυνάμεις στις συνιστώσες τους και προσθέτουμε τα δύο ζεύγη που προκύπτουν.

Είναι  $F_x = \pm 100 \cos 30^\circ = \pm 86,6 \text{ N}$

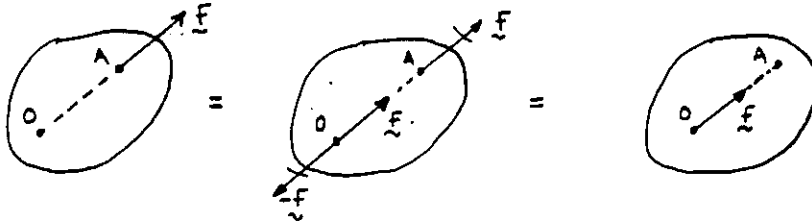
$F_y = \pm 100 \sin 30^\circ = \pm 50 \text{ N}$

$\rightarrow U = 50 \cdot 3 + 86,6 \cdot L = 236,6 \text{ Nm} \quad \uparrow$

### 3. ΔΥΝΑΜΕΙΣ ΣΕ ΣΤΕΡΕΟ ΣΩΜΑ.

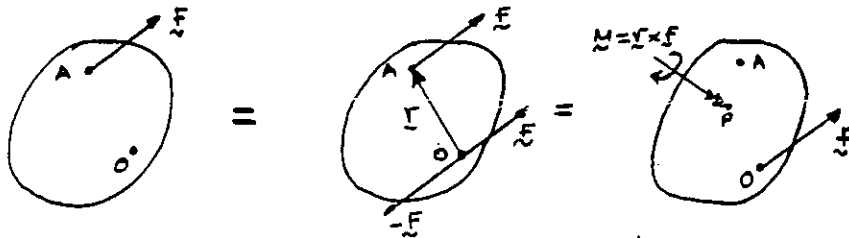
#### 3.1 Μετάκινηση δύναμης πάνω ε' ένα στερεό.

##### a) Μετάφορα δύναμης πάνω ε' τον άξονα $z$ του.



δηλ. η επίδραση μιας δύναμης πάνω ε' ένα στερεό σώμα δεν μεταβάλλεται όταν αυτή μεταφέρεται πάνω ε' τον άξονα  $z$  του. Επομένως η δύναμη είναι ένα ολισθαίνουσα διανύσμα: μπορεί να εφαρμόζεται ε' οποιοδήποτε σημείο του άξονα  $z$  του.

##### b) Μετάφορα δύναμης σε σημείο εκτός του άξονα $z$ του.



δηλ. μπορούμε να μεταφέρουμε μια δύναμη από ένα σημείο A ε' ένα σημείο O έξω από τον άξονα  $z$  του σώματος ε' όσον έχουμε ε' όψη μας και τη ροπή διέγερσης  $\underline{M} = \underline{r} \times \underline{F}$  που προκύπτει από αυτή των μεταφορών.

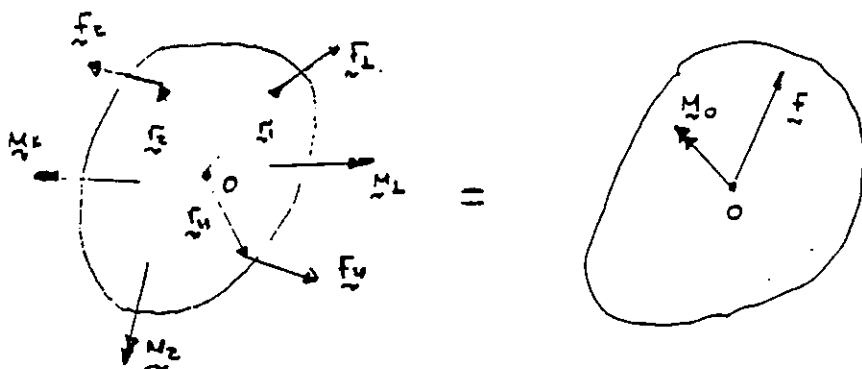
Η  $\underline{M}$  ε' αν ροπή διέγερσης (εξωτερικό διανύσμα) μπορεί να εφαρμόζεται σε οποιοδήποτε σημείο P.

## 11

Συνισταμένες ενός συστήματος δυνάμεων και ζευγών.

Ένα σύστημα δυνάμεων και ζευγών που ενεργούν επί ένα στερεό σώμα μπορεί να αναχθεί σε ένα απλούστερο που να περιλαμβάνει μία συνισταμένη δύναμη και μία συνισταμένη ροπή:

θεωρείστε ένα στερεό στο οποίο ενεργούν οι δυνάμεις  $\underline{f}_1, \underline{f}_2, \dots, \underline{f}_n$  και τα ζεύγη  $\underline{M}_1, \underline{M}_2, \dots, \underline{M}_k$



Συμφώνα με τα προηγούμενα μπορούμε να μεταφέρουμε όλες τις δυνάμεις σε ένα σημείο O εάν εφαρμόσουμε στο σώμα και τις ροπές που προκύπτουν από την μεταφορά αυτή δηλαδή  $\underline{r}_1 \times \underline{f}_1, \underline{r}_2 \times \underline{f}_2, \dots, \underline{r}_n \times \underline{f}_n$

Έτσι οι δυνάμεις στο O μπορούν να προστεθούν σε μια συνισταμένη  $\underline{F} = \underline{f}_1 + \underline{f}_2 + \dots + \underline{f}_n$ .

Εξ' αλλού οι ροπές  $\underline{M}_1, \dots, \underline{M}_k, \underline{r}_1 \times \underline{f}_1, \dots, \underline{r}_n \times \underline{f}_n$  εάν ροπές ζευγών είναι ελεύθερα διανυσμάτα και μπορούν να εφαρμοστούν σε οποιοδήποτε σημείο π.χ το O και να δώσουν μία συνισταμένη ροπή:

$$\underline{M}_0 = \underline{M}_1 + \underline{M}_2 + \dots + \underline{M}_k + \underline{r}_1 \times \underline{f}_1 + \dots + \underline{r}_n \times \underline{f}_n$$

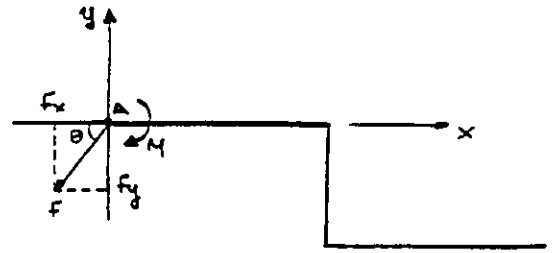
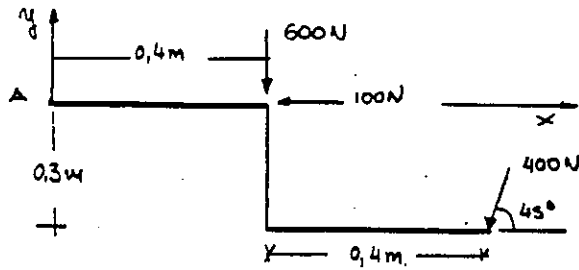
Όταν έχουμε ετεπίπεδες δυνάμεις οι ροπές θα είναι κάθετες στο επίπεδο τους (παράλληλα διανυσμάτα) άρα μπορούν να προστεθούν αλγεβρικά

Συμείωση. Η  $\underline{F}$  δεν εξαρτάται από την θέση του O.

Η  $\underline{M}_0$  όμως εξαρτάται αφού εξαρτάται από τις ροπές των  $\underline{f}_1, \dots, \underline{f}_n$  ως προς το σημείο αυτό.

Παράδειγμα 2.

■ Να αντικατασταθούν οι παρακάτω δυνάμεις με ένα ισοδύναμο σύστημα μιας συνισταμένης δύναμης και ροπής στο σημείο Α.



Η συνισταμένη δύναμη θα είναι  $\underline{F} = \sum \underline{F}_i \Rightarrow F_x = \sum F_{ix}, F_y = \sum F_{iy}$

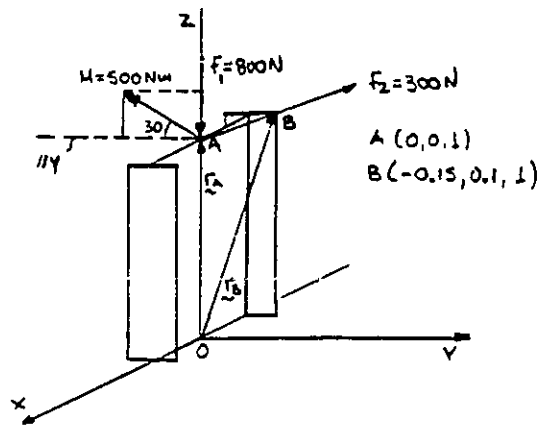
$\Rightarrow F_x = -100 - 400 \cdot \cos 45 = -382,8 \text{ N}$

$F_y = -600 - 400 \cdot \sin 45 = -882,8 \text{ N}$

$\Rightarrow F = \sqrt{382,8^2 + 882,8^2} = 962 \text{ N}$  και  $\theta = \tan^{-1} \frac{882,8}{382,8} = 66,5^\circ$

οι ροπές των δυνάμεων θα είναι καθετές στο επίπεδο xy και μπορούν να προστεθούν αλγεβρικά. είναι:  $M_A = -600 \cdot 0,4 - 400 \cdot \sin 45 \cdot 0,8 - 400 \cdot \cos 45 \cdot 0,3 = -551 \text{ Nm}$

■



Να αντικατασταθεί το σύστημα των δυνάμεων  $\underline{F}_1, \underline{F}_2$  και του ζεύγους  $\underline{M}$  με μια συνισταμένη δύναμη και ροπή στο 0.

διαφορετικά παραστάσει δυνάμεων και ροπής:

$\underline{F}_1 = -800 \underline{k}$  ,  $\underline{F}_2 = 300 \cdot \underline{e}_{AB}$  όπου  $\underline{e}_{AB}$  το μοναδιαίο του  $\underline{AB}$   
 $\underline{e}_{AB} = \frac{\underline{AB}}{AB} = \frac{-0,15 \underline{i} + 0,1 \underline{j}}{\sqrt{0,15^2 + 0,1^2}} = -0,83 \underline{i} + 0,55 \underline{j} \Rightarrow \underline{F}_2 = -249 \underline{i} + 165 \underline{j}$

$\underline{M} = -500 \cdot \cos 30 \underline{j} + 500 \cdot \sin 30 \underline{k} = -433 \underline{j} + 250 \underline{k}$

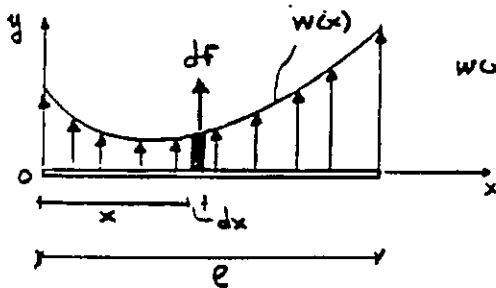
$\underline{r}_B = -0,15 \underline{i} + 0,1 \underline{j} + 1 \cdot \underline{k}$  ,  $\underline{r}_A = 1 \underline{k}$

Ετσι στο 0 θα έχουμε μια συνισταμένη δύναμη  $\underline{F} = \underline{F}_1 + \underline{F}_2 = -249 \underline{i} + 165 \underline{j} - 800 \underline{k}$

και μια συνισταμένη ροπή  $\underline{M}_0 = \underline{M} + \underline{r}_A \times \underline{F}_1 + \underline{r}_B \times \underline{F}_2 = -165 \underline{i} - 682 \underline{j} + 250 \underline{k}$

Οι δυνάμεις που ασκούνται στα διάφορα σημεία προέρχονται είτε από την μείωση τους είτε από κατανομή στις επιφάνειες επαφής (δυναμη/επιφάνεια) είτε ασκούνται από κάποιο υγρό (π.χ βαρυνότητας) οπότε κατανοούνται στον όγκο του σώματος (δυναμη/όγκο). Οι μοναχικές δυνάμεις που περνά τωρα θεωρούμε είναι ορισκή περίπτωση των διανεμημένων όταν αυτές ασκούνται σε μια πολύ μικρή περιοχή. μια περίπτωση διανεμημένου φορτίου είναι το γραμμικό που διανέμεται σε ένα τμήμα  $l$ . Στο  $x$  στην ένα επιφανειακό φορτίο ασκείται σε μια επιφάνεια  $f$  πολύ μικρή  $l$  μια διαστάση.

### Συνιστάμενη γραμμικών φορτίων

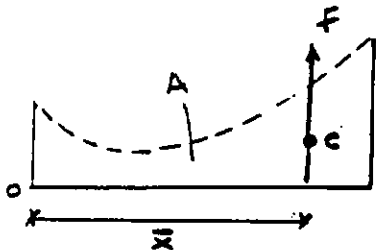


$w(x) = \text{δυναμη/μικρος}$ .

Ας είναι  $w(x)$  ένα γραμμικό φορτίο παράλληλο με τον άξονα  $y$ . Ήταν να βρούμε την συνιστάμενη του και την θέση της.

Θεωρούμε στην θέση  $x$  ένα ανεπίστο τμήμα  $dx$ , η δύναμη σ' αυτό το τμήμα είναι  $dF = w(x) dx = dA$ , όπου  $dA$  είναι το εμβαδο του σκιασμένου τμήματος.

Επομένως η συνιστάμενη στο μήκος  $l$  θα είναι:  $F = \int_0^l w(x) \cdot dx = A$  όπου  $A$  είναι το εμβαδο κάτω από την καμπύλη  $w(x)$ .



Η συνιστάμενη προφανώς είναι κατακόρυφη και έστω απέχει απόσταση  $\bar{x}$  από το παίρνοντας ροπή ως προς  $O$  έχουμε: ροπή της  $dF = dF \cdot x = x \cdot dA$ .

→ ροπή διανεμημένου φορτίου =  $\int_A x \cdot dA$  (δίνω ολοκλήμα στην επιφάνεια  $A$ ).

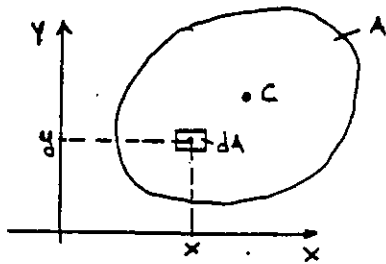
Εξισώνοντας την ροπή του διανεμημένου φορτίου με την ροπή της συνιστάμενης  $F$

$$\text{έχουμε: } F \cdot \bar{x} = \int_A x \cdot dA$$

$$\rightarrow \bar{x} = \frac{\int_A x \cdot dA}{F} = \frac{\int_A x \cdot dA}{A} \quad \text{που εξ' ορισμού είναι η τετραμένη του γεωκεντρίου}$$

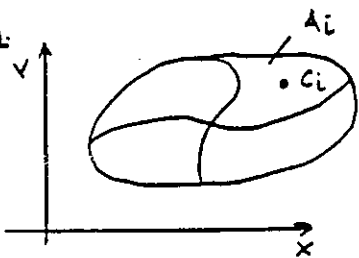
κέντρου  $C$  της επιφάνειας  $A$  όπως θα δούμε αμέσως παρακάτω.

Είτε η συνιστάμενη του γραμμικού φορτίου ισούται με το εμβαδο της επιφάνειας φορτίου και περνάει από το γεωκεντρίο της κεντρο.

Γεωμετρικό Κέντρο Επιπέδων Επιφανείων.

Για μια επίπεδη επιφάνεια  $A$  το γεωμετρικό κέντρο  $C$  ορίζεται σαν το σημείο με εν-  
τεταγμένες:  $x_c = \frac{\int x \cdot dA}{A}$ ,  $y_c = \frac{\int y \cdot dA}{A}$  όπου  $A$  το εμβαδό της επιφάνειας, και τα ολοκλή-  
ρωματα είναι τα διπλα εναυω στον  $A$ .

Αν η επιφάνεια έχει άξονα συμμετρίας το γεωμετρικό κέντρο θα βρίσκεται πάνω  
σ' αυτόν. Επομένως αν έχει δύο άξονες συμμετρίας θα είναι η τομή τους.

Συνδευ διατομή.

Για μια συνδευ επιφάνεια  $A = A_1 + A_2 + \dots + A_n$   
θα είναι:

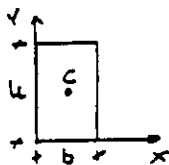
$$x_c = \frac{\int x \cdot dA}{A} = \frac{\sum A_i \int x \cdot dA}{\sum A_i} = \frac{\sum x_{c_i} \cdot A_i}{\sum A_i}$$

$$\text{και } y_c = \frac{\sum y_{c_i} \cdot A_i}{\sum A_i}$$

Ετσι μπορούμε μια συνδευ επιφάνεια να την διασπάσουμε σε ανδουότερες για τις  
οποίες ξέρουμε το δ.κ. και να εφαρσούμε τους παραπάνω τύπους.

Παραδειχματα.

■ ορθογωνιο παρ/γραμμο.



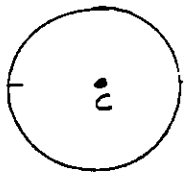
Προφανως το  $\chi_c$  θα είναι στην τομή των άξο-  
νων συμμετρίας δηλ.  $x_c = \frac{b}{2}$ ,  $y_c = \frac{h}{2}$

α's εφαρσούμε όπως τον ορισμό:

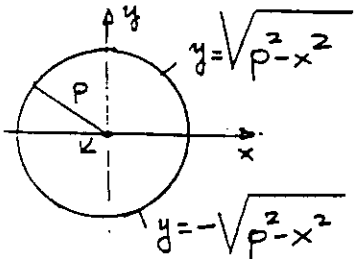
$$x_c = \frac{\int x \cdot dA}{A} = \frac{\int x \cdot dx \cdot dy}{b \cdot h} = \frac{\int_0^h dy \cdot \int_0^b x \cdot dx}{b \cdot h} = \frac{y \Big|_0^h \cdot \frac{x^2}{2} \Big|_0^b}{b \cdot h} = \frac{h \cdot \frac{b^2}{2}}{b \cdot h} = \frac{b}{2}$$

$$y_c = \frac{\int y \cdot dA}{A} = \frac{\int y \cdot dx \cdot dy}{b \cdot h} = \frac{\int_0^b dx \cdot \int_0^h y \cdot dy}{b \cdot h} = \frac{x \Big|_0^b \cdot \frac{y^2}{2} \Big|_0^h}{b \cdot h} = \frac{b \cdot \frac{h^2}{2}}{b \cdot h} = \frac{h}{2}$$

■ Κυκλος.

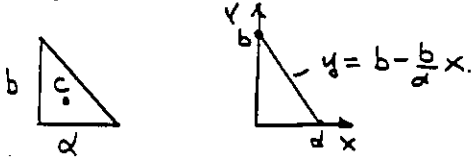


γ.κ προφανως ειναι το κεντρο του κυκλου (κεντρο ελλειψου)  
Με τον ορισμο εχουμε:



$$\begin{aligned}
 A \cdot x_c &= \int_0^p x dx \int_{-\sqrt{p^2-x^2}}^{\sqrt{p^2-x^2}} dy + \int_{-p}^0 x dx \int_{-\sqrt{p^2-x^2}}^{\sqrt{p^2-x^2}} dy \\
 &= 2 \int_{-p}^p x dx \int_0^{\sqrt{p^2-x^2}} dy = -\frac{2}{2} \int_{-p}^p \sqrt{p^2-x^2} d(p^2-x^2) = \\
 &= -\frac{(p^2-x^2)^{3/2}}{3/2} \Big|_{-p}^p = 0 \Rightarrow x_c = 0 \text{ οπως } y_c = 0
 \end{aligned}$$

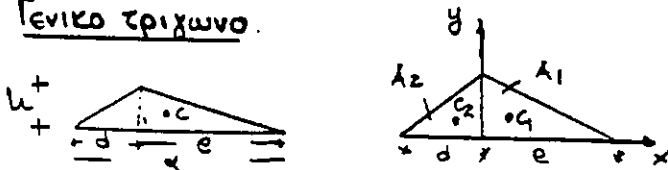
■ Ορθογωνιο Τριγωνο



$$A \cdot x_c = \int_0^a x dx \int_0^{b-\frac{b}{a}x} dy = \int_0^a x \cdot d\left(b - \frac{b}{a}x\right) = b \cdot \frac{x^2}{2} \Big|_0^a - \frac{b}{a} \cdot \frac{x^3}{3} \Big|_0^a = \frac{ba^2}{6}$$

$$\Rightarrow x_c = \frac{ba^2/6}{a \cdot b/2} = \frac{a}{3} \text{ οπως } y_c = \frac{b}{3}$$

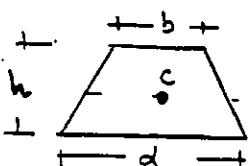
■ Γενικο τριγωνο



συμφωνα με τους τυπους της εωδευτος διατομης.

$$x_c = \frac{x_{c1} \cdot A_1 + x_{c2} \cdot A_2}{A_1 + A_2} = \frac{e/3 \cdot \frac{e \cdot h}{2} - d/3 \cdot \frac{d \cdot h}{2}}{\frac{1}{2} a \cdot h} = \frac{1}{3}(a-2d) \quad y_c = \frac{h}{3}$$

■ Τραπεζιο



χωριζοντας το τραπεζιο σε δυο ορθογωνια τριγωνα και ενα ορθογωνιο

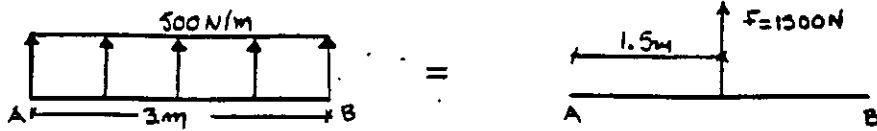
$$y_{oc} = \frac{1}{3} \cdot \frac{d+2b}{d+b} \cdot h$$



### Παραδείγματα στα διακριτά φορτία.

Για κάθε φορτίο να βρεθεί η συνισταμένη και η θέση της.

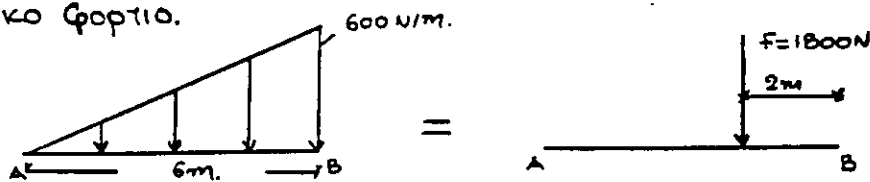
α) Ομοιομορφο φορτίο.



Είναι  $F = \text{εμβαδο επιφανείας φορτίσεως} = 500 \frac{\text{N}}{\text{m}} \cdot 3\text{m} = 1500\text{N}$

και περνά από το γ.κ της ορθογωνίας επιφανείας δηλ. σε απόσταση  $\frac{3}{2} = 1,5\text{m}$  από το Α.

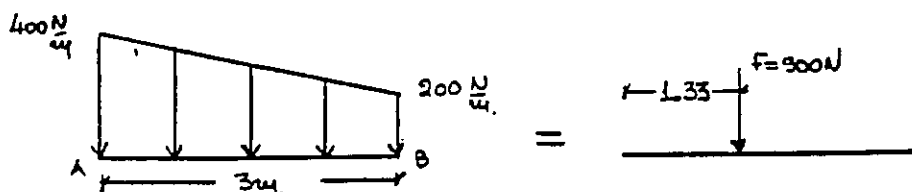
β) Τριγωνικό φορτίο.



Είναι  $F = \text{εμβαδο τριγωνων} = \frac{1}{2} \cdot 6\text{m} \cdot 600 \frac{\text{N}}{\text{m}} = 1800\text{N}$ .

και περνά από το γ.κ του τριγωνων δηλ. σε απόσταση  $\frac{6}{3} = 2\text{m}$  από το Β.

γ) Τραπεζοειδές φορτίο.



$F = \text{εμβαδο τραπέζιου} = \frac{1}{2} (400 + 200) \cdot 3 = 900\text{N}$ .

και εφαρμόζεται σε απόσταση  $\frac{1}{3} \left( \frac{400 + 2 \cdot 200}{400 + 200} \right) \cdot 3 = 1,33\text{m}$  από το Α.

**5. ΙΣΟΡΡΟΠΙΑ ΥΛΙΚΩ ΣΗΜΕΙΩ**

Εννοια υλικού σημείου: ένα σώμα με μηδενικές διαστάσεις. Η μάζα του θεωρείται συγκεντρωμένη σε ένα σημείο.

Μπορούμε σε κάποιο πρόβλημα να κάνουμε αυτή την προέκταση όταν οι διαστάσεις του σώματος είναι πολύ μικρότερες από τις άλλες διαστάσεις του προβλήματος.

Άμεση συνέπεια: οι δυνάμεις που ασκούνται σε ένα υλικό σημείο είναι πάντα συντρέχουσες.

Βυθιγμένες Ισορροπίες υλικού σημείου.

Από τον δεύτερο νόμο του Νεύτωνα:  $\Sigma \vec{F} = m \cdot \vec{g}$  ακολουθεί ότι ένα υλικό σημείο ισορροπεί ( $\vec{g} = \vec{g}$ ) όταν και τόνουν στον  $m$  συνισταμένη των δυνάμεων που ενεργούν στο υλικό σημείο είναι μηδενική δηλ.  $\Sigma \vec{F} = \vec{0}$

Διαγράμματα ελεύθερου σώματος

ένα υλικό σημείο συνδέεται με άλλα σώματα με διάφορα συνδετικά μέσα (καλώδια, ελατήρια, ραβδούς) που ασκούν σε αυτό δυνάμεις, ίσες και αντίθετες ασκούνται σε αυτά από το υλικό σημείο (νόμος δράσης-αντιδράσης).

για να εξετάσουμε την ισορροπία του υλικού σημείου το σχεδιάζουμε ελεύθερο από τους συνδέσμους και στις θέσεις τους βάζουμε τις αντίστοιχες δυνάμεις.

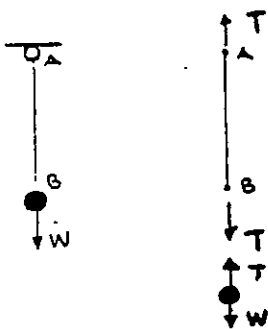
το διακρίψιμα που παίρνουμε έτσι, λέγεται διαγράμμα ελεύθερου σώματος σε αυτό για τις αχυσίες δυνάμεις υποθέτουμε κάποια φορά, εάν το μέτρο απαιτεί αν αυτές προκύπτουν αρνητικά η πραγματική φορά θα είναι αντίθετη.

**Συνδετικά Μέσα**

Καλώδια: θεωρούνται αμετασχημάτιστα και χωρίς βάρος

ένα καλώδιο υποκειται μόνο σε εφελκυστική δύναμη κατά τη διεύθυνση του, σταθερή σε όλο το μήκος του.

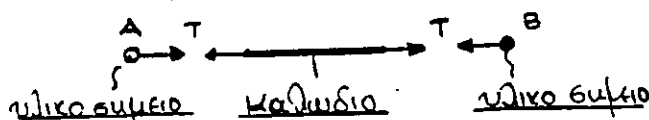
π.χ.



στο καλώδιο AB ασκείται από το υλικό σημείο βάρος  $W$  δύναμη  $T$  ίση και αντίθετη ενεργεί στο υλικό σημείο.

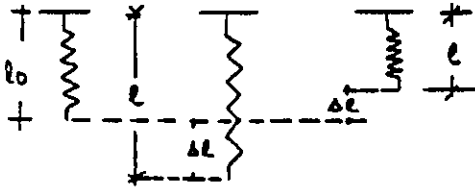
από την ισορροπία του υλικού σημείου προκύπτει  $T=W$

Παρατήρηση: αφού ένα καλώδιο πάντα εφελκυστεί η δύναμη που ασκεί ένα υλικό σημείο στο καλώδιο πάντα κατευθύνεται προς το υλικό σημείο και επομένως η δύναμη στο υλικό σημείο από το καλώδιο θα κατευθύνεται προς το καλώδιο δηλ:



Ελατήρια: η μεταβολή του μήκους ενός ελατηρίου από μια δύναμη  $F$  είναι αναλογική με την δύναμη.

$F = k \cdot \Delta l$ ,  $k$  (N/m): σταθερά ελατηρίου,  $\Delta l = l - l_0$ ,  $l$  = τελικό μήκος  
 $l_0$  = αρχικό μήκος,  $\Delta l > 0$  εφελκυσμός,  $\Delta l < 0$  συμπίεση.

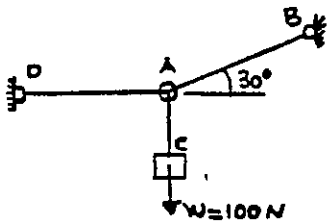


Συστήματα συνεπιπέδων δυνάμεων.

Ευνοηκή ισορροπίας:  $\Sigma \vec{F} = \vec{0} \rightarrow \Sigma F_x = 0, \Sigma F_y = 0$  με τις οποίες μπορούμε να λύσουμε προβλήματα με δύο άγνωστους.

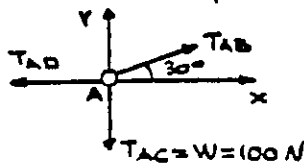
Παραδείγματα.

- Εάν το σύστημα του σχήματος ισορροπεί στην θέση που φαίνεται να υπολογισθούν οι δυνάμεις στα καλώδια AD και AB.



οι δυνάμεις στα καλώδια AD και AB θα βρεθούν εξετάζοντας την ισορροπία του υφιστάμενου A.

Διαγράμμα ελεύθερου σώματος:

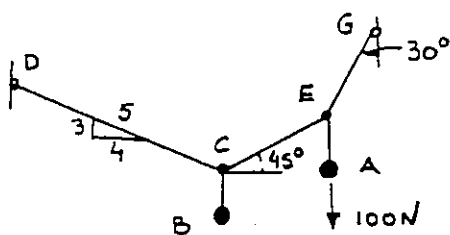


Στο "υλικό σημείο" A ερχόταν οι άγνωστοι μετρώσι αλληλα γνωστές διευθύνσεις δυνάμεις  $T_{AD}$  και  $T_{AB}$  από τα καλώδια AD και AB και η γνωστή δύναμη  $T_{AC} = W = 100\text{ N}$

Συνθήκες ισορροπίας υλικού σημείου A :

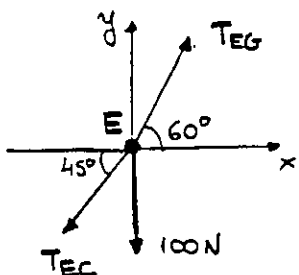
$$\begin{cases} \Sigma F_x = 0 \rightarrow T_{AB} \cdot \cos 30^\circ - T_{AD} = 0 \\ \Sigma F_y = 0 \rightarrow T_{AB} \cdot \sin 30^\circ - 100 = 0 \end{cases} \rightarrow \begin{cases} T_{AB} = 200\text{ N} \\ T_{AD} = 173\text{ N} \end{cases}$$

το σύστημα να ισορροπεί στη θέση που φαίνεται.



Συντάξτε από την ισορροπία του υλικού σημείου E όπου εφαρμόζονται 2 μόνον αλληλοκάτις δυνάμεις και οι εδίστητες που διαδέχονται.

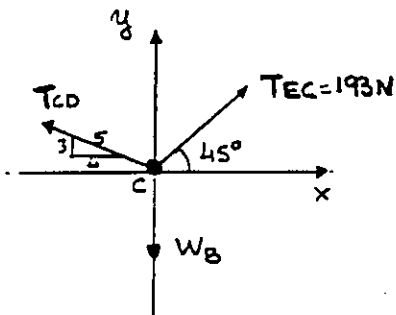
Σημείο E:



$$\begin{aligned} \Sigma F_x = 0 &: T_{EG} \cdot \cos 60^\circ - T_{EC} \cdot \cos 45^\circ = 0 \\ \Sigma F_y = 0 &: T_{EG} \cdot \sin 60^\circ - T_{EC} \cdot \sin 45^\circ - 100 = 0 \end{aligned} \Rightarrow$$

$$\Rightarrow T_{EG} = 273 \text{ N}, T_{EC} = 193 \text{ N}$$

Σημείο C:

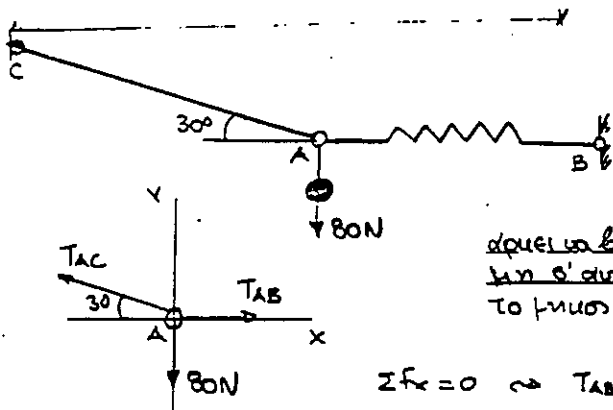


$$\begin{aligned} \Sigma F_x = 0 &: 193 \cdot \cos 45^\circ - T_{CD} \cdot \frac{4}{5} = 0 \\ \Sigma F_y = 0 &: 193 \cdot \sin 45^\circ + T_{CD} \cdot \frac{3}{5} - W_B = 0 \end{aligned}$$

$$\Rightarrow T_{CD} = 170.6 \text{ N}, W_B = 239 \text{ N}$$

■ Να προσδιοριστεί το απαιτούμενο μήκος για το καλώδιο AC, ώστε το σύστημα να ισορροπεί στη θέση που φαίνεται.

για το καλώδιο AC, ώστε το σύστημα να ισορροπεί στη θέση που φαίνεται.



Δίνονται:

απαραίτητο μήκος ελατηρίου:  $l_{AB} = 0.4 \text{ m}$ ,  
σταθερά ελατηρίου  $k = 300 \text{ N/m}$

αφού να βρεθεί το τελικό μήκος του ελατηρίου AB (όπου βρεθεί την δύναμη σ' αυτό ώστε από την χύτερη του προβλήματος να βρεθεί το μήκος του AC.

$$\begin{aligned} \Sigma F_x = 0 &\Rightarrow T_{AB} - T_{AC} \cdot \cos 30^\circ = 0 \Rightarrow T_{AB} = 139 \text{ N} \\ T_{AC} \cdot \sin 30^\circ - 80 &= 0 \Rightarrow T_{AC} = 160 \text{ N} \end{aligned}$$

$$\Rightarrow \Delta l_{AB} = \frac{139 \text{ N}}{300 \text{ N/m}} = 0.46 \text{ m} \Rightarrow l_{AB} = 0.4 + 0.46 = 0.86 \text{ m}$$

$$\text{από το σχήμα: } l_{AC} \cdot \cos 30^\circ + 0.86 = 2 \Rightarrow l_{AC} = 1.32 \text{ m}$$

## Συστήματα στο Τριδιάστατο χώρο

Η διανυσματική συνθήκη ισορροπίας  $\underline{\Sigma F} = \Sigma F_x \cdot \underline{i} + \Sigma F_y \cdot \underline{j} + \Sigma F_z \cdot \underline{k} = \underline{0}$  μας δίνει τις τρεις αλγεβρικές εξισώσεις:

$$\Sigma F_x = 0$$

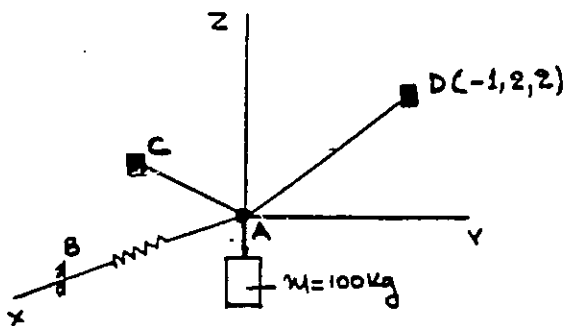
$$\Sigma F_y = 0$$

$$\Sigma F_z = 0$$

που αρκούν για να λύσουμε προβλήματα με τρεις αγνώστους.

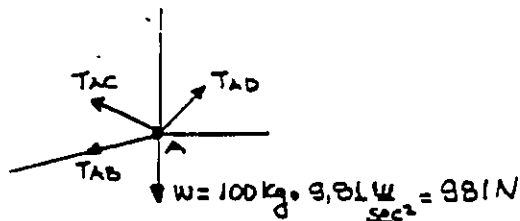
### Παράδειγμα

Ο κύλινδρος του σχήματος μάζας  $100 \text{ kg}$  αναρτάται από δύο καλώδια και ένα ελατήριο σταθεράς  $k = 1.5 \text{ kN/m}$ . Να βρεθούν οι δυνάμεις των καλωδίων και η επιμήκυνση του ελατηρίου.



δίνονται οι γωνίες κατεύθυνσής του AC:

$$\theta_x = 120^\circ, \theta_y = 135^\circ, \theta_z = 60^\circ$$



Ισορροπία σημείου A:

$$\underline{\Sigma F} = \underline{0} \rightarrow \underline{T}_{AB} + \underline{T}_{AC} + \underline{T}_{AD} + \underline{W} = \underline{0}$$

$$\underline{T}_{AB} = T_{AB} \cdot \underline{i}, \quad \underline{T}_{AC} = T_{AC} \cdot \cos 120^\circ \cdot \underline{i} + T_{AC} \cdot \cos 135^\circ \cdot \underline{j} + T_{AC} \cdot \cos 60^\circ \cdot \underline{k} \rightarrow$$

$$\rightarrow \underline{T}_{AC} = -0.5 T_{AC} \underline{i} - 0.707 T_{AC} \underline{j} + 0.5 T_{AC} \underline{k}$$

$$\underline{T}_{AD} = T_{AD} \cdot \frac{-1\underline{i} + 2\underline{j} + 2\underline{k}}{\sqrt{(-1)^2 + 2^2 + 2^2}} = -0.33 T_{AD} \underline{i} + 0.67 T_{AD} \underline{j} + 0.67 T_{AD} \underline{k}, \quad \underline{W} = -981 \underline{k}$$

$$\Sigma F_x = 0 : T_{AB} - 0.5 T_{AC} - 0.33 T_{AD} = 0$$

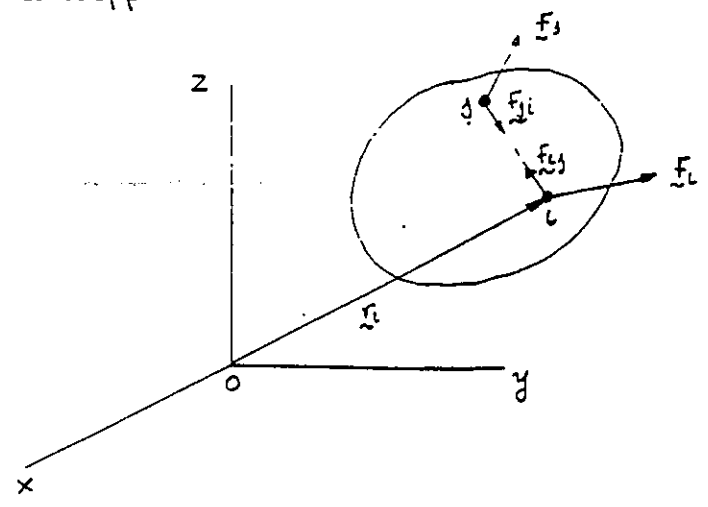
$$\Sigma F_y = 0 : -0.707 T_{AC} + 0.67 T_{AD} = 0$$

$$\Sigma F_z = 0 : 0.5 T_{AC} + 0.67 T_{AD} - 981 = 0$$

$$\rightarrow T_{AC} = 813 \text{ N}, T_{AD} = 862 \text{ N}, T_{AB} = 694 \text{ N}$$

και η παραμόρφωση του ελατηρίου είναι:  $\Delta l_{AB} = \frac{T_{AB}}{k} = \frac{694 \text{ N}}{1.5 \cdot 10^3 \frac{\text{N}}{\text{m}}} = 0.46 \text{ m}$

Συνθήκες Ισορροπίας.



θεωρείστε ένα στερεό σώμα σε ισορροπία. τότε καθε υλίκιο σημείο του σώματος ισορροπεί:...

Στο τυχαίο υλίκιο σημείο i ασκούνται δυο είδη δυνάμεων:

οι εσωτερικές  $\sum_{\substack{j=1 \\ j \neq i}}^n \underline{F}_{ij}$  από τα άλλα υλίκια σημεία του σώματος, όπου  $\underline{F}_{ij}$  είναι...

η δύναμη που ασκείται στο i από το j - προφανώς (νόμος δράσης-αντίδρασης) ίση και αντίθετη ασκείται από το i στο j - και οι εξωτερικές με συνισταμένη  $\underline{F}_i$ . η ισορροπία του i υλικού σημείου απαιτεί:

$$\underline{F}_i + \sum \underline{F}_{ij} = 0$$

Παρόμοιες εξισώσεις γράφονται για τα άλλα υλίκια σημεία του σώματος. αθροίζοντας αυτές τις εξισώσεις έχουμε:  $\sum \underline{F}_i + \sum \sum \underline{F}_{ij} = 0$

Επειδή όπως οι εσωτερικές δυνάμεις εμφανίζονται ανά ζεύγη συγγραμμικών, ίσων και αντίθετων δυνάμεων, ο δεύτερος όρος μηδενίζεται και τελικά μένει

$\sum \underline{F}_i = \boxed{\sum \underline{F} = 0}$  δηλ το άθροισμα των εξωτερικών δυνάμεων του σώματος μηδενίζεται

Παίρνοντας τώρα τις ροπές των δυνάμεων που ασκούνται στο i ως προς το γαίο σημείο, ο έχουμε:  $\underline{r}_i \times (\underline{F}_i + \sum \underline{F}_{ij}) = \underline{r}_i \times \underline{F}_i + \underline{r}_i \times \sum \underline{F}_{ij} = 0$  και αθροίζοντας με τις παρόμοιες εξισώσεις για τα άλλα υλίκια σημεία:

$\sum \underline{r}_i \times \underline{F}_i + \sum (\underline{r}_i \times \sum \underline{F}_{ij}) = 0$  ο δεύτερος όρος για τον ίδιο λόγο μηδενίζεται, οπότε τελικά:

$\sum \underline{r}_i \times \underline{F}_i = \boxed{\sum \underline{M}_o = 0}$  δηλ το άθροισμα των ροπών των εξωτερικών δυνάμεων ως οποιοδήποτε σημείο μηδενίζεται




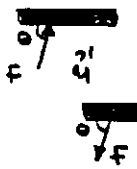
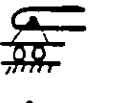
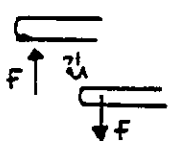
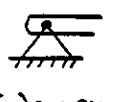
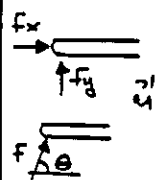
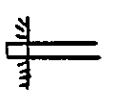
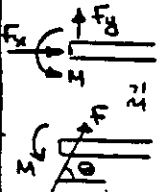
Οι δυο αυτές συνθήκες εύκολα αποδεικνύεται ότι είναι όχι μόνο αναγκαίες αλλά και ικανές για την ισορροπία του στερεού σώματος.

Ισορροπία σε δύο διαστάσεις.

Συνδέσμοι - Αντιδράσεις συνδέσμων - Διαγράμματα ελεύθερου σώματος

Η επιρροή ενός στερεού σώματος και η συνδεδεση του με άλλα σώματα γίνεται με τους συνδέσμους. Γενικά ένας σύνδεσμος απαγορεύει την μετατόπιση του σημείου επιρροής είτε σε μια δοσμένη διεύθυνση και ταυτόχρονα μεταβιβάζει στο σώμα μια δύναμη στην ίδια διεύθυνση, είτε απαγορεύει την στροφή του σώματος και ταυτόχρονα μεταβιβάζει στο σώμα μια ροπή  $T$ . Οι δυνάμεις και οι ροπές που ασκούν οι διάφοροι σύνδεσμοι στα σώματα ονομάζονται αντιδράσεις συνδέσμων.

Στη συνέχεια αναφέρονται τα κυριώτερα είδη συνδέσμων στο επίπεδο.

ονομασία	απαγορεύεται	αντίδραση	αριθμός αξόνων
επιπέδου	μετακίνηση		
 κάλωδιο	η μετατόπιση του σημείου επιρροής στην κατεύθυνση που εφαρμόζεται το κάλωδιο		ένας άξονας. Η αντίδραση είναι μια δύναμη που κατεύνεται πάντα από το σώμα προς το κάλωδιο στην διεύθυνση του κάλωδιου.
 σφαιρική ραβδος	η μετατόπιση του σημείου επιρροής στην διεύθυνση της και προς τις δύο κατευθύνσεις.		ένας άξονας. Η αντίδραση είναι μια δύναμη που εφαρμόζεται στις δύο ραβδούς. Μπορεί να έχει την μια ή την άλλη φορά.
 κλίση.	η μετατόπιση κατά ορθά στην επιφάνεια επιρροής		ένας άξονας. Η αντίδραση είναι μια δύναμη καθετή στην επιφάνεια επιρροής μπορεί να έχει τη μια ή την άλλη φορά.
 αράρωση	το σημείο επιρροής ακινητοποιείται		δύο άξονες. Η αντίδραση είναι μια δύναμη με άξονες συνιστώσες $F_x, F_y$ ή ισοδύναμα με άξονα $T$ και διεύθυνση.
 πακτωση.	οι μετακινήσεις του άκρου επιρροής και η στροφή		τρεις άξονες. Η αντίδραση είναι μια δύναμη με δύο άξονες συνιστώσες και μια ροπή ή ισοδύναμα δύναμη άξονα $T$ και διεύθυνση και μια ροπή.

Σχεδιάζουμε το σώμα ελεύθερο από τους συνδέσμους και στις άσες τας βάσουμε τις αγνωστές αντιδράσεις: συμβολίζουμε με γράμματα τα αγνώστ μετα τους και τις αγνώστες γωνίες διεύθυνσώς τας.

Αν για να ποίως αν αυτές (είναι να όλες αν θεωρήσουμε σαν αγνώστες τις συνιστώσες τους) γυρνάουμε τις διευθύνσεις τους, τις συμπληρώνουμε με να ποίως υποδείξεις γωνίες, αν να ποίως τα μέτρα προηγών αριθμητικά οι πραγματικές ρες θα είναι αντιθέτες.

Συμπληρώνουμε τέλος τις αγνώστες δυνάμεις (βαρος σώματος, άλλα φορτία και ρες και εφαρμόζουμε τις συνδυασμένες ισορροπίας.

Σχολίο: Το βαρος ενός σώματος ενεργεί στο κέντρο βαρους του που για ομοιογενές υλικό (σταθερής πυκνότητας) ταυτίζεται με το γεωμετρικό του κέντρο.

ΕΞΙΣΩΣΕΙΣ ΙΣΟΡΡΟΠΙΑΣ

στην περίπτωση του διδιαστάτων προβλήματος οι διανυσματικές εξισώσεις ισορροπίας  $\Sigma \vec{F} = 0, \Sigma \vec{M}_O = 0$  δίνουν τις εξισώσεις:

$$\begin{aligned} \Sigma F_x &= 0 \\ \Sigma F_y &= 0 \\ \Sigma M_O &= 0 \end{aligned} \quad (1)$$

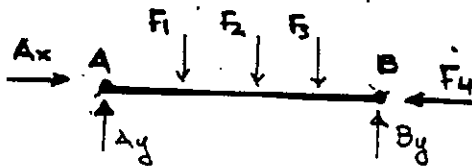
όπου  $\Sigma F_x, \Sigma F_y$  είναι το αλγεβρικό άθροισμα των x και y συνιστωσών όλων των δυνάμεων που ενεργούν στο σώμα, και  $\Sigma M_O$  το αλγεβρικό άθροισμα των ρομών όλων αυτών των δυνάμεων και ρομών που εφαρμόζονται στο σώμα ως προς ένα τυχόν σημείο O του επιπέδου.

Δύο ισοδύναμα συστήματα δυνάμεων, μπορούν να χρησιμοποιηθούν

$$\begin{aligned} \Sigma F_a &= 0 \\ \Sigma M_A &= 0 \\ \Sigma M_B &= 0 \end{aligned} \quad (2)$$

όπου  $F_a$  οι συνιστώσες των δυνάμεων σε κάποιο άξονα α που Α, Β τυχόν σημεία, όπως η ευθεία ΑΒ δεν πρέπει να είναι παράλληλη στον άξονα α.

π.χ.



αγνωστές οι αντιδράσεις  $A_x, A_y, B_x, B_y$

τότε  $\Sigma F_x = 0 \rightarrow A_x$

$\Sigma M_B = 0 \rightarrow A_y$

$\Sigma M_A = 0 \rightarrow B_y$

Επίσης ισοδύναμο σύστημα είναι και το

$$\begin{aligned} \Sigma M_A &= 0 \\ \Sigma M_B &= 0 \\ \Sigma M_C &= 0 \end{aligned} \quad (3)$$

όπου τα Α, Β, C δεν πρέπει να βρίσκονται στην ίδια ευθεία

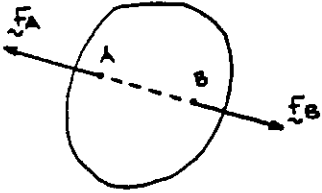


π.χ. παίρνοντας στο προηγούμενο παράδειγμα αντί της  $\Sigma F_x = 0$  την  $\Sigma M_C = 0$  προσδιορίζουμε την,



ΣΧΟΛΙΟ

Σώματα που φορτίζονται με δύο δυνάμεις.



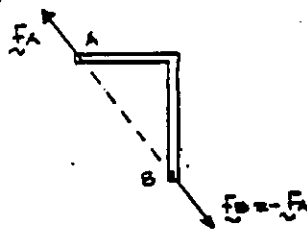
Η εξίσωση ισορροπίας  $\Sigma \underline{f} = 0$  γράφεται:

$\underline{F}_A + \underline{F}_B = 0 \rightarrow \underline{F}_A = -\underline{F}_B$  επομένως οι  $\underline{F}_A$  και  $\underline{F}_B$  θα είναι αντιθέτες.

Η συνθήκη  $\Sigma \underline{M}_O = 0 \rightarrow$  ότι είναι και ευθυεπίκετες.

Οποτε όταν ένα στερεό σώμα ισορροπεί με την επίδραση δύο μόνων δυνάμεων, αυτές θα είναι ευθυεπίκετες, ίσων μέγερων και αντιθέτης φοράς.

π.χ.

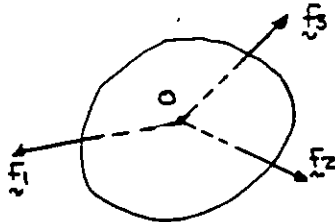


Σώματα που φορτίζονται με τρεις δυνάμεις.

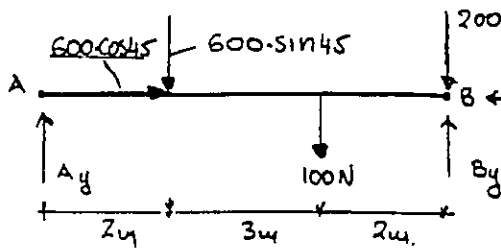
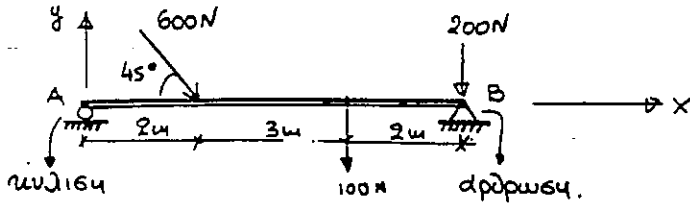
Θεωρήστε ένα σώμα που ισορροπεί με την επίδραση τριών δυνάμεων  $\underline{f}_1, \underline{f}_2, \underline{f}_3$ . Εάν  $O$  είναι το σημείο τομής των  $\underline{f}_1, \underline{f}_2$  τότε η εξίσωση ισορροπίας  $\Sigma \underline{M}_O = 0$  συνεπάγεται ότι και η  $\underline{f}_3$  πρέπει να περνά από το  $O$ .

Επομένως οι τρεις δυνάμεις θα είναι συντρέχουσες. Εάν οι  $\underline{f}_1, \underline{f}_2$  είναι παράλληλες, τότε θεωρούμε ότι τέμνονται στο άπειρο άρα και η  $\underline{f}_3$  θα περνά από το άπειρο, δηλ θα είναι παράλληλη των  $\underline{f}_1, \underline{f}_2$ .

Ετσι σε κάθε περίπτωση τρεις δυνάμεις σε σώμα που ισορροπεί είναι συντρέχουσες και επομένως μόνο οι εξισώσεις ισορροπίας των δυνάμεων  $\Sigma F_x = 0, \Sigma F_y = 0$  πρέπει να ικανοποιούνται.



■ Να υπολογισθούν οι αντιδράσεις της δομής του σχήματος.



: διαγράμμα ελεύθερου σώματος.  
 στην αριστερά Α έχουμε μια κατακόρυφη  
 και αντίδραση  $A_y$   
 στην άρθρωση Β δύο συνιστώσες  
 $B_x$  και  $B_y$ .

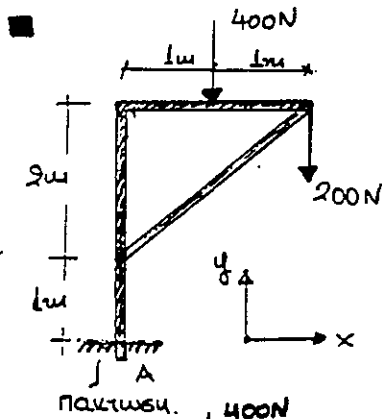
Επίσης έχουμε αναλύσει το φορτίο των 600 N στις συνιστώσες του.

$$\sum F_x = 0 \Rightarrow 600 \cdot \cos 45^\circ - B_x = 0 \Rightarrow B_x = 424 \text{ N}$$

$$\sum M_B = 0 \uparrow : 100 \cdot 7 + 600 \cdot \sin 45^\circ \cdot 5 - A_y \cdot 7 = 0 \Rightarrow A_y = 332 \text{ N}$$

$$\sum F_y = 0 \Rightarrow 332 - 600 \cdot \sin 45^\circ - 100 - 200 + B_y = 0 \Rightarrow B_y = 393 \text{ N}$$

τα δευτερά προσήμια για τα μέτρα των αντιδράσεων δείχνουν ότι είναι  
 στα ευρέθηκα τις φορές του στο διαγράμμα ελεύθερου σώματος



Να υπολογισθούν οι αντιδράσεις στην πακίωση Α

οι αντιδράσεις πακίωσης είναι δύο συνιστώσες  
 $A_x, A_y$  και μια ροπή  $M_A$ .

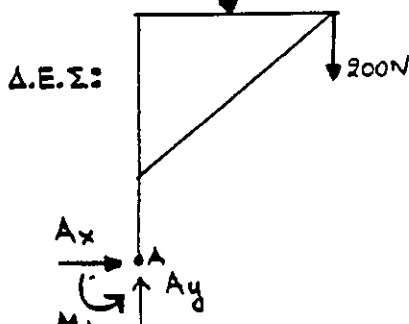
Εξισώσεις ισορροπίας:

$$\sum F_x = 0 \Rightarrow A_x = 0$$

$$\sum F_y = 0 \Rightarrow A_y - 400 - 200 = 0 \Rightarrow A_y = 600 \text{ N}$$

$$\sum M_A = 0 \Rightarrow -200 \cdot 2 - 400 \cdot 1 + M_A = 0$$

$$\Rightarrow M_A = 800 \text{ Nm}$$



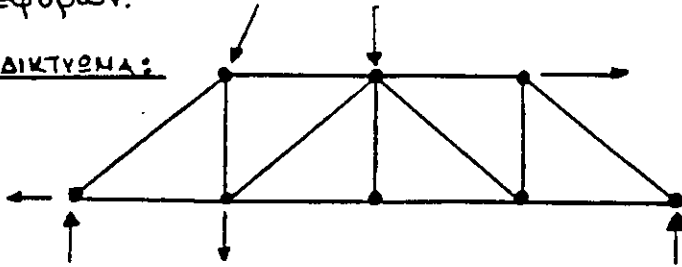
## 7. ΑΠΛΑ ΔΙΚΤΥΩΜΑΤΑ

Δικτυώμα είναι μια κατασκευή που αποτελείται από λεπτες ραβδους που ενωνονται στα ακρα τους. Τα σημεια ενωσης των ραβδων λεγονται κομβοι του δικτυωματος.

Επιπεδο λεγεται ενα δικτυωμα οταν ολες οι ραβδοι και οι δυναμεις που ασκουνται ε'αυτο ανηκουν στο ιδιο επιπεδο.

Επιπεδα δικτυωματα χρησιμοποιοιωνται συχνα για την υποστηριξη ελεγχων και γεφυρων.

ΕΠΙΠΕΔΟ ΔΙΚΤΥΩΜΑ:

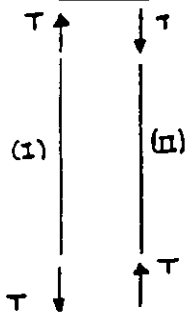


Η μελετη ενος δικτυωματος εστιεταται στον υπολογισμο των δυναμειων που ασκουνται στις ραβδους.

Για τον σκοπο χιουνται δυο βασικες παραδοχεσ:

- ολες οι δυναμεις εφαρμολονται στους κομβους. Το βαροσ των ραβδων αφελεται.
- οι ραβδοι ενωνονται στους κομβους με αρθρωσεις.

αποτελεσμα: καθε ραβδος δεχεται στα ακρα της δυο ισεσ και αυτιωτεσ



δυναμεις κατα την διευθυνση του αξονα της.

Η δυναμη T ονομαζεται ταση της ραβδου:

εφελευστικη οταν τεινει να επιμηκυνει την ραβδο

θλιπτικη οταν τεινει να επιβραχυνει την ραβδο.

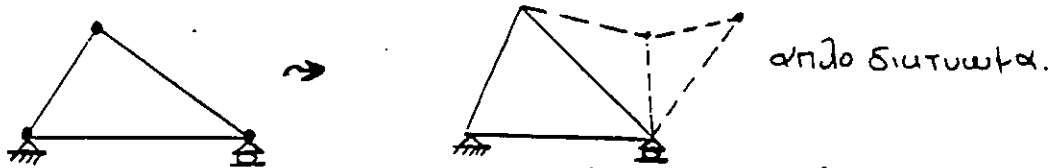
(I): εφελευστικος

(II): θλιψη.

## απλο διυσιωμα

ενα διυσιωμα πρεπει να ειαι ετερεος εχιματισμος (να απουλειονται εχετιμες μετακινυσεις των στοιχειων του).

το απλουστερο ετερο διυσιωμα ειαι το τριγωνικω:

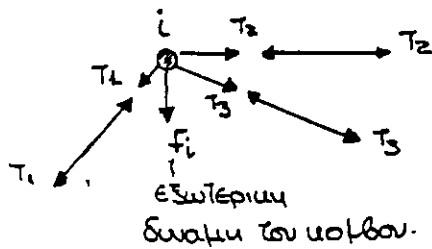


απλο λεγεται το διυσιωμα που κατασκευαζουμε σταν ξεκινυνοιας απο το τριγωνικω διυσιωμα εμωυτε κιαδε φορα δυο νεες ραβδω. ετσι η προσθηκη δυο ραβδω κιαδε φορα αυξανει τον αριθμο των κομβων του διυσιωματος κιατα μοναδα.

ετσι αν  $k$  ειαι ο αριθμος των κομβων του απλου διυσιωματος και  $p$  ο αριθμος των ραβδων  $\Rightarrow p = 2k - 3, \dots$  (οπου 3 ο αριθμος των αρχικω ραβδων).

## Υπολογισμος των Τασεων των Ραβδων

Οι δυναμεις μεταβιβαζονται στις ραβδωσ απο τους κομβους επολεως ισεσ και αντιθετεσ δυνατεσ ασουονται απο τις ραβδωσ ετωνσ κομβω.



εαν το διυσιωμα ισορροπει κιαδε κομβωσ ισορροπει. ετσι απο την ισορροπια κιαδε κομβων παιρνουμε δυο εξισωσεις  $\sum F_x = 0, \sum F_y = 0$ . εαν λοιπον ο κομβωσ εμφανιζει δυο αγνωστεσ δυνατεσ ηπορουμε απο τις εξισωσεις ισορροπιασ τον να τις υπολογισουμε.

εαν ο κομβωσ εμφανιζει περιεσυτερεσ δυνατεσ, θα χρειοιτο ποιηγουμε αποτελεσματα απο τις αντιστοιχεσ εξισωσεισ ισορροπιασ δε χειτονικο κομβω.

## Συμπερασμα:

εαν το δικτυωμα ειαι απλο οι  $2k$  εξισωσεισ των κομβων του αρικω για τον υπολογιστω των  $p = 2k - 3$  τασεων των ραβδω και των τριω αντιδρασεων του διυσιωματος.

Μεθοδος των κομβων

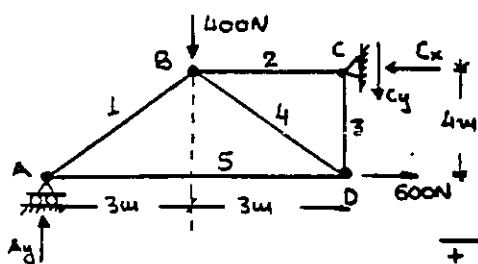
Η μεθοδος των κομβων εφαρμοζεται ως εξης:

Ξεκινουμε απο τον κομβο με δυο το πολυ αχωστες δυναμεις (αν ο κομβος αυτος ανηκει σε καποια επιριξη θα ηρθεει ηρωτα να εχουμε βρει τις αντιδρασεις της επιριξης). Απο τις εξισωσεις ισορροπιας του κομβου υπολογιζουμε τις αχωστες δυναμεις. Συνεχιζουμε με τον νεο κομβο που εμφανιζει δυο αχωστες δυναμεις, και προχωρωτας κατ' αυτο τον τροπο υπολογιζουμε ολες τις τασεις.

Αρχικα θεωρουμε ολες τις τασεις εφεδρευτικες (εποτευως οι δυναμεις στις κομβους κατευθουνται προς τις ραβδους). Εαν καποιες προουγουν αρνητικες σημαινει οτι ειναι θλιπτικες (η δυναμη στον κομβο κατευθεται προς αυτον).

Παραδειγμα

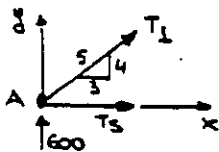
■ Να υπολογισθουν οι τασεις του δικτυωματος.



βλεπουμε οτι κομβος με δυο αχωστες δυναμεις δευ υπαρχει  
 κομβοι με δυο ραβδους υπαρχουν μονο στις επιριξεις)  
 γι' αυτο υπολογιζουμε ηρωτα τις αντιδρασεις.

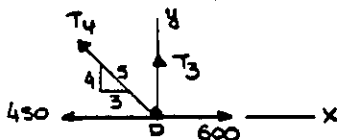
$$\begin{aligned} \rightarrow \sum F_x = 0 & : 600 - C_x = 0 \rightarrow C_x = 600N \\ + \curvearrowright \sum M_C = 0 & : -A_y \cdot 6 + 400 \cdot 3 + 600 \cdot 4 = 0 \rightarrow A_y = 600N \\ + \uparrow \sum F_y = 0 & : 600 - 400 - C_y = 0 \rightarrow C_y = 200N \end{aligned}$$

κομβος Α



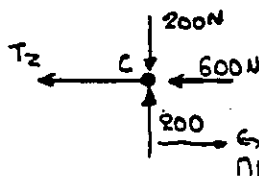
$$\begin{aligned} \sum F_x = 0 & \rightarrow \frac{3}{5} \cdot T_1 + T_3 = 0 \\ \sum F_y = 0 & \rightarrow \frac{4}{5} \cdot T_1 + 600 = 0 \end{aligned} \left. \vphantom{\begin{aligned} \sum F_x = 0 \\ \sum F_y = 0 \end{aligned}} \right\} \begin{aligned} T_1 &= -750N \text{ συν θλιπτικη} \\ T_3 &= 450N \end{aligned}$$

κομβος D



$$\begin{aligned} \sum F_x = 0 & \rightarrow -T_4 \cdot \frac{3}{5} - 450 + 600 = 0 \\ \sum F_y = 0 & \rightarrow T_4 \cdot \frac{4}{5} + T_3 = 0 \end{aligned} \left. \vphantom{\begin{aligned} \sum F_x = 0 \\ \sum F_y = 0 \end{aligned}} \right\} \begin{aligned} T_4 &= 250N \\ T_3 &= -200N \text{ θλιπτικη} \end{aligned}$$

κομβος C



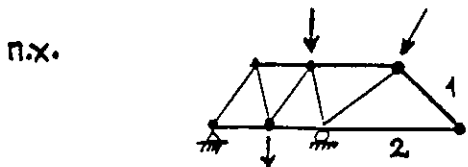
εχει βρεθει θλιπτικη εποτευως η δυναμη του κομβου εχει φορα προς αυτον.

$$\begin{aligned} \sum F_x = 0 & : -600 - T_2 = 0 \rightarrow T_2 = -600N \text{ θλιπτικη} \\ \sum F_y = 0 & : 200 - 200 = 0 \text{ (ελεγχος)} \end{aligned}$$

Σχολιο: Ραβδοί με μηδενικές τάσεις

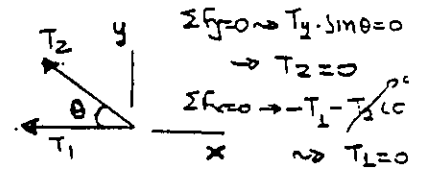
ο υπολογισμός των τάσεων των ραβδών έως διευκρίνωσης ακολουθείται όταν μπορούμε να εστιασούμε τις ραβδούς με τυδέιμα τάση:

Περίπτωση 1<sup>η</sup>. όταν ε' είναι κομβό που δεν δέχεται εξωτερικά φορτία ή αντιδράσεις στηρίξεως ευνώνεται μόνο δυο ραβδοί τότε οι τάσεις των ραβδών αυτές είναι τυδέιμες.

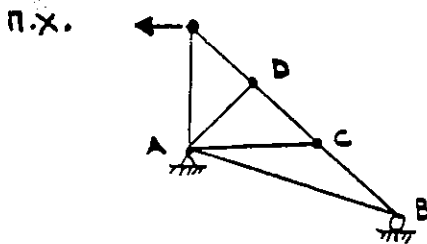


$T_1 = T_2 = 0.$

πραγματι:

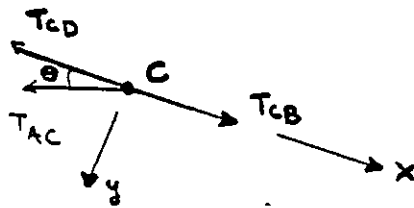


Περίπτωση 2<sup>η</sup>. όταν ε' είναι κομβό που δεν δέχεται εξωτερικά φορτία ή αντιδράσεις στηρίξεως ευνώνεται τρεις ραβδοί εκ των οποίων οι δυο είναι συγχρητικές τότε η τρίτη ραβδος έχει τυδέιμη τάση.



ετας κομβός C και D συμβαίνει η περίπτωση 2  
 άρα  $T_{AD} = T_{AC} = 0.$

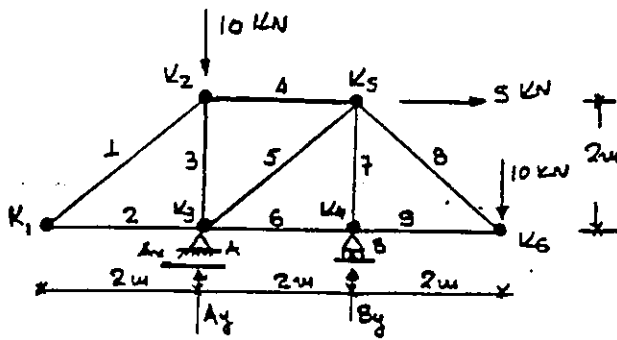
πραγματι:



$\Sigma F_y = 0 \Rightarrow T_{AC} \cdot \sin \theta = 0 \Rightarrow T_{AC} = 0$

## Παράδειγμα

- Να υπολογισθούν οι τάσεις των διτυσημάτων.



Εδώ υπάρχουν κομβοί με δύο αγνώστες δυνάμεις και πρώτα ξεκινάμε από τον  $K_2$  ο οποίος έχει δύο ραβδούς και είναι αφορτισμένος  $\Rightarrow T_1 = T_2 = a$

Κομβός  $K_2$ :

$$\sum F_x = 0 \Rightarrow T_4 = 0$$

$$\sum F_y = 0 \Rightarrow -T_3 - 10 = 0 \Rightarrow T_3 = -10$$

Κομβός  $K_6$ :

$$\sum F_y = 0 \Rightarrow T_8 \cdot \sin 45 - 10 = 0 \Rightarrow T_8 = 10\sqrt{2}$$

$$\sum F_x = 0 \Rightarrow -10 \cdot \sqrt{2} \cdot \cos 45 - T_9 = 0 \Rightarrow T_9 = -10$$

Κομβός  $K_5$ :

$$\sum F_x = 0 \Rightarrow -T_5 \cdot \cos 45 + 5 + 10\sqrt{2} \cdot \cos 45 = 0 \Rightarrow T_5 = 15\sqrt{2}$$

$$\sum F_y = 0 \Rightarrow -T_7 - 15\sqrt{2} \cdot \cos 45 - 10\sqrt{2} \cdot \cos 45 = 0 \Rightarrow T_7 = -25$$

Κομβός  $K_4$ :

$$\sum F_y = 0 \Rightarrow B_y = 25$$

$$\sum F_x = 0 \Rightarrow T_6 = -10$$

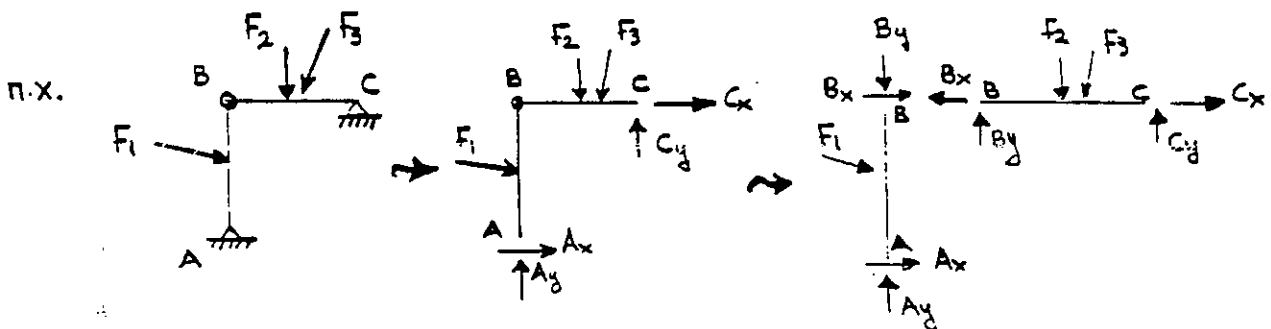
Για έλεγχο μπορούμε να βρούμε την  $B_y$  από την ισορροπία του δικτυωμάτος:  
 $(\sum M_A = 0 \Rightarrow -10 \cdot 4 + B_y \cdot 2 - 5 \cdot 2 = 0 \Rightarrow B_y = 25$  (όσο βρούσαμε και πριν).

## 8. ΠΛΑΙΣΙΑ

Αντίθετα με τα διτυωλήνια που τα μέλη τους (ραβδοί διτυωλήνιων) δέχονται μόνο δύο δυνάμεις (επιπέδως εσωτερικές δυνάμεις και αντίθετες) τα πλαίσια είναι σύνθετες υιοθεσίες που τα μέλη τους μπορούν να δέχονται περισσότερες από δύο δυνάμεις (και ροπές).

Η μέλη ενός πλαισίου συνδέονται στον υπολογιστικό άξονα των δυνάμεων (κροτών).

Επίπεδο λέγεται ένα πλαίσιο όταν όλα τα μέλη του και οι δυνάμεις που ενεργούν σε αυτό βρίσκονται στο ίδιο επίπεδο.



το πλαίσιο του σχήματος αποτελείται από δύο μέλη AB και BC που συνδέονται με αρθρωση στο B. Στόχος μας είναι να υπολογίσουμε τις εξωτερικές αντιδράσεις  $A_x, A_y, C_x, C_y$  και τις εσωτερικές δυνάμεις  $B_x, B_y$  ταξί των μελών του πλαισίου.

Η διαδικασία η οποία ακολουθεί είναι η εξής:

Αφ' όσον το πλαίσιο ισορροπεί μαζί μελος του θα ισορροπεί και θα παρέχει τρεις εξισώσεις ισορροπίας:  $\sum F_x = 0, \sum F_y = 0, \sum M_o = 0$ .

Επειδή η εξίσωση του συστήματος των εξισώσεων όλων των μελών της παρέχει τις τιμές όλων των αγνώστων.

Η ισορροπία του πλαισίου όταν εσωλόν απαιτεί την ικανοποίηση των συνθηκών  $\sum F_x = 0, \sum F_y = 0, \sum M_o = 0$ , ε' αυτές βέβαια δεν υπερισχύονται οι εξωτερικές δυνάμεις μεταξύ των μελών του πλαισίου.

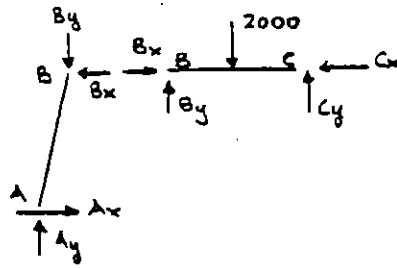
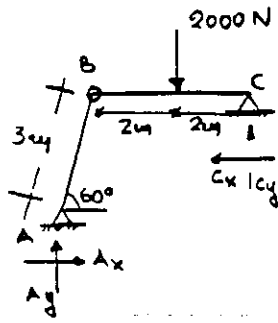
Μπορούμε λοιπόν να χρησιμοποιήσουμε όλες τις εξισώσεις για όλες των εξωτερικών αντιδράσεων μέσα στην επιλογή της πλαισίου

### ΣΧΟΛΙΟ

Στη παρούσα ανάλυση τα πλαίσια αντιμετωπίζονται στα σύνθετοι φορείς στις οποίες προδιορίζονται μόνο οι αντιδράσεις μεταξύ των μελών του (εσωτερικές ή εξωτερικές) και όχι οι αντίστοιχες κροτών.



Παραδείγματα

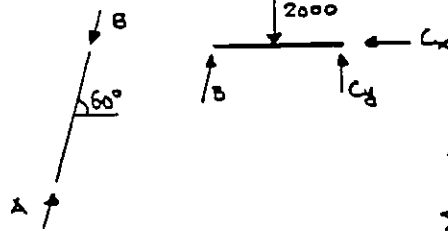


Μηκμα AB:  $\sum M_A = 0 : B_x \cdot 3 \cdot \sin 60 - B_y \cdot 3 \cdot \cos 60 = 0$   
 $\rightarrow \sum F_x = 0 : A_x - B_x = 0$   
 $\uparrow \sum F_y = 0 : A_y - B_y = 0$

Μηκμα BC:  $\sum M_C = 0 : 2000 \cdot 2 - B_y \cdot 4 = 0$   
 $\rightarrow \sum F_x = 0 : B_x - C_x = 0$   
 $\uparrow \sum F_y = 0 : B_y - 2000 + C_y = 0$

απο τις παραπάνω εξισώσεις βρίσκουμε:  $A_x = B_x = 577 \text{ N}$ ,  $A_y = B_y = 1000 \text{ N}$   
 $C_x = 577 \text{ N}$ ,  $C_y = 1000 \text{ N}$ .

Δυση δεύτερη: παρατηρούμε ότι το μέλος AB δεχεται μόνο δύο δυνάμεις των  $\vec{A} = \vec{A}_x + \vec{A}_y$  και  $\vec{B} = \vec{B}_x + \vec{B}_y$  άρα θα είναι αυτές ίσες και αντίθετες στην διεύθυνση AB (δες ερωτάτα με δύο μόνο δυνάμεις).

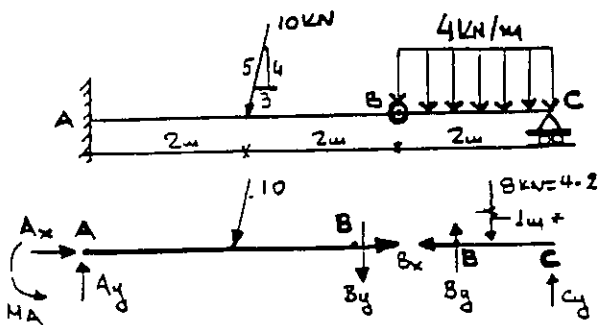


Μηκμα BC:

$\sum M_C = 0 : 2000 \cdot 2 - B \cdot \sin 60 \cdot 4 = 0 \Rightarrow B = 1154,7$   
 $\sum F_x = 0 : 1154,7 \cdot \cos 60 - C_x = 0 \Rightarrow C_x = 577$   
 $\sum F_y = 0 : 1154,7 \cdot \sin 60 - 2000 + C_y = 0 \Rightarrow C_y = 1000$

και  $A = B = 1154,7$ . Παρατηρούμε ότι η δεύτερη δύση είναι πιο εύκολη δι' αυτό πάντα ευφραίνουμε τις υπάρχουσες μέγαν με δύο μόνο δυνάμεις.

■ Να επιλυθεί το πιο κάτω σύστημα

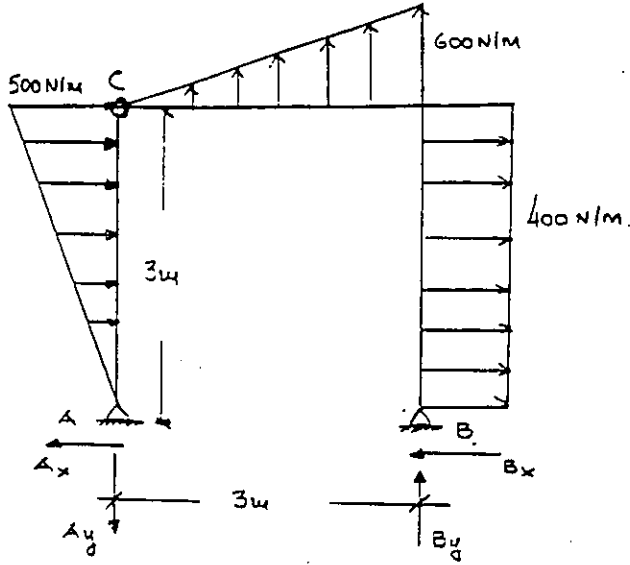


Μηκμα BC:  $\sum F_x = 0 \Rightarrow B_x = 0$   
 $\sum M_B = 0 \Rightarrow -8 \cdot 1 + C_y \cdot 2 = 0$   
 $\sum F_y = 0 \Rightarrow B_y - 8 + C_y = 0$  } ①

Μηκμα AB:  $\sum F_x = 0 : A_x - 10 \cdot \frac{3}{5} + B_x = 0$   
 $\sum M_A = 0 : M_A - 10 \cdot \frac{4}{5} \cdot 2 - B_y \cdot 4 = 0$  } ②  
 $\sum F_y = 0 : A_y - 10 \cdot \frac{4}{5} - B_y = 0$

①, ②  $\rightarrow A_x = 6 \text{ kN}$   $A_y = 12 \text{ kN}$   $M_A = 32 \text{ kNm}$   
 $B_x = 0$   $B_y = 4 \text{ kN}$   
 $C_y = 4 \text{ kN}$

■ Να υπολογισθούν οι εσωτερικές αντιδράσεις του ηλαιοίου.

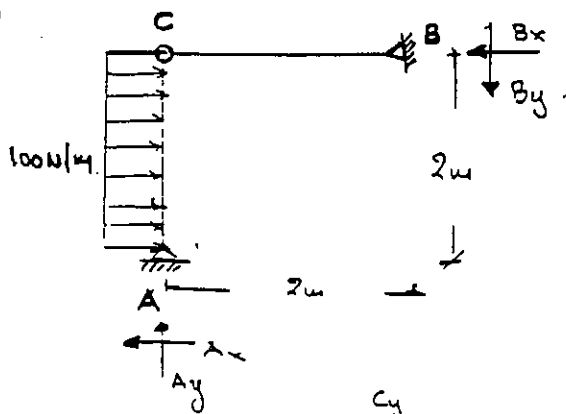


$$\left( \begin{array}{l} + \\ \circlearrowleft \end{array} \right) \Sigma M_C = 0 \quad \leadsto \quad -A_x \cdot 3 + \frac{1}{2} \cdot 500 \cdot 3 \cdot \frac{3}{3} = 0 \quad \leadsto \quad A_x = 250 \text{ N}$$

$$\left( \begin{array}{l} + \\ \circlearrowleft \end{array} \right) \Sigma M_B = 0 \quad \leadsto \quad A_y \cdot 3 - \frac{1}{2} \cdot 500 \cdot 3 \cdot 2 - \frac{1}{2} \cdot 600 \cdot 3 \cdot 1 - 400 \cdot 3 \cdot 1,5 \Rightarrow A_y = 1400 \text{ N}$$

$$\Sigma F_x = 0 \quad \leadsto \quad -250 + \frac{1}{2} \cdot 500 \cdot 3 + 400 \cdot 3 - B_x = 0 \quad \leadsto \quad B_x = 1700 \text{ N}$$

$$\Sigma F_y = 0 \quad \leadsto \quad \frac{1}{2} \cdot 600 \cdot 3 - 1400 + B_y = 0 \quad \leadsto \quad B_y = 500 \text{ N}$$



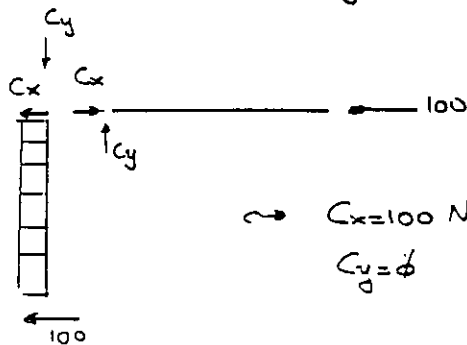
Να εντοπίσει το ηλαιοίο.

$$\left( \begin{array}{l} + \\ \circlearrowleft \end{array} \right) \Sigma M_C = 0 \quad \leadsto \quad -A_x \cdot 2 + 100 \cdot 2 \cdot 1 = 0 \quad \leadsto \quad A_x = 100 \text{ N}$$

$$\Sigma F_x = 0 \quad \leadsto \quad -B_x - 100 + 100 \cdot 2 = 0 \quad \leadsto \quad B_x = 100 \text{ N}$$

$$\Sigma M_C^{CB} = 0 \quad \leadsto \quad B_y = 0$$

$$\Sigma F_y = 0 \quad \leadsto \quad A_y = 0$$

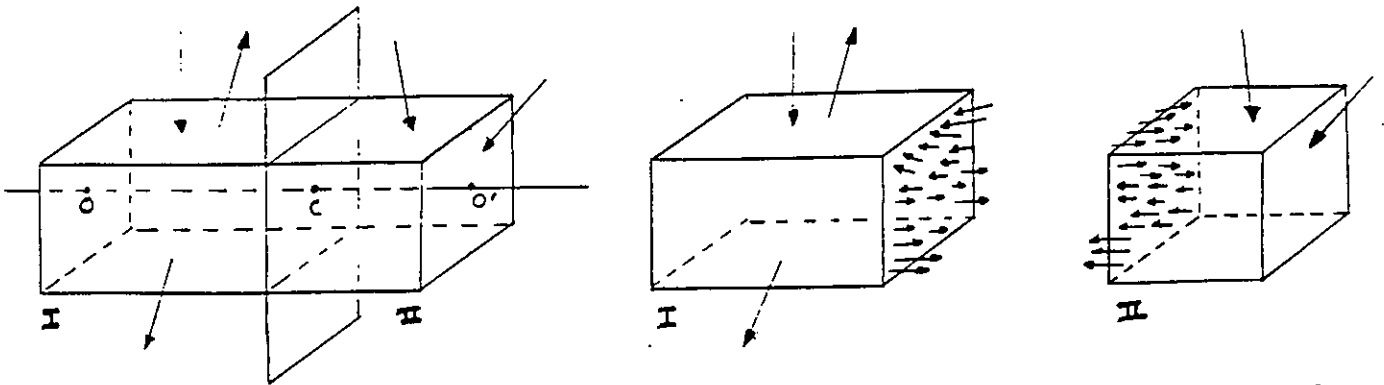


$$\leadsto \quad C_x = 100 \text{ N} \\ C_y = 0$$

9. ΕΣΩΤΕΡΙΚΕΣ ΔΥΝΑΜΕΙΣ.

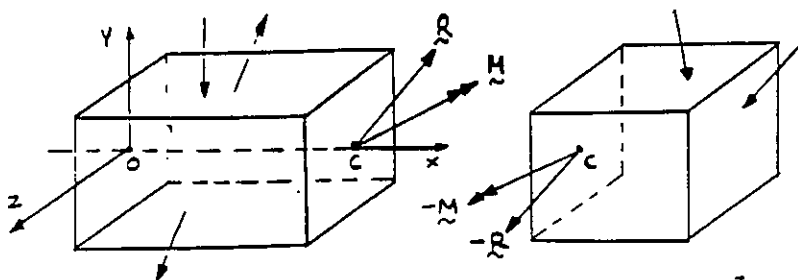
9.1 ΦΟΡΤΙΑ ΔΙΑΤΟΜΗΣ ΔΟΚΟΥ

ds είναι I και II, τα τμήματα στα οποία χωρίζεται μια δοκός που ισορροπεί με μια υποθετική τομή κάθετη στον άξονα της:



χρόνι η δοκός ισορροπεί κάθε τμήμα της θα ισορροπεί. Επομένως σε κάθε τομή θα υπάρχουν διανεμημένες δυνάμεις (εσωτερικές δυνάμεις) που ισορροπούν τις εξωτερικές δυνάμεις κάθε τμήματος. Είναι φανερό ότι στις δύο διατομές οι εσωτερικές δυνάμεις θα είναι ίσες και αντίθετες (νόμος δράσης-αντιδράσης).

Μεταφέρουμε τις δυνάμεις στο γεωμετρικό κέντρο της διατομής οπότε θα δώσουν εκεί μια συνισταμένη δύναμη R και μια συνισταμένη ροπή M.



ds είναι οxyz ένα τριεπιμοχώνιο σύστημα αξόνων των οποίων ο άξονας x είναι ο κεντρικός άξονας της δοκού και επομένως οι y και z θα βρίσκονται επάνω στην διατομή.

η συνιστώσα  $R_x = N$  της R ονομάζεται αξονική δύναμη της δοκού και οι  $R_y = Q_y$  και  $R_z = Q_z$  τέμνουσες δυνάμεις.

Η συνιστώσα  $M_x = T$  της M ονομάζεται ροπή στρέψης και οι  $M_y$  και  $M_z$  ρομές καμπής.

Οπότε αυτές οι συνιστώσες αποτελούν τα φορτία διατομής της δοκού, και όπως θα δούμε στην ανάλυση των υφλών είναι καθοριστικά για τον υπολογισμό της αντοχής της δοκού.

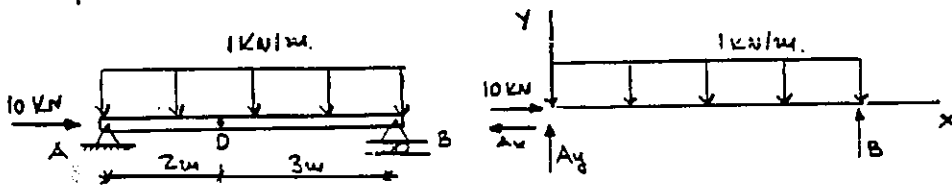
Όταν οι εξωτερικές δυνάμεις δρουν στο επίπεδο οξύ τα φορτία διατομής της δοκού περιορίζονται στα  $N$ ,  $V=V_y$  και  $M=M_z$

Συμφωνα με τα προηγούμενα για να υπολογιστεί κανείς τα φορτία διατομής της δοκού σε κάποια θέση ακολουθεί την εξής διαδικασία:

- προσδιορίζει τις εξωτερικές αντιδράσεις της δοκού.
- με μια τομή κάθετη στον άξονα της δοκού στη θέση εκείνη χωρίζει την δοκό σε δύο τμήματα. Εφαρμόζει στις δύο διατομές τα αγνωστά φορτία διατομής με κάποια υποθετική φορά (ίσες και αντίθετες στις δύο διατομές).
- όσο τις εξισώσεις ισορροπίας του ενός από τα δύο τμήματα υπολογίζουμε τα φορτία διατομής. Εάν τα λείπα κανονικών προκύψουν αρνητικά σημαίνει ότι έχουν αντίθετη φορά απ' αυτήν που υποθέσαμε.

### Παραδείγματα

- Να βρεθούν τα φορτία διατομής της δοκού στο σημείο D.

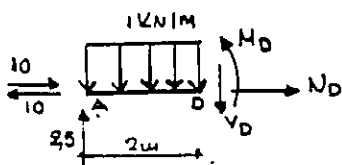


$$\text{αντιδράσεις: } \sum F_x = 0: 10 - A_x = 0 \Rightarrow A_x = 10 \text{ kN}$$

$$\left( \sum M_B = 0: -A_y \cdot 5 + 1 \cdot 5 \cdot \frac{5}{2} = 0 \Rightarrow A_y = 2,5 \text{ kN} \right.$$

$$\left. \sum F_y = 0: 2,5 - 1 \cdot 5 + B = 0 \Rightarrow B = 2,5 \text{ kN} \right.$$

Φορτία διατομής στο D.



ισορροπία τμήματος AD:

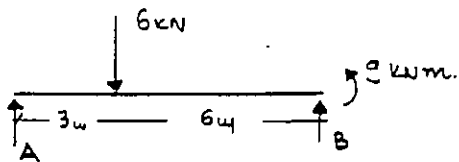
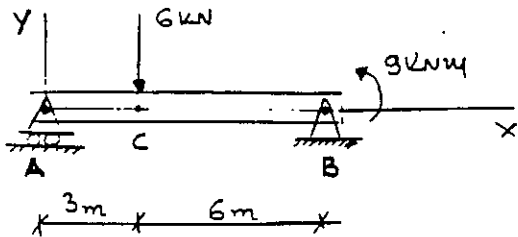
$$\sum F_x = 0: N_D + 10 - 10 = 0 \Rightarrow N_D = 0 \text{ kN}$$

$$\sum F_y = 0: 2,5 - 1 \cdot 2 - V_D = 0 \Rightarrow V_D = 0,5 \text{ kN}$$

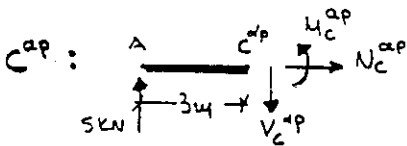
$$\left( \sum M_D = 0: -2,5 \cdot 2 + 1 \cdot 2 \cdot \frac{2}{2} + M_D = 0 \Rightarrow M_D = 3 \text{ kNm} \right.$$

Τα δέγματα προέκυψαν για τα λείπα των  $N_D$ ,  $V_D$ ,  $M_D$  δείχνουν ότι οι φέρες τους υποθέθηκαν σωστά.

■ Να προσδιοριστούν τα φορτία διατομής αριστερά και δεξιά από το επίπεδο εφαρμογής της μοναχικής δύναμης της δοκού του σχήματος.



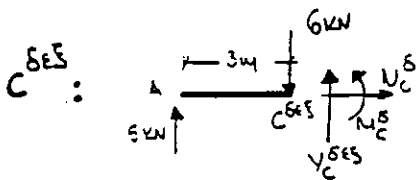
$$(+ \sum M_B = 0 \quad - A \cdot 9 + 6 \cdot 6 + 9 = 0 \rightarrow A = 5 \text{ kN}$$



$$\sum F_x = 0 \rightarrow N_C^{ap} = 0$$

$$\sum F_y = 0 \rightarrow 5 - V_C^{ap} = 0 \rightarrow V_C^{ap} = 5 \text{ kN}$$

$$(+ \sum M_C = 0 \rightarrow -5 \cdot 3 + M_C^{ap} = 0 \rightarrow M_C^{ap} = 15 \text{ kNm}$$

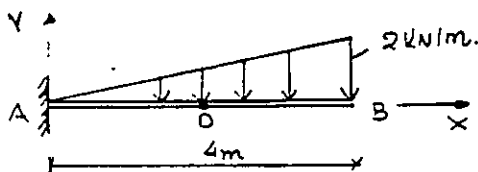


$$\sum F_x = 0 \rightarrow N_C^{\delta} = 0$$

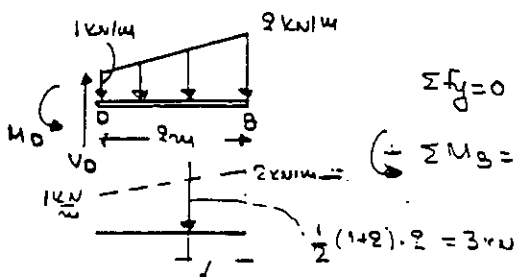
$$\sum F_y = 0 \rightarrow 5 - 6 + V_C^{\delta} = 0 \rightarrow V_C^{\delta} = 1$$

$$(+ \sum M_C = 0 \rightarrow -5 \cdot 3 + M_C^{\delta} = 0 \rightarrow M_C^{\delta} = 15 \text{ kNm}$$

■ Να υπολογισθούν τα  $M, V$  στο κέντρο D της δοκού του σχήματος.



παρατηρούμε ότι αν θεωρήσουμε την ισορροπία του τμήλου OB δεν χρειάζεται να υπολογίσουμε τις αντιδράσεις.



$$\sum F_y = 0 : V_D - \frac{1}{2} (1+2) \cdot 2 = 0 \rightarrow V_D = 3 \text{ kN}$$

$$(+ \sum M_B = 0 : M_D - 3 \cdot 2 + 3 \cdot \frac{8}{9} = 0 \rightarrow M_D = 3,33 \text{ kNm}$$

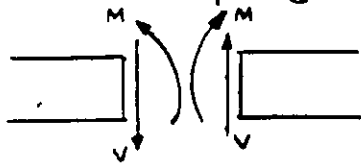
## 9.2 Διαγράμματα Τεμνουσών Δυνάμεων και Καμπτικών Ροπών

### Επίπεδο προβλημα

Σύμφωνα με τα προηγούμενα σε κάθε διατομή της δοκού αντιστοιχεί μια τέμνουσα δύναμη  $V$  και μια καμπτική ροπή  $M$ . Έτσι οι  $V$  και  $M$  ορίζονται σαν συναρτήσεις  $V(x)$  και  $M(x)$  της τεμνουσής του άξονα της δοκού.

Οι γραφικές παραστάσεις των συναρτήσεων αυτών είναι τα θεμελιώδη διαγράμματα των φορτίων διατομής. Οι  $V(x)$ ,  $M(x)$  αλλάζουν εκφραση εκεί που αλλάζει εκφραση το διανεμημένο φορτίο ή υπάρχει κεντρική δύναμη ή κεντρική ροπή (επηρεάζει μόνον την  $M(x)$ ).

Για τις τέμνουσες δυνάμεις και τις καμπτικές ροπές χιευται η εξής παραδοχή προσημίων: η  $V$  είναι θετική όταν στην αριστερή διατομή έχει φορά προς τα κάτω και επομένως στην δεξιά προς τα επάνω. Η  $M$  είναι θετική όταν στην αριστερή διατομή έχει την αντιπρορολογιακή φορά και επομένως στην δεξιά την ωρολογιακή:



Η διαδικασία που ακολουθείται για την κατασκευή των διαγραμμάτων των  $M(x)$  και  $V(x)$  είναι η εξής:

a) Έρεση αντιδράσεων.

b) Έρεση των  $M(x)$  και  $V(x)$  για όλα τα τμήματα στα οποία χωρίζεται η δοκός από χαρακτηριστικά σημεία δηλ: στηρίξεις, σημεία εφαρμογής κεντρικών δυνάμεων και ροπών, σημεία αλλαγής διανεμημένων φορτίων, ελεύθερα άκρα.

c) Γραφική παράσταση των  $M(x)$ ,  $V(x)$

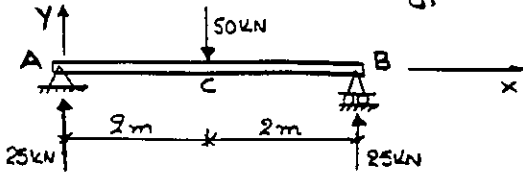
**Σχολίο:** Σύμφωνα με την παραδοχή προσημίων για τις  $V$  και  $M$ , όταν τις υπολογίζουμε από αριστερά: οι δυνάμεις που κατευθύνονται προς τα επάνω δίνονται θετικά  $V$  και  $M$  ενώ αυτές που κατευθύνονται προς τα κάτω αρνητικά.

Όταν τις υπολογίζουμε από δεξιά: οι προς τα επάνω δυνάμεις δίνονται αρνητικές

$V$  και θετικά  $M$ , ενώ οι προς τα κάτω δίνονται  $V$  και αρνητικά  $M$ .

Παραδείγματα.

■. Να σχεδιασθούν τα διαγράμματα των  $M(x)$  και  $V(x)$  για την δοκο του σχήματος

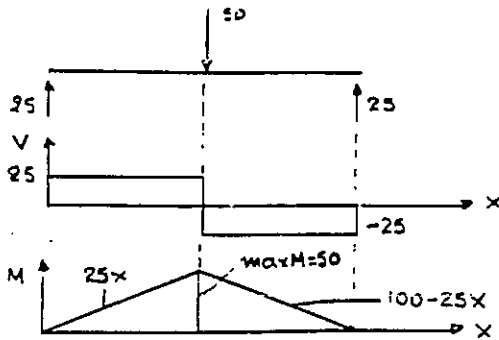
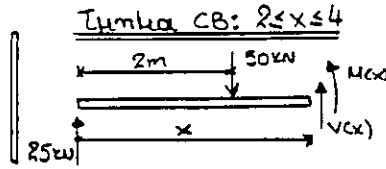
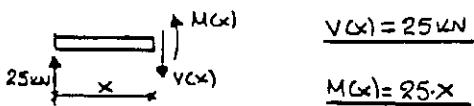


αντιδράσεις:  $(+ \Sigma M_B = 0 \rightarrow -A_y \cdot 4 + 50 \cdot 2 = 0 \rightarrow A_y = 25$

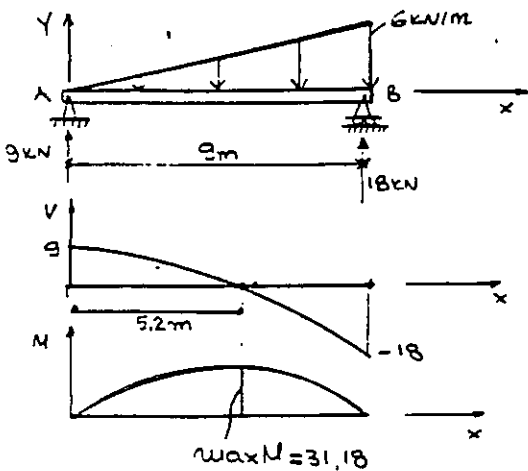
$\Sigma F_y = 0 \rightarrow 25 - 50 + B_y = 0 \rightarrow B_y = 25$

θα εξετάσουμε τα τμήματα AC:  $0 \leq x \leq 2$  και CB:  $2 \leq x \leq 4$  (C: βυθίτιο εφαρμογής μοναδικού φορτίου).

Τμήμα AC:  $0 \leq x \leq 2$



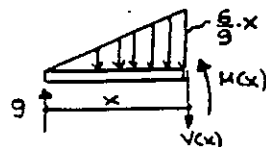
■. Να σχεδιασθούν τα διαγράμματα  $M(x)$ ,  $V(x)$  της δοκου του σχήματος.



αντιδράσεις:  $(+ \Sigma M_B = 0 \rightarrow -A_y \cdot 9 + \frac{1}{2} \cdot 9 \cdot 6 \cdot \frac{9}{3} = 0 \rightarrow A_y = 9$

$\Sigma F_y = 0 \rightarrow 9 - \frac{1}{2} \cdot 6 \cdot 9 + B_y = 0 \rightarrow B_y = 18$

Εδώ τα  $M(x)$ ,  $V(x)$  θα έχουν ευχάριστη ευφραση στο



$V(x) = 9 - \frac{1}{2} \cdot \frac{6}{9} x \cdot x = -\frac{x^2}{3} + 9$

$V(x) = 0 \rightarrow x = 5,2 \text{ m}$

$M(x) = 9x - \frac{1}{2} \cdot \frac{6}{9} x \cdot \frac{x}{3} = -\frac{x^3}{9} + 9x$

$\text{max } M : \rightarrow \frac{dM}{dx} = -\frac{x^2}{3} + 9 = 0 \rightarrow x = 5,2 \text{ m}$

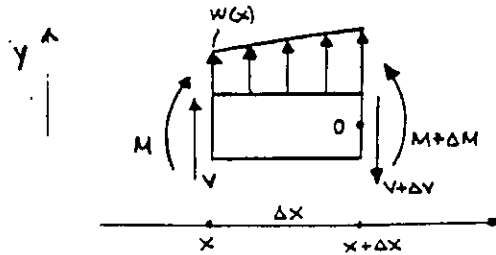
και  $\text{max } M = 31,18 \text{ kNm}$

**93 Σχέσεις μεταξύ Διανεμημένου Φορτίου, Τμήνουςας Δυναμής και Ροπής Καμψης**

Εξετάζουμε την ισορροπία ενός τμήματος  $\Delta x$  μιας δοκού που φορτίζεται με ένα διανεμημένο φορτίο  $w(x)$ :

Στα επόμενα  $w(x)$  συμβολίζει το αλγεβρικό μέτρο του  $w$  δηλ

$w > 0$  όταν  $w \uparrow$  και  $w < 0$  όταν  $w \downarrow$



για  $\Delta x$  πολύ μικρό το  $w(x)$  θα είναι ελάχιστα ομοιομορφο  $\rightarrow$

$$\sum F_y = 0; \quad V + w(x) \cdot \Delta x - V - \Delta V = 0 \quad \rightarrow \quad \frac{\Delta V}{\Delta x} = w(x)$$

$$\sum M_o = 0; \quad -M - V \cdot \Delta x - w(x) \cdot \Delta x \cdot \frac{\Delta x}{2} + M + \Delta M = 0 \quad \rightarrow \quad \frac{\Delta M}{\Delta x} = V + w(x) \cdot \frac{\Delta x}{2}$$

παιρνοντας τα όρια των παραπάνω σχέσεων όταν  $\Delta x \rightarrow 0 \rightarrow$

$$\boxed{\frac{dV}{dx} = w(x)} \quad \text{και} \quad \boxed{\frac{dM}{dx} = V}$$

**Ιδιότητες Διαγραμμάτων Φορτίων Διοτήσης.**

Από τις παραπάνω σχέσεις προκύπτουν οι εξής ιδιότητες για τα διαγράμματα  $M, V$

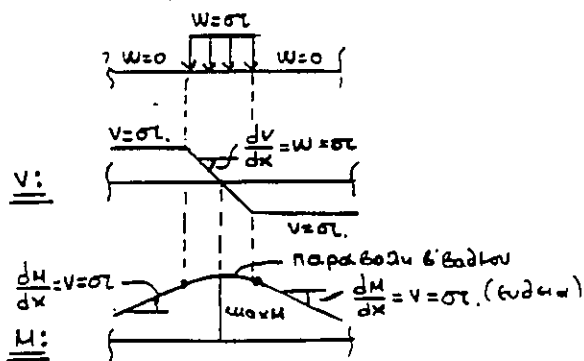
I) στα τμήματα όπου  $w(x) = 0 \rightarrow V(x) = \text{σταθερή}$ ,  $M(x) = \text{ευθεία με κλίση } V = \text{σταθ}$

" " "  $w(x) = \text{σταθ.} \rightarrow V(x) = \text{ευθεία με κλίση } w = \text{στ.}$ ,  $M(x) = \text{παραβολή 2 βαθμ.}$

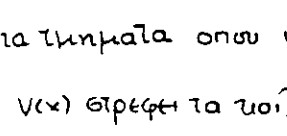


γενικά αν το  $w(x)$  είναι πολυωνυμικό η βαθμ. τότε  $V(x) = \text{πολυωνυμικό } n+1 \text{ βαθμ.}$

και  $M(x) = \text{πολυωνυμικό } n+2 \text{ βαθμ.}$

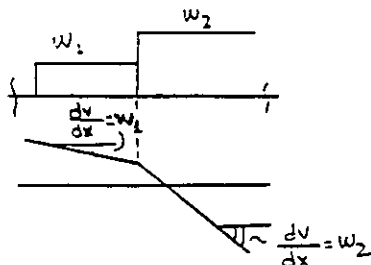
II) στα σημεία όπου  $V(x) = 0 \rightarrow \dot{M}(x)$  παίρνει ακραία τιμή.



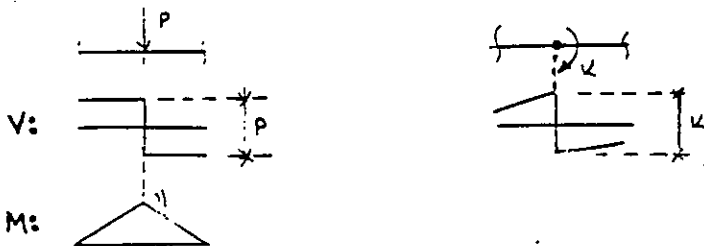


III) στα τμήματα όπου  $w(x)$  αυξάνει  $\rightarrow v(x)$  στρέφει τα κοίδια προς τα ανω:  , αν  $w(x)$  φθ  
 $\rightarrow v(x)$  στρέφει τα κοίδια προς τα κατω:  
 όπου  $w(x) > 0 \rightarrow M(x)$ :  , όπου  $w(x) < 0 \rightarrow M(x)$ : 

IV) στα βήματα αλλαγής του διατεταμένου φορτίου ή  $v(x)$  εμφανίζει γωνιακό βήμα



V) στα βήματα εφαρμογής μοναχικής δύναμης: η  $v(x)$  εμφανίζει άλμα ίσο με την δύναμη και η  $M(x)$  γωνιακό βήμα. Στα βήματα εφαρμογής μοναχικής ροής η  $M(x)$  εμφανίζει άλμα ίσο με την ροπή. (η  $v(x)$  δεν επηρεάζεται).



VI) η σχέση  $dv = w \cdot dx \rightarrow \int_{v_1}^{v_2} dv = \int_{x_1}^{x_2} w dx \rightarrow v_2 = v_1 + \int_{x_1}^{x_2} w dx$  δηλ η τέμνουσα δύναμη στην θέση  $x_2$  ισούται με την τέμνουσα στην θέση  $x_1$  συν το προσημασμένο εμβαδό τριγωνίας φορτίσεως από  $x_1$  έως  $x_2$ .

Επίσης η σχέση  $dM = v dx \rightarrow \int_{M_1}^{M_2} dM = \int_{x_1}^{x_2} v dx \rightarrow M_2 = M_1 + \int_{x_1}^{x_2} v dx$  δηλ η αλγεβρική ροπή στην θέση  $x_2$  ισούται με την αλγεβρική ροπή στην θέση  $x_1$  συν το προσημασμένο εμβαδόν του διαγράμματος των τέμνουσων από  $x_1$  έως  $x_2$ .

### Κατασκευή διαγραμμάτων Μ, V με χρήση των ιδιοτήτων τους.

Κανονίας χρήση των ιδιοτήτων τους μπορούμε εύκολα να κατασκευάσουμε τα διαγράμματα των  $M(x), V(x)$ , χωρίς να βρούμε τις αναλυτικές τους εκφράσεις. ακολουθούμε την παρακάτω διαδικασία:

a) Υπολογίζουμε τις εξωτερικές αντιδράσεις.

b) Ξεκινώντας από το αριστερό άκρο της δοκού όπου η  $V$  έχει κάποια τιμή  $V_A$ , βρίσκουμε τις τιμές της  $V$  στα χαρακτηριστικά σημεία (επιρροές, σημεία εφαρμογής μοναχικών δυνάμεων, σημεία αλλαγής διανεμημένου φορτίου, ελεύθερα άκρα) εφαρμόζοντας την σχέση  $V_2 = V_1 + \text{προς. εμβαδο } w(x) \Big|_x^{x_2}$  και ενωνούμε με τις καταλλήλες γραφικές δηλ. ευθεία αν  $w(x) = \text{στ.}$ , παραβολή β' βαθμύ αν  $w(x) = \text{γραμμικό κ.ο.κ.}$ , βέβαια όπου υπάρχει μοναχική δύναμη η  $V$  θα έχει άλμα ίσο με την δύναμη.

c) Εάν κατασκευάσουμε το διάγραμμα της  $V(x)$ , ξεκινώντας πάλι από το αριστερό άκρο όπου η  $M$  έχει κάποια τιμή  $M_A$  βρίσκουμε τις τιμές της  $M$  στα χαρακτηριστικά σημεία (στα ίδια όπως πριν + σημεία εφαρμογής μοναχικών ροπών) εφαρμόζοντας την σχέση  $M_2 = M_1 + \text{προς. εμβαδο } V(x) \Big|_x^{x_2}$  και ενωνούμε με τις καταλλήλες γραφικές δηλ. ευθεία αν  $V = \text{στ.}$ , παραβολή β' βαθμύ αν  $V$  γραμμικό κ.ο.κ. όπου υπάρχει μοναχική ροπή η  $M$  θα έχει άλμα ίσο με την ροπή.

Να σημειωθεί ότι μπορεί κάποιος να βρει και τις αναλυτικές εκφράσεις των  $V(x)$  και  $M(x)$  σε κάποιο διάστημα  $(x_1, x_2)$  ως εξής:

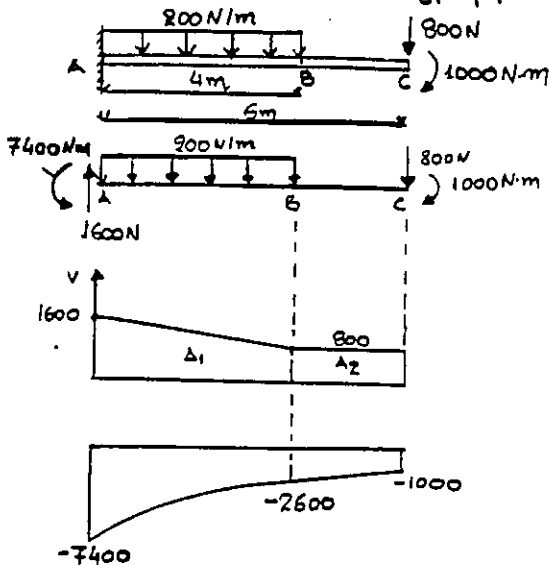
αν η  $M(x)$  είναι π.χ. έστω το διάστημα παραβολή β' βαθμύ θα έχει την εκφράση:

$$M(x) = ax^2 + bx + c \Rightarrow \frac{dM}{dx} = V(x) = 2ax + b \Rightarrow \frac{dV}{dx} = w(x) = 2a.$$

$\rightarrow \left. \begin{array}{l} M(x_1) = ax_1^2 + bx_1 + c \\ V(x_1) = 2ax_1 + b \\ w(x_1) = 2a \end{array} \right\} \rightarrow \text{για γινώστα } M(x_1), V(x_1), w(x_1) \text{ βρίσκουμε τα } a, b, c.$

Παραδείγματα.

■ Να σχεδιασθούν τα διαγράμματα  $M(x), V(x)$  για την δοκο του σχήματος.



Αντιδράσεις:

$$(+ \Sigma M_A = 0 \rightarrow M_A - 200 \cdot 4 \cdot 2 - 800 \cdot 6 - 1000 = 0 \rightarrow M_A = 7400$$

$$\Sigma F_y = 0 \rightarrow A_y - 200 \cdot 4 - 800 = 0 \rightarrow A_y = 1600 \text{ N}$$

Χαρακτηριστικά σημεία: A, B, C

$$V_A = 1600, \quad V_B = 1600 - 200 \cdot 4 = 800, \quad V_C = 800$$

Τμήμα AB ( $0 \leq x \leq 4$ ):  $w = -200 = \text{const} \rightarrow v(x)$ : ευθεία.

Τμήμα BC ( $4 \leq x \leq 6$ ):  $w = 0 \rightarrow v(x)$ : σταθερή.

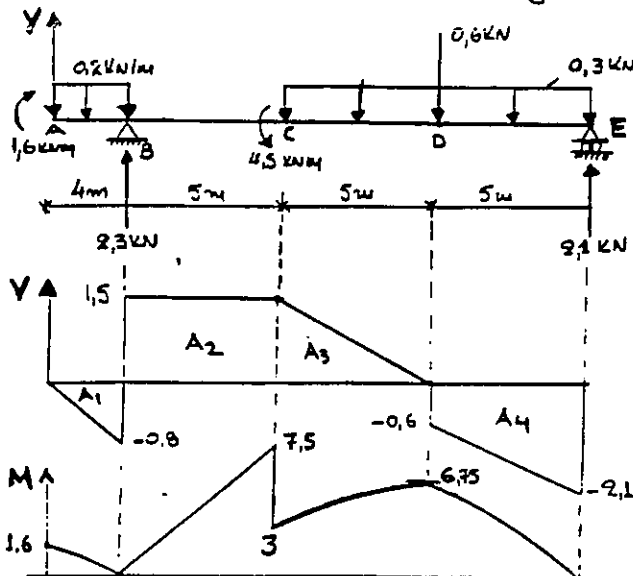
$$M_A = -7400, \quad M_B = -7400 + A_1 = -7400 + \frac{1}{2}(1600 + 800) \cdot 4 = -2600$$

$$M_C = -2600 + A_2 = -2600 + 800 \cdot 2 = -1000 \text{ (όπως και πριν)}$$

Τμήμα AB:  $V = \text{γραμμικό}, w = -200 < 0 \rightarrow M(x)$  παραβ' βαθμίου που στρέφει τα υοίλια προς τα ↓

Τμήμα BC:  $V = \text{σταθ.} \rightarrow M(x) = \text{ευθεία.}$

■ Να σχεδιασθούν τα  $M(x), V(x)$  για την παρακάτω δοκό.



Αντιδράσεις

$$(+ \Sigma M_E = 0 \rightarrow -1,6 + 0,2 \cdot 4 \cdot 1,7 - A_y \cdot 1,5 + 4,5 + 0,3 \cdot 10 \cdot 5 + 0,6 \cdot 5 = 0$$

$$\rightarrow A_y = 2,3 \text{ kN} \quad \Sigma F_y = 0 \rightarrow E_y = 2,1 \text{ kN.}$$

Χαρακτηριστικά σημεία: A, B, C, D, E

$$V_A = 0, \quad V_B^{\text{ap}} = 0 - 0,2 \cdot 4 = -0,8, \quad V_B^{\text{εξ}} = -0,8 + 2,3 = 1,5, \quad V_C = 1,5$$

$$V_D^{\text{ap}} = 1,5 - 0,3 \cdot 5 = 0, \quad V_D^{\text{εξ}} = 0 - 0,6 = -0,6, \quad V_E = -0,6 - 0,3 \cdot 5 = -2,1$$

στα τμήματα AB, CD, DE όπου  $w = \text{σταθ}$  και  $v$  είναι

γραμμική, στο BC όπου  $w = 0$  είναι  $V = \text{σταθ.}$

$$M_A = 1,6, \quad M_B = 1,6 + A_1 = 1,6 - \frac{1}{2} \cdot 0,8 \cdot 4 = 0, \quad M_C = 0 + A_2 = 5 \cdot 1,5 = 7,5$$

$$M_D = 7,5 - 4,5 = 3, \quad M_D = 3 + A_3 = 3 + \frac{1}{2} \cdot 1,5 \cdot 5 = 6,75$$

$$M_E = 6,75 + A_4 = 6,75 - \frac{1}{2} \cdot (0,6 + 2,1) \cdot 5 = 0$$

ας βρούμε την έκφραση του  $M(x)$  στο CD (γραμμική)

$$\text{θα είναι } M(x) = ax^2 + bx + \gamma \rightarrow \frac{dM}{dx} = V = 2ax + b$$

$$\text{και } \frac{dV}{dx} = 2a = w(x) = -0,3 \rightarrow a = -0,15$$

$$V(3) = 1,5 \rightarrow b = 4,2, \quad M(3) = 3 \text{ (για το CD)}$$

$$\rightarrow \gamma = -22,65 \text{ δηλ. } M(x) = -0,15x^2 + 4,2x - 22,65$$

στα τμήματα AB, CD, DE:  $V = \text{γραμμικό}, w < 0 \rightarrow M$  παραβ'

βαθμίου με τα υοίλια προς τα κάτω.

στο BC όπου  $V = \text{σταθ.}$   $M = \text{ευθεία.}$

## ΜΕΡΟΣ ΔΕΥΤΕΡΟ : ΑΝΤΟΧΗ ΤΩΝ ΥΛΙΚΩΝ

### 1. ΑΝΤΙΚΕΙΜΕΝΟ ΜΑΘΗΜΑΤΟΣ

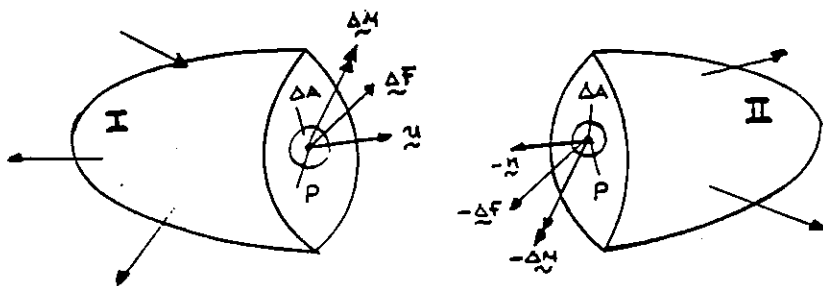
Το αναλυτικώς στερεό σώμα που θεωρήσαμε στο πρώτο μέρος είναι μια εξιδανικευμένη ένωση. Καθε σώμα με την επίδραση δυνάμεων παραμορφώνεται: οι αποστάσεις μεταξύ των υλικών του σιλικίων μεταβάλλονται.

Τα υλικά σώματα αντιδρούν εαυτά τα μεταβολών και μεταξού τους αναπτύσσονται εσωτερικές δυνάμεις.

Η αντοχή των υλικών εξετάζει τις εσωτερικές δυνάμεις και παραμορφώσεις των σωμάτων από την επίδραση εξωτερικών δυνάμεων.

### 2. ΕΝΝΟΙΑ ΤΑΣΗΣ

Έστω ένα σώμα που βρίσκεται ες ισορροπία. Ως θεωρήσουμε ένα σημείο  $P$  του σώματος και μια διάτομη που περνά από το  $P$  και χωρίζει το σώμα σε δύο μέρη  $I$  και  $II$  όπου το σώμα ισορροπεί καθε μέρος του θα ισορροπεί και έτσι η πάνω στη διάτομη θα υπάρχουν εσωτερικές διανευμένες δυνάμεις που ασκούνται μεταξύ των δύο μερών του σώματος (ισές και αντίθετες στα δύο μέρη - νόμος δράσης-αντίδρασης).



Γύρω από το σημείο  $P$  φανταστούμε μια ανειροστή επιφάνεια  $\Delta A$  ένωσ στην διάτομη με τον άξονα κάθετο διανυσμα το  $\underline{n}$  (διανυσμα προσανατολισμού της  $\Delta A$ ) εξ ουόθεν το  $\underline{n}$  θα βανεται σε καθε παρεια της διατομης με διεύθυνση προς το εξωτερικό του τμήματος που ανηκει αυτή.

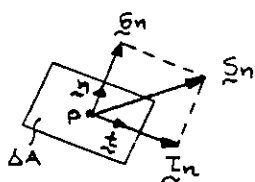
Έστω  $\underline{\Delta F}$  η συνισταμένη των διανευμένων στην  $\Delta A$  δυνάμεων και  $\underline{\Delta M}$  η συνισταμένη ροπή τους γύρω από το  $P$ . θεωρούμε ότι όσο πιο μικρή είναι η  $\Delta A$  τόσο πιο ομοιογενής γίνεται η διεύθυνση των δυνάμεων στην  $\Delta A$ , και επομένως  $\underline{\Delta M} \approx 0$ .

ορίζουμε σαν διανύσμα τάσης στο επίπεδο P που αντιστοιχεί στο δασύευ προσανατολ

θμο  $\underline{\eta}$  της  $\Delta A$  το διανύσμα:  $\underline{\Sigma}_\eta = \lim_{\Delta A \rightarrow 0} \frac{\Delta \underline{F}}{\Delta A}$  (δυναμική/επιφάνεια)

Μονάδα μέτρησης της τάσης:  $1N/m^2 = 1Pa$  (Pascal), και τα παραγώγα του.

Το διανύσμα τάσης μπορεί να αναλυθεί σε μια συνιστώσα  $\underline{\sigma}_\eta$  κάθετη στην  $\Delta A$  που ονομάζεται ορθή τάση και μια  $\underline{\tau}_\eta$  επάνω στην  $\Delta A$  που ονομάζεται διατμητική τάση.



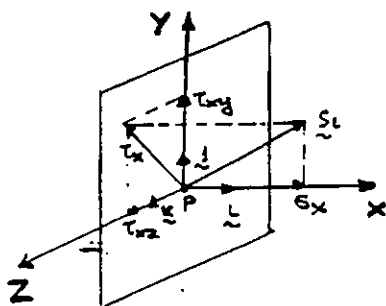
$$\underline{\Sigma}_\eta = \underline{\sigma}_\eta + \underline{\tau}_\eta = \sigma_\eta \cdot \underline{\eta} + \tau_\eta \cdot \underline{t}$$

$$\sigma_\eta = \lim_{\Delta A \rightarrow 0} \frac{\Delta F_n}{\Delta A}, \quad \tau_\eta = \lim_{\Delta A \rightarrow 0} \frac{\Delta F_t}{\Delta A}$$

$$\Delta \underline{F} = \Delta F_n \cdot \underline{\eta} + \Delta F_t \cdot \underline{t}$$

ώστε το διανύσμα της τάσης σε ένα επίπεδο εξαρτάται όχι μόνο από την θέση του επιπέδου μέσα στο σώμα αλλά και από τον προσανατολισμό της ανειροστής επιφάνειας  $\Delta A$  που θεωρούμε γύρω από το επίπεδο. Αποδεικνύεται όμως ότι αρκεί να γνωρίζουμε τρεις διαφορετικούς προσανατολισμούς  $\underline{\eta}_1, \underline{\eta}_2, \underline{\eta}_3$  ώστε να μπορεί να βρει την τάση σε κάθε άλλο προσανατολισμό.

Έτσι αν πάρουμε σαν  $\underline{\eta}_1, \underline{\eta}_2, \underline{\eta}_3$  τα μοναδιαία  $\underline{l}, \underline{j}, \underline{k}$  ενός καρτεσιανού συστήματος οxyz που θεωρούμε στοιχειώδη επίπεδα κάθετα στους άξονες ox, oy, oz αντίστοιχα, η ευτατική κατάσταση στο P θα περιγράφεται πλήρως με τις τάσεις  $\underline{\Sigma}_l, \underline{\Sigma}_j, \underline{\Sigma}_k$ . αναλύουμε αυτές στις ορθές και διατμητικές τους συνιστώσες στο αντίστοιχο επίπεδο. Τις συνιστώσες αυτές συμβολίζουμε με δύο δείκτες: ο πρώτος δείκτης δίνει τον άξονα τον κάθετο στο επίπεδο, ο δεύτερος δείκτης δηλώνει την διεύθυνση της συνιστώσας. π.χ η  $\sigma_{xx}$  θα είναι η ορθή τάση στο επίπεδο το κάθετο στο άξονα x (οι ορθές τάσεις συμβολίζονται συνήθως με ένα μόνο δείκτη π.χ  $\sigma_x$ ), ενώ η  $\tau_{xy}$  θα είναι η διατμητική τάση στο ίδιο επίπεδο η παράλληλη με τον άξονα y.



$$\underline{\Sigma}_l = \sigma_x \cdot \underline{l} + \tau_{xy} \cdot \underline{j} + \tau_{xz} \cdot \underline{k}$$

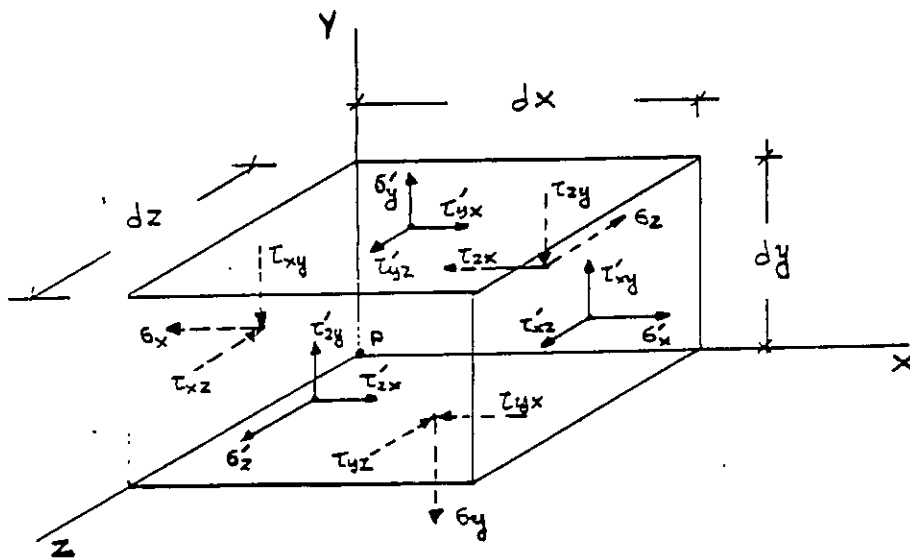
Ετσι θα έχουμε:

$$\begin{aligned} \underline{S}_x &= \sigma_x \cdot \underline{i} + \tau_{xy} \cdot \underline{j} + \tau_{xz} \cdot \underline{k} \\ \underline{S}_y &= \tau_{yx} \cdot \underline{i} + \sigma_y \cdot \underline{j} + \tau_{yz} \cdot \underline{k} \\ \underline{S}_z &= \tau_{zx} \cdot \underline{i} + \tau_{zy} \cdot \underline{j} + \sigma_z \cdot \underline{k} \end{aligned} \quad \rightarrow \quad \begin{pmatrix} \underline{S}_x \\ \underline{S}_y \\ \underline{S}_z \end{pmatrix} = \begin{pmatrix} \sigma_x & \tau_{xy} & \tau_{xz} \\ \tau_{yx} & \sigma_y & \tau_{yz} \\ \tau_{zx} & \tau_{zy} & \sigma_z \end{pmatrix} \cdot \begin{pmatrix} \underline{i} \\ \underline{j} \\ \underline{k} \end{pmatrix}$$

και η εντατική κατάσταση στο σημείο P θα περιγράφεται από τις έυρεα συνιστώσες των  $\underline{S}_x, \underline{S}_y, \underline{S}_z$  που διατάσσονται στο παραπάνω μήτρωο (μήτρωο τάσης) για τις συνιστώσες αυτές γίνεται η εξής Παραδοχή προσήλων: έχουν τα ίδια πρόσημα ε' όποια παρεία τους διατομής κι αν ενεργούν και είναι θετικές όταν στην παρεία με διανυσμα προσανατολισμό το θετικό μοναδιαίο του άξονα έχουν την διεύθυνση των άξονων ή στην αντίθετη παρεία έχουν την αντίθετη διεύθυνση.

### 2.1. Συμμετρία Μήτρωου Τάσης.

Απόκόπτουμε από το σώμα ένα στοιχειώδες παραλληλεπίπεδο γύρω από το σημείο P με εδρες κάθετες στους άξονες x, y, z.



στις εδρες του παρα/πέδου είναι ευφειωμένες οι θετικές τάσεις σύμφωνα με την παραπάνω παραδοχή. Ετσι στις εδρες με την λεγόμενη εσωτερική όψη οι τάσεις έχουν τις θετικές φορές των άξονων (οι τάσεις με τους τόνους), ενώ στις απέναντι εδρες τις αρνητικές.

Οι τάσεις  $\sigma_x, \tau_{xy}, \dots, \sigma_z$  αναφέρονται στο επίπεδο P ενώ στις ανεναντι έδρες θα εφέρουν κατά αντίστοιχες ποσοότητες.  $\pi_x$  θα είναι:

$$\sigma'_x = \sigma_x + d\sigma_x = \sigma_x + \frac{\partial \sigma_x}{\partial x} \cdot dx + \frac{\partial \sigma_x}{\partial y} \cdot dy + \frac{\partial \sigma_x}{\partial z} \cdot dz = \sigma_x + \frac{\partial \sigma_x}{\partial x} \cdot dx$$

$$\tau'_{xy} = \tau_{xy} + d\tau_{xy} = \tau_{xy} + \frac{\partial \tau_{xy}}{\partial x} \cdot dx$$

$$\tau'_{xz} = \tau_{xz} + d\tau_{xz} = \tau_{xz} + \frac{\partial \tau_{xz}}{\partial x} \cdot dx$$

Αναλόγως τυχόν ισχύουν για τις άλλες έδρες.

Η ισορροπία του παρα/πλάσιου απαιτεί τον μηδενισμό του άθροισματος των ροπών των δυνάμεων που εφέρουν έαυτο ως προς οποιοδήποτε επίπεδο.

Παίρνοντας ροπές ως προς το κέντρο βαρύνσης C του παρα/πλάσιου θα πρέπει:

$$\sum M_C = \sum M_x \cdot \underline{i} + \sum M_y \cdot \underline{j} + \sum M_z \cdot \underline{k} = 0$$

$$\text{η } \sum M_z = 0 \text{ δίνει: } \tau_{xy} \cdot dy \cdot dz \cdot \frac{dx}{2} + \tau'_{xy} \cdot dy \cdot dz \cdot \frac{dx}{2} - \tau'_{yx} \cdot dx \cdot dz \cdot \frac{dy}{2} - \tau_{yx} \cdot dx \cdot dz \cdot \frac{dy}{2} = 0$$

και απλοποιώντας τις ευφραθείς για τις  $\tau'_{xy}$  και  $\tau'_{yx}$  ~

$$\tau_{xy} - \tau_{yx} + \frac{1}{2} \frac{\partial \tau_{xy}}{\partial x} \cdot dx - \frac{1}{2} \frac{\partial \tau_{yx}}{\partial y} \cdot dy = 0 \text{ παίρνοντας το όριο καθώς } dx, dy \rightarrow 0$$

~  $\tau_{xy} = \tau_{yx}$  παρόμοια οι δύο άλλες συνθήκες  $\sum M_y = 0$ ,  $\sum M_x = 0$  δίνουν:

$$\tau_{xz} = \tau_{zx} \text{ και } \tau_{yz} = \tau_{zy} \text{ δηλ. τα λιγότερα τάσης είναι αλληλεπίρροκα.}$$

Τα παραπάνω μπορεί να διατυπωθεί κάποιος αντά ως εξής:

Οι διατμητικές τάσεις που είναι καθετές στην ίδια ουσία του παρα/πλάσιου είναι ίσες και  $\vec{n}'$  και οι δύο καταδέχονται προς αυτών  $\vec{n}'$  και οι δύο ανήκουν στην  $\vec{n}'$ .

## 2.2 Εξισώσεις Ισορροπίας:

Συνθήκες μηδενισμού της συνισταμένης δύναμης του παρα/πλάσιου

$$\sum \underline{F} = \sum F_x \cdot \underline{i} + \sum F_y \cdot \underline{j} + \sum F_z \cdot \underline{k} = 0 \Rightarrow \sum F_x = 0, \sum F_y = 0, \sum F_z = 0.$$

$$\sum F_x = 0 \Rightarrow (\sigma'_x - \sigma_x) \cdot dy \cdot dz + (\tau'_{yx} - \tau_{yx}) \cdot dx \cdot dz + (\tau'_{zx} - \tau_{zx}) \cdot dx \cdot dy = 0 \Rightarrow$$

$$\Rightarrow \left. \begin{aligned} \frac{\partial \sigma_x}{\partial x} + \frac{\partial \tau_{yx}}{\partial y} + \frac{\partial \tau_{zx}}{\partial z} &= 0 \\ \frac{\partial \sigma_y}{\partial y} + \frac{\partial \tau_{xy}}{\partial x} + \frac{\partial \tau_{zy}}{\partial z} &= 0 \\ \frac{\partial \sigma_z}{\partial z} + \frac{\partial \tau_{xz}}{\partial x} + \frac{\partial \tau_{yz}}{\partial y} &= 0 \end{aligned} \right\} \begin{array}{l} \text{παρόμοια οι άλλες δύο} \Rightarrow \\ \text{Εξισώσεις ισορροπίας} \end{array}$$

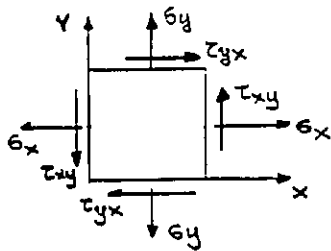
### 3. ΕΠΙΠΕΔΗ ΕΝΤΑΣΗ

Μια κατάσταση έντασης λέγεται επιπέδη όταν υπάρχει ένα επίπεδο πάνω στο οποίο οι ροπές και οι διατμητικές τάσεις μηδενίζονται.

π.χ αν το επίπεδο αυτό είναι κάθετο στον άξονα z θα έχουμε:

$\sigma_z = \tau_{xz} = \tau_{zx} = \tau_{yz} = \tau_{zy} = 0$ . Έτσι οι συνιστώσες που καθορίζουν την ένταση είναι μόνο οι  $\sigma_x$ ,  $\tau_{xy} = \tau_{yx}$  και η  $\sigma_y$ .

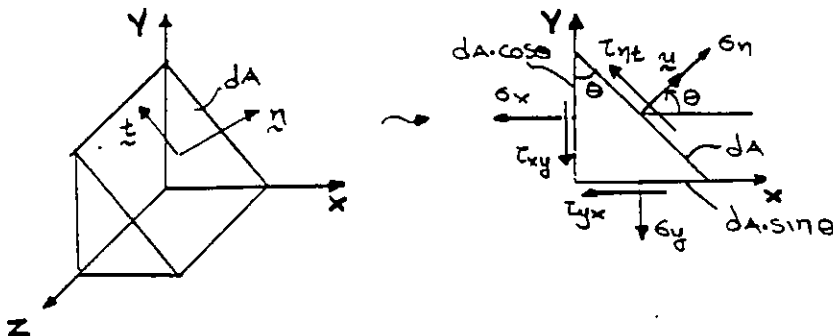
Μια τέτοια κατάσταση πραγματοποιείται σε οριζόντιες πλάκες που φορτίζονται με δυνάμεις που βρίσκονται στο ίδιο επίπεδο τους.



#### 3.1. Μετασχηματισμός Τάσεων - Κύριες Τάσεις (Επίπεδο πρόβλημα)

Το πρόβλημα που θα εξετάσουμε είναι το εξής: εαν γνωρίζουμε τις τάσεις  $\sigma_x$ ,  $\tau_{xy}$  σε ένα οριζόντιο, να προσδιορίσουμε τις  $\sigma_n$ ,  $\tau_{nt}$  σε ένα επίπεδο με κάθετο διανυσμα το  $\eta$ .

Απομοντώντας γύρω από το  $\eta$  ή  $\sigma_{\eta}$  οριζόντιο ένα ορθογώνιο πρίσμα του οποίου τέσσερις κοίτες εδρές είναι παράλληλες με τα οριζόντια επίπεδα  $x$  ή  $z$  η κλίση του έχει κάθετο διανυσμα το  $\eta$ . στις εδρές που είναι κάθετες στο άξονα z οι τάσεις είναι μηδενισμένες (επίπεδη ένταση):



$$\sum F_n = 0 \leadsto \sigma_n \cdot dA - \tau_{yx} \cdot dA \sin\theta \cdot \cos\theta - \tau_{xy} \cdot dA \cos\theta \cdot \sin\theta - \sigma_x \cdot dA \cdot \cos\theta \cdot \cos\theta - \sigma_y \cdot dA \cdot \sin\theta \cdot \sin\theta = 0 \leadsto$$

$$\leadsto \underline{\sigma_n = \sigma_x \cdot \cos^2\theta + \sigma_y \cdot \sin^2\theta + 2\tau_{xy} \cdot \sin\theta \cdot \cos\theta}$$

$$\sum F_t = 0 \leadsto \tau_{nt} \cdot dA - \tau_{xy} \cdot dA \cos\theta \cdot \cos\theta + \tau_{yx} \cdot dA \sin\theta \cdot \sin\theta + \sigma_x \cdot dA \cos\theta \cdot \sin\theta - \sigma_y \cdot dA \sin\theta \cdot \cos\theta = 0 \leadsto$$

$$\leadsto \underline{\tau_{nt} = -(\sigma_x - \sigma_y) \cdot \sin\theta \cdot \cos\theta + \tau_{xy} \cdot (\cos^2\theta - \sin^2\theta)}$$



οι παραπάνω σχέσεις γράφονται και:

$$\sigma_{\eta} = \frac{\sigma_x(1+\cos 2\theta)}{2} + \frac{\sigma_y(1-\cos 2\theta)}{2} + \tau_{xy} \cdot \sin 2\theta \quad \leadsto$$

$$\leadsto \sigma_{\eta} = \frac{\sigma_x + \sigma_y}{2} + \frac{\sigma_x - \sigma_y}{2} \cdot \cos 2\theta + \tau_{xy} \cdot \sin 2\theta \quad (1)$$

$$\text{και } \tau_{\eta t} = -\frac{\sigma_x - \sigma_y}{2} \cdot \sin 2\theta + \tau_{xy} \cdot \cos 2\theta. \quad (2)$$

### Κυρίες Τάσεις

Ζητάμε για ποιες γωνίες  $\theta$  ή άλλη τάση  $\sigma_{\eta}$  παίρνει ακραίες τιμές.

Παραγωγίζοντας την (1) ως προς  $\theta$  και εδίδωνοντας την παραγώγο με μηδέν  $\rightarrow$

$$\frac{d\sigma_{\eta}}{d\theta} = -(\sigma_x - \sigma_y) \cdot \sin 2\theta + 2\tau_{xy} \cdot \cos 2\theta = 0 \quad \leadsto \quad \tan 2\theta = \frac{2\tau_{xy}}{\sigma_x - \sigma_y} \quad (3)$$

Από αυτήν βρίσκουμε δύο τιμές της  $\theta$ , των  $\theta_p$  και  $\theta_p + \frac{\pi}{2}$ . Που αντιστοιχούν στην μέγιστη και ελάχιστη τιμή της  $\sigma_{\eta}$ . Οι δύο αυτές καότερες διευθύνσεις ορίζονται ως διευθύνσεις και οι αντιστοιχίες αυτές τάσεις κυρίες τάσεις.

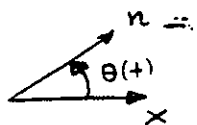
$$\text{από την (3)} \quad \leadsto \quad \cos 2\theta_p = \frac{\sigma_x - \sigma_y}{2} \cdot \frac{1}{\pm \sqrt{\left(\frac{\sigma_x - \sigma_y}{2}\right)^2 + \tau_{xy}^2}}, \quad \sin 2\theta_p = \frac{\tau_{xy}}{\pm \sqrt{\left(\frac{\sigma_x - \sigma_y}{2}\right)^2 + \tau_{xy}^2}}$$

Γι' αυτές τις τιμές των  $\cos 2\theta_p$ ,  $\sin 2\theta_p$  οι (1) και (2)  $\leadsto$

Κυρίες τάσεις:  $\sigma_{p_1}, \sigma_{p_2} = \frac{\sigma_x + \sigma_y}{2} \pm \sqrt{\left(\frac{\sigma_x - \sigma_y}{2}\right)^2 + \tau_{xy}^2}$  όπου  $\sigma_{p_1} = \max \sigma_{\eta}$  και  $\sigma_{p_2} = \min \sigma_{\eta}$   
 ενώ η (2)  $\leadsto \tau_{\eta t} = 0$  δηλ η διατμητική τάση μηδενίζεται στα επίπεδα των κυρίων τάσεων (κρυφα επίπεδα).

Παρατηρούμε ότι  $\sigma_{p_1} + \sigma_{p_2} = \sigma_x + \sigma_y = \sigma_{x'} + \sigma_{y'}$  όπου  $x', y'$  κάποιο άλλο ευσταθές άξονας  $\sigma_{\eta}$ . Το άθροισμα των αξόνων τάσεων του μήτρων τάσης είναι αναλλοίωτο μέγεθος.

Σημείωση: η γωνία  $\theta$  θεωρείται θετική όταν είναι αριστερόστροφη



Μεγίστη Διατμητική Τάση  $\tau_{nt}$ .

Παραγωγίζοντας την (2) ως προς  $\theta$  και εξισώνοντας την παραγώγο με μηδέν  $\leadsto$

$$\frac{d\tau_{nt}}{d\theta} = -(\sigma_x - \sigma_y) \cdot \cos 2\theta - 2\tau_{xy} \cdot \sin 2\theta \leadsto \tan 2\theta = -\frac{\sigma_x - \sigma_y}{2\tau_{xy}} \quad (4)$$

αντίσθου παίρνουμε τις γωνίες  $\theta_r$  και  $\theta_r + \frac{\pi}{2}$  όπου εμφανίζεται η μέγιστη και ελάχιστη (ίσες κατά ανάλυση τιμή) διατμητική τάση.  $\tau_p$

$$\text{από τις (3) \& (4) } \leadsto 0 = \tan 2\theta_r + \frac{1}{\tan 2\theta_p} = \frac{\cos 2(\theta_p - \theta_r)}{\sin 2\theta_p \cos 2\theta_r} \leadsto$$

$$\leadsto \theta_r = \theta_p \pm \frac{\pi}{4}$$

$$\text{γινώσκοντας τις γωνίες βρισκόμαστε } \tau_p = \pm \sqrt{\left(\frac{\sigma_x - \sigma_y}{2}\right)^2 + \tau_{xy}^2} = \pm \frac{(\sigma_{p1} - \sigma_{p2})}{2}$$

$$\text{και } \max \tau_{nt} = |\tau_p| = \frac{\sigma_{p1} - \sigma_{p2}}{2} \quad (\text{μέγιστη διατμητική τάση στο επίπεδο}).$$

Παρατήρηση: η γωνία μεταξύ ευρίων επιπέδων και επιπέδου μέγιστης κυρία τάσης είναι  $\pm \frac{\pi}{4}$ .

### 3.2 Κύκλος του Mohr.

ο κύκλος του Mohr είναι μια γραφική μέθοδος προσδιορισμού των κυρίων τάσεων και διευθύνσεων καδών και των συνιστωσών  $\sigma_n$ ,  $\tau_{nt}$  της τάσης σε τμήν με κάθετο μοναδιαίο διανυσμα  $\sigma_n$ , όταν γνωρίζουμε τις  $\sigma_x$ , και  $\tau_{xy}$ .

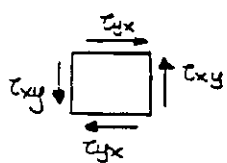
Είδατε ότι ισχύουν οι σχέσεις:

$$\left. \begin{aligned} \sigma_n &= \frac{\sigma_x + \sigma_y}{2} + \frac{\sigma_x - \sigma_y}{2} \cdot \cos 2\theta + \tau_{xy} \cdot \sin 2\theta \\ \tau_{nt} &= -\frac{\sigma_x - \sigma_y}{2} \cdot \sin 2\theta + \tau_{xy} \cdot \cos 2\theta \end{aligned} \right\} \leadsto$$

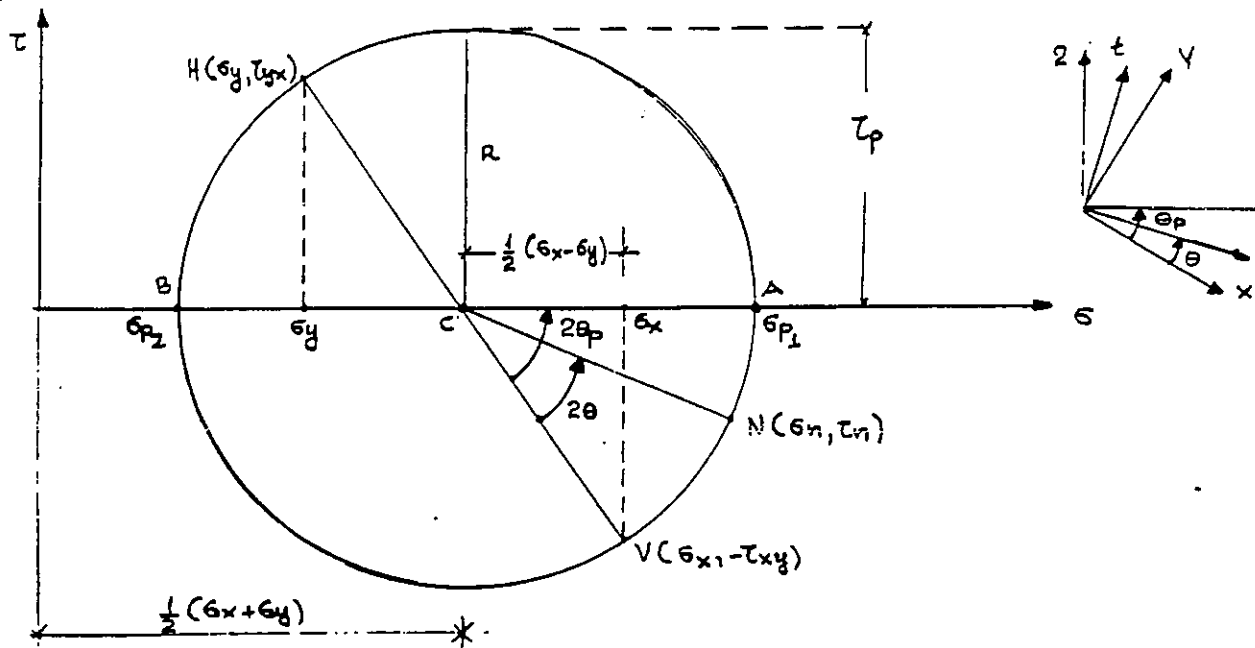
$$\leadsto \left( \sigma_n - \frac{\sigma_x + \sigma_y}{2} \right)^2 + \tau_{nt}^2 = \left( \frac{\sigma_x - \sigma_y}{2} \right)^2 + \tau_{xy}^2 = R^2.$$

Ετσι αν θεωρήσουμε στο επίπεδο  $(\sigma, \tau)$  τα σημεία με συντεταγμένες  $\sigma_H, \tau_H$  αυτά θα βρίσκονται στον κύκλο με κέντρο το σημείο  $C(\frac{\sigma_x + \sigma_y}{2}, 0)$  και ακτίνα  $R = \sqrt{(\frac{\sigma_x - \sigma_y}{2})^2 + \tau_{xy}^2}$ . Ο κύκλος αυτός είναι ο κύκλος του Mohr.

Για την κατασκευή του κύκλου του Mohr γίνεται η εξής παραδοχή προσυμμετρίας για τις διατμητικές τάσεις: είναι θετικές όταν δίνουν δεξιόστροφο ζεύγος  $\curvearrowright$  και αρνητικές όταν δίνουν αριστερόστροφο  $\curvearrowleft$ :



Όταν η  $\tau_{xy}$  είναι θετική με την συνήθη σύμβαση θα είναι ασυμμετρικά στο κύκλο του Mohr. Ενώ η  $\tau_{yx}$  ακολουθεί την συνήθη σύμβαση.



Η διαδικασία κατασκευής του κύκλου του Mohr είναι η εξής: στο επίπεδο  $(\sigma, \tau)$  τοποθετούμε τα σημεία  $V(\sigma_x, -\tau_{xy})$ ,  $H(\sigma_y, \tau_{xy})$ . με κέντρο το  $C(\frac{\sigma_x + \sigma_y}{2}, 0)$  και αυτιά  $CH = CV$  γράφουμε τον κύκλο. αυτός τέμνει τον άξονα  $\sigma$  στις κυρίες τάσεις  $\sigma_{p1}, \sigma_{p2}$ . από την γεωμετρία οκύπτει βέβαια ότι  $\tan(\widehat{CV}, CA) = \frac{2\tau_{xy}}{\sigma_x - \sigma_y} \Rightarrow (\widehat{CV}, CA) = 2\theta_p$ . επίσης  $\max \tau = \tau_p$  η ακτίνα  $CV$  αντιστοιχεί στον άξονα  $x$  και γωνία ή  $CN$  όπου  $N(\sigma_n, \tau_n)$  αντιστοιχεί στον άξονα  $n$ . και  $(\widehat{CV}, CN) = 2\theta$  όπου  $\theta = (\widehat{x}, n)$ . Επομένως αν θέλουμε να βρούμε τις  $\sigma_n, \tau_n$  για κάποια  $\theta$  φέρουμε την  $CN$  ώστε  $(\widehat{CV}, CN) = 2\theta$ , τότε οι συντεταγμένες του  $N$  θα είναι ή  $\sigma_n$  και  $\tau_n$ .

Παραδείγματα

- Για μια επίπεδη ελαστική καταπόνηση δίνονται:  
 Ζητούνται οι κύριες τάξεις  $\sigma_1, \sigma_2$  και η  
 γωνία κύριας διεύθυνσης  $\theta_p$

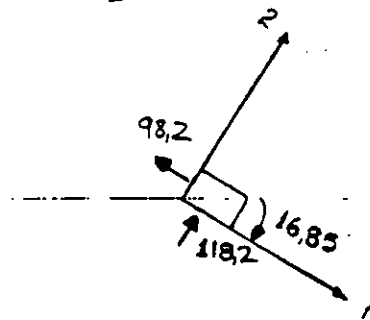
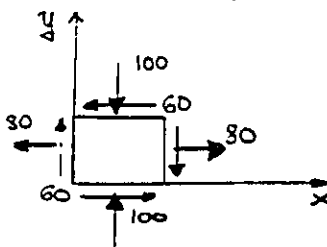
$$\begin{aligned}\sigma_x &= 80 \text{ MPa} \\ \sigma_y &= -100 \text{ MPa} \\ \tau_{xy} &= -60 \text{ MPa}\end{aligned}$$

$$\sigma_{1,2} = \frac{80 - 100}{2} \pm \sqrt{\left(\frac{80 + 100}{2}\right)^2 + (-60)^2} \Rightarrow$$

$$\Rightarrow \sigma_1 = 98,2 \text{ MPa}$$

$$\sigma_2 = -118,2 \text{ MPa}$$

$$\theta_p = \frac{1}{2} \arctan \frac{2 \cdot (-60)}{80 + 100} = -16,85^\circ$$



- Δίνονται  $\sigma_x = 20 \text{ MPa}$ ,  $\sigma_y = -80 \text{ MPa}$ ,  $\sigma_1 = 100 \text{ MPa}$ .  
 Ζητούνται  $\tau_{xy}$ ,  $\theta_p$ .

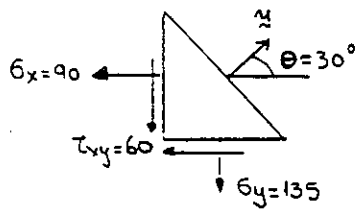
$$\text{είναι } \sigma_1 = \frac{\sigma_x + \sigma_y}{2} + \sqrt{\left(\frac{\sigma_x - \sigma_y}{2}\right)^2 + \tau_{xy}^2} \approx$$

$$\approx 100 = \frac{20 - 80}{2} + \sqrt{\left(\frac{20 + 80}{2}\right)^2 + \tau_{xy}^2} \approx$$

$$\Rightarrow \tau_{xy} = \pm 120 \text{ MPa}$$

$$\Rightarrow \theta_p = \frac{1}{2} \arctan \frac{2(\pm 120)}{20 + 80} = \pm 33,7^\circ$$

■ Δίνεται η επίπεδη ευατική κατανομή του σχήματος. να βρεθούν οι τάσεις στην τομή με καθετό διανυσμα το  $\eta$ , καθώς και οι κυρίες τάσεις. Να γίνει ο κύκλος του Mohr.



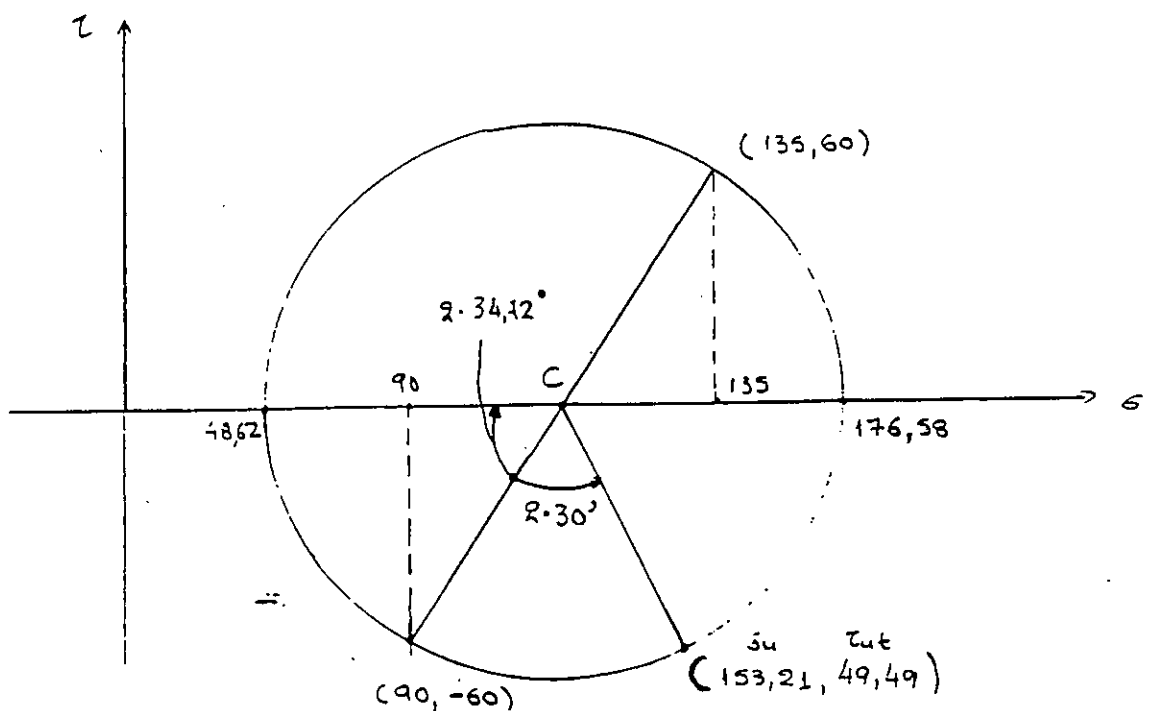
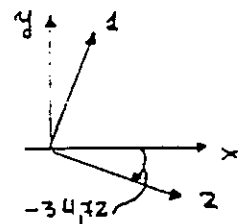
$$\sigma_{\eta} = \frac{\sigma_x + \sigma_y}{2} + \frac{\sigma_x - \sigma_y}{2} \cdot \cos 2\theta + \tau_{xy} \cdot \sin 2\theta = \frac{90 + 135}{2} + \frac{90 - 135}{2} \cdot \cos 60 + 60 \cdot \sin 60 = 153,21$$

$$\tau_{\eta t} = -\frac{\sigma_x - \sigma_y}{2} \cdot \sin 2\theta + \tau_{xy} \cdot \cos 2\theta = -\frac{90 - 135}{2} \cdot \sin 60 + 60 \cdot \cos 60 = 49,49$$

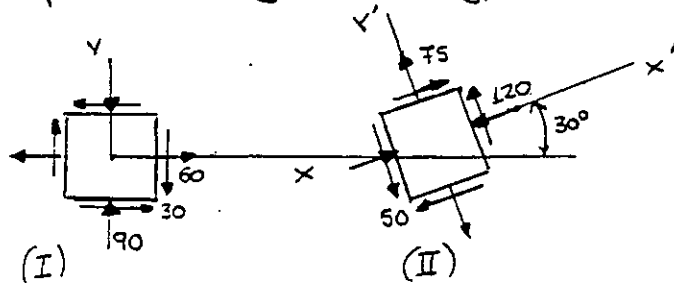
$$\sigma_{p_1, p_2} = \frac{\sigma_x + \sigma_y}{2} \pm \sqrt{\left(\frac{\sigma_x - \sigma_y}{2}\right)^2 + \tau_{xy}^2} = \frac{90 + 135}{2} \pm \sqrt{\left(\frac{90 - 135}{2}\right)^2 + 60^2}$$

$$\Rightarrow \sigma_{p_1} = 176,58 \quad , \quad \sigma_{p_2} = 48,62$$

$$\tan 2\theta_p = \frac{2\tau_{xy}}{\sigma_x - \sigma_y} = \frac{2 \cdot 60}{90 - 135} \approx \theta_p = -34,72^\circ$$



- Να βρεθεί η εστιακή κατάσταση που θα προκύψει από την επαλληλία των δύο εντατικών καταστάσεων I και II για τους προσανατολισμούς των αξόνων x, στη συνέχεια να βρεθούν οι κύριες τάσεις  $\sigma_1$  και  $\sigma_2$  και ο προσανατολισμός τα παραπάνω να χιούν και γραφικώς.



Για να κάνουμε την επαλληλία των I) και II) μετασχηματίζουμε την (II) στο ευσιμα  $x'y'$  που προκύπτει από το  $x'y'$  με στροφή  $\theta = -30^\circ$  :

$$\begin{aligned}\sigma_x^{\text{II}} &= \sigma_{x'}^{\text{II}} \cdot \cos^2\theta + \sigma_{y'}^{\text{II}} \cdot \sin^2\theta + 2\tau_{x'y'}^{\text{II}} \cdot \sin\theta \cdot \cos\theta \\ \sigma_y^{\text{II}} &= \sigma_{y'}^{\text{II}} \cdot \cos^2\theta + \sigma_{x'}^{\text{II}} \cdot \sin^2\theta - 2\tau_{x'y'}^{\text{II}} \cdot \sin\theta \cdot \cos\theta \\ \tau_{xy}^{\text{II}} &= -\frac{\sigma_{x'}^{\text{II}} - \sigma_{y'}^{\text{II}}}{2} \cdot \sin 2\theta + \tau_{x'y'}^{\text{II}} \cdot \cos 2\theta\end{aligned}$$

$$\rightarrow \sigma_x^{\text{II}} = -120 \cos^2(-30) + 75 \cdot \sin^2(-30) + 2 \cdot 50 \cdot \sin(-30) \cdot \cos(-30) = -114,55$$

$$\sigma_y^{\text{II}} = 75 \cdot \cos^2(-30) - 120 \cdot \sin^2(-30) - 2 \cdot 50 \cdot \sin(-30) \cdot \cos(-30) = 69,55$$

$$\tau_{xy}^{\text{II}} = -\frac{-120 - 75}{2} \cdot \sin(-60) + 50 \cdot \cos(-60) = -59,45$$

επαλληλία (I), (II)  $\rightarrow \sigma_x = \sigma_x^{\text{I}} + \sigma_x^{\text{II}} = 60 - 114,55 = -54,55$

$$\sigma_y = \sigma_y^{\text{I}} + \sigma_y^{\text{II}} = -90 + 69,55 = -20,45$$

$$\tau_{xy} = \tau_{xy}^{\text{I}} + \tau_{xy}^{\text{II}} = -30 - 59,45 = -89,45$$

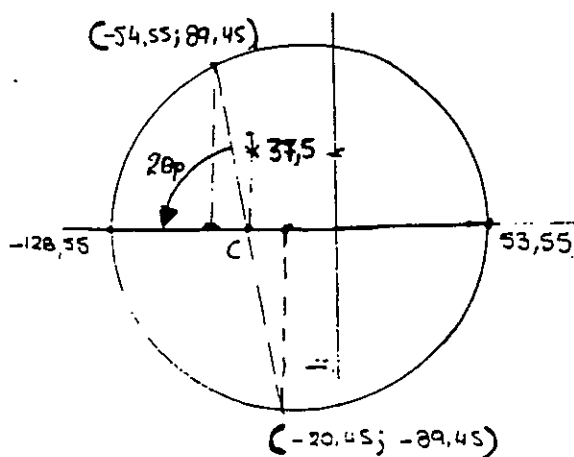
Κύριες τάσεις:

$$\sigma_{P_1, P_2} = \frac{-54,55 - 20,45}{2} \pm \sqrt{\left(\frac{-54,55 + 20,45}{2}\right)^2 + (-89,45)^2} \rightarrow \sigma_{P_1} = 53,55$$

$$\sigma_{P_2} = -128,55$$

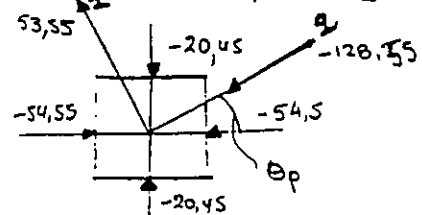
γωνία κύριων αξόνων :

$$\tan 2\theta_p = \frac{-2 \cdot 89,45}{-54,55 + 20,45} = 5,245$$



$$C = \frac{-54,55 - 20,45}{2} = -37,5$$

$$R = \sqrt{\left(\frac{-54,55 + 20,45}{2}\right)^2 + 89,45^2}$$



#### 4. ΠΑΡΑΜΟΡΦΩΣΗ

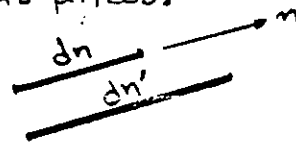
Τα υλικά σημεία ενός σώματος με την επίδραση εξωτερικών δυνάμεων μετατοπίζονται. Αυτό έχει γενικά σαν αποτέλεσμα την αλλαγή της θέσης (μετακίνηση) και της μορφής (παραμόρφωση) του σώματος.

Παραμόρφωση σημαίνει μεταβολή του μήκους των υλικών ινών ( $dn$ , ινών που αποτελούνται από υλικά στοιχεία του σώματος) είτε μεταβολή των γωνιών τους για να έχουμε ένα μέτρο της παραμόρφωσης ορίζουμε:

την αξονική παραμόρφωση  $\epsilon_n$

μιας απείροστου υλικής ινας που έχει την κατεύθυνση  $\underline{n}$ , σαν το ηθικό της μεβολής του μήκους της προς το αρχικό της μήκος:

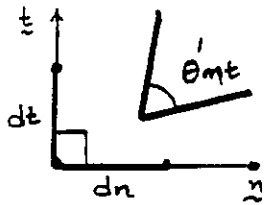
$\rightarrow$  το  $\epsilon_n$  είναι αδιάστατο μέγεθος (μήκος/μήκος)



$$\epsilon_n = \frac{dn' - dn}{dn} \rightarrow dn' = (1 + \epsilon_n) \cdot dn$$

και την διατμητική παραμόρφωση  $\gamma_{nt}$ :

σαν την μεταβολή της αρχικά ορθής γωνίας δύο απείροστων υλικών ινών που είχαν τις κατευθύνσεις  $\underline{n}$  και  $\underline{t}$  ( $\underline{n} \perp \underline{t}$ ):



$$\gamma_{nt} = \frac{\pi}{2} - \theta'_{nt} \quad (\text{οι γωνίες σε ακτίνια}).$$

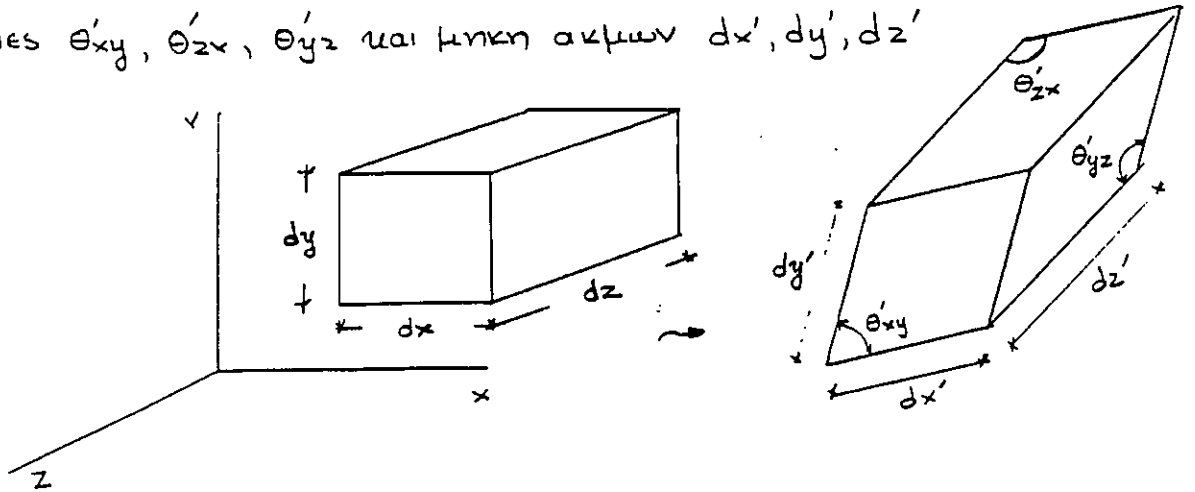
Παραβολή προσήμων:  $\epsilon_n$  θετικό για επιμήκυνση της ινας

$\gamma_{nt}$  θετικό για ελάττωση της αρχικής γωνίας ( $\theta'_{nt} < \frac{\pi}{2}$ )

#### 4.1 Έννοια Παραμόρφωσης σε Σημείο.

Γύρω από ένα σημείο  $P$  θεωρούμε πριν την παραμόρφωση ένα απείροστο ορθόγωνο παραλληlepipedo με αυτές παραλλήλεδες με τους άξονες  $x, y, z$  ενός καρτεσιανού συστήματος και μήκη ακμών  $dx, dy, dz$ .

Μετά την παραμόρφωση το ορθόγωνο παραλληlepipedo γίνεται ένα ηθαιογώνιο γωνίες  $\theta'_{xy}, \theta'_{yz}, \theta'_{zx}$  και μήκη ακμών  $dx', dy', dz'$ .



Για να περιγράψουμε την παραμόρφωση στην γειτονία του σημείου  $P$  ορίζουμε το τριώνιο παραμόρφωσης:

$$\begin{pmatrix} \epsilon_x & \epsilon_{xy} & \epsilon_{xz} \\ \epsilon_{yx} & \epsilon_y & \epsilon_{yz} \\ \epsilon_{zx} & \epsilon_{zy} & \epsilon_z \end{pmatrix}$$

τα στοιχεία του οποίου ορίζονται ως εξής: τα διαγωνια στοιχεία είναι οι άξονια παραμορφώσεις των ισών  $dx, dy, dz$  αντίστοιχα και τα διαγωνια το μίσο των διαγωνίων τους παραμορφώσεων, δηλ.  $\epsilon_x = \frac{dx' - dx}{dx} \rightarrow dx' = (1 + \epsilon_x)dx$  και αναλόγα ορίζονται  $\epsilon_y, \epsilon_z$ ,  $2\epsilon_{xy} = \delta_{xy} = \frac{\pi}{2} - \theta'_{xy}$  και αναλόγα για τα άλλα στοιχεία.  $\rightarrow$  το μήτρωο παραμορφώσεων είναι συμμετρικό δηλ.  $\epsilon_{xy} = \epsilon_{yx}, \epsilon_{xz} = \epsilon_{zx}, \epsilon_{yz} = \epsilon_{zy}$  αποδεικνύεται ότι το μήτρωο αυτό περιγράφει ηθωρως την παραμόρφωση στην γειτονία του  $P$ . Δεν αν χωρίζουμε τα στοιχεία του αναφορικά με ένα ευθύ άξονα, μπορούμε να υπολογίσουμε την άξονια παραμόρφωση κάθε απείροστου που πέρνει από το  $P$ : όπως επίσης και τη μεταβολή της γωνίας δύο ισών ηθίων πέρνων από το σημείο αυτό.



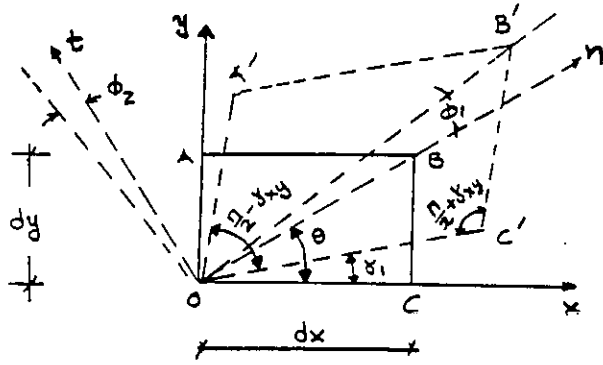
4.2 Επίπεδη Παραμόρφωση.

Επίπεδη παραμόρφωση στο επίπεδο  $xy$  θεωρείται ευείνη που:

$$\epsilon_z = \epsilon_{xz} = \epsilon_{zx} = \epsilon_{yz} = \epsilon_{zy} = 0$$

ας εξετάσουμε το εξής πρόβλημα:

Εάν γνωρίζουμε τα  $\epsilon_x, \epsilon_{xy}, \epsilon_y$  να προσδιορίσουμε τα  $\epsilon_n$ ,  $\epsilon_t$  αναφορικά με ένα νέο σύστημα αξόνων  $n, t$  στραμμένο κατά γωνία  $\theta$  σε σχέση με το  $xy$



$$\delta_{xy} = 2\epsilon_{xy}$$

$$\gamma_{nt} = 2\epsilon_{nt}$$

θεωρούμε το ορθόγωνιο  $OACB$  με πλευρές  $dx, dy$  ώστε η διαγώνιος του  $OB = dn$  να είναι κατεύθυνση  $n$ . Το ορθόγωνιο αυτό παραμορφώνεται στο παρα/πινεδο  $O'A'B'C'$  με πλευρές  $O'C' = (1 + \epsilon_x) \cdot dx$ ,  $B'C' = (1 + \epsilon_y) \cdot dy$  ενώ η  $OB$  γίνεται  $O'B' = (1 + \epsilon_n) \cdot dn$  από τον νόμο των συνημιτόνων θα έχουμε:

$$(O'B')^2 = (O'C')^2 + C'B')^2 - 2(O'C') \cdot (C'B') \cdot \cos(\frac{\pi}{2} + \delta_{xy})$$

αντιμεταδίδοντας με τις προαναφερθείσες και χρησιμοποιώντας τις σχέσεις  $dx = dn \cdot \cos\theta$ ,  $dy = dn \cdot \sin\theta$

$$(1 + \epsilon_n)^2 \cdot (dn)^2 = (1 + \epsilon_x)^2 \cdot (dn \cdot \cos\theta)^2 + (1 + \epsilon_y)^2 \cdot (dn \cdot \sin\theta)^2 - 2 \cdot (dn)^2 \cdot \sin\theta \cdot \cos\theta \cdot (1 + \epsilon_x) \cdot (1 + \epsilon_y) \cdot \sin\delta_{xy}$$

Εάν περιοριστούμε σε μικρές παραμορφώσεις τότε  $\epsilon^2 \ll \epsilon$ ,  $\sin\gamma \approx \gamma \Rightarrow$

$$1 + 2\epsilon_n = (1 + 2\epsilon_x) \cos^2\theta + (1 + 2\epsilon_y) \sin^2\theta + 2\delta_{xy} \cdot \sin\theta \cdot \cos\theta \Rightarrow$$

$$\epsilon_n = \epsilon_x \cdot \cos^2\theta + \epsilon_y \cdot \sin^2\theta + \delta_{xy} \cdot \sin\theta \cdot \cos\theta \quad \epsilon_t = \frac{\epsilon_x + \epsilon_y}{2} + \frac{\epsilon_x - \epsilon_y}{2} \cdot \cos 2\theta + \epsilon_{xy} \cdot \sin 2\theta$$

Επίσης  $\frac{(1 + \epsilon_n) \cdot dn}{\sin(\frac{\pi}{2} + \delta_{xy})} = \frac{(1 + \epsilon_y) \cdot dy}{\sin(\theta + \phi_1 - \delta_1)}$  (νόμος ημίτωνων).

Άρα  $\frac{(1 + \epsilon_y) \cdot dy}{(1 + \epsilon_n) \cdot dn} \approx (1 + \epsilon_y - \epsilon_n) \cdot \sin\theta$  (για μικρές παραμορφώσεις).

και για τον ιδιο λογο  $\frac{\sin(\theta + \phi_1 - \gamma_1)}{\sin(\frac{\pi}{2} + \gamma_{xy})} \approx \sin\theta + (\phi_1 - \gamma_1) \cdot \cos\theta$

$$\Rightarrow (\epsilon_y - \epsilon_x) \cdot \sin\theta = (\phi_1 - \gamma_1) \cdot \cos\theta.$$

και  $\phi_1 = -(\epsilon_x - \epsilon_y) \cdot \sin\theta \cos\theta - \gamma_{xy} \cdot \sin^2\theta + \gamma_L$

$\phi_2 = (\epsilon_x - \epsilon_y) \cdot \sin\theta \cos\theta - \gamma_{xy} \cdot \cos^2\theta + \gamma_L$  (προκύπτει απο τον τυπο του  $\phi_1$  για  $\theta + \frac{\pi}{2}$ )

$$\gamma_{nt} = \phi_1 - \phi_2 \Rightarrow \gamma_{nt} = -2(\epsilon_x - \epsilon_y) \cdot \sin\theta \cdot \cos\theta + \gamma_{xy} (\cos^2\theta - \sin^2\theta)$$

$$\Rightarrow \gamma_{nt} = -(\epsilon_x - \epsilon_y) \cdot \sin 2\theta + \gamma_{xy} \cdot \cos 2\theta$$

$$\kappa \quad \epsilon_{nt} = -\frac{\epsilon_x - \epsilon_y}{2} \cdot \sin 2\theta + \epsilon_{xy} \cdot \cos 2\theta.$$

Ενδ οι ιδιοι τυποι μετασχηματισμου που ισχυουν μεταξυ των  $\epsilon_u, \tau_{nt}$  και  $\epsilon_x, \epsilon_y, \tau_{xy}$ .

Ετσι θα ισχυουν αναλογα οι τυποι για των  $\gamma$  για των κυριων αξωνων:

$$\tan 2\theta_p = \frac{2\epsilon_{xy}}{\epsilon_x - \epsilon_y}$$

και τις κυριες παραμορφωσεις:  $\epsilon_{p_1, p_2} = \frac{\epsilon_x + \epsilon_y}{2} \pm \sqrt{\left(\frac{\epsilon_x - \epsilon_y}{2}\right)^2 + \epsilon_{xy}^2}$

Επισης εντεως αναλογα ισχυουν για τον κυκλο του MOHR για τις παραμορφωσεις, ο οποιος θα εχει κεντρο το σημειο  $C\left(\frac{\epsilon_x + \epsilon_y}{2}, 0\right)$  και αυτινα  $R$

$$R = \sqrt{\left(\frac{\epsilon_x - \epsilon_y}{2}\right)^2 + \epsilon_{xy}^2} \quad \text{στο ενινηδο } (\epsilon_m, \epsilon_{nt})$$

## 5. ΣΧΕΣΕΙΣ ΤΑΣΗΣ- ΠΑΡΑΜΟΡΦΩΣΗΣ / ΝΟΜΟΣ ΤΩ ΗΟΟΚΕ

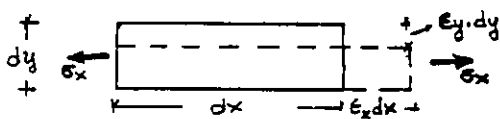
Οι σχέσεις τάσεων παραμορφώσεων ονομάζονται **καταστατικές εξισώσεις** και εξο-  
τυπώνται από το υλικό. Για γραμμικά ελαστικά υλικά ισχύει ο νόμος του Ηooke:

$$\sigma_x = \frac{E}{(1+\nu)(1-2\nu)} \cdot [(1-\nu) \cdot \epsilon_x + \nu(\epsilon_y + \epsilon_z)] \quad , \quad \tau_{xy} = G \cdot \gamma_{xy} = 2G \epsilon_{xy} = \frac{E}{1+\nu} \cdot \epsilon_{xy}$$

$$\sigma_y = \frac{E}{(1+\nu)(1-2\nu)} \cdot [(1-\nu) \cdot \epsilon_y + \nu(\epsilon_z + \epsilon_x)] \quad , \quad \tau_{yz} = G \gamma_{yz} = 2G \epsilon_{yz} = \frac{E}{1+\nu} \cdot \epsilon_{yz}$$

$$\sigma_z = \frac{E}{(1+\nu)(1-2\nu)} \cdot [(1-\nu) \cdot \epsilon_z + \nu(\epsilon_x + \epsilon_y)] \quad , \quad \tau_{zx} = G \gamma_{zx} = 2G \epsilon_{zx} = \frac{E}{1+\nu} \cdot \epsilon_{zx}$$

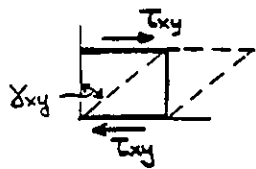
όπου  $E, \nu, G$  είναι οι ελαστικές σταθερές του υλικού ή ευλαβία των οποίων γίνε-  
ται στα παραδείγματα αόλης έντασης:



Μέτρο ελαστικότητας (ή Μέτρο Young)  $E = \frac{\sigma_x}{\epsilon_x}$  ( $N/m^2$ )

Ποσός Poisson  $\nu$ :  $\epsilon_y = -\nu \cdot \epsilon_x = -\frac{\nu}{E} \cdot \sigma_x$

και είναι  $0 < \nu \leq \frac{1}{2}$



Μέτρο στρέψης  $G$ :  $\gamma_{xy} = \frac{\tau_{xy}}{G}$  ,  $G$  ( $N/m^2$ ).

Οι αντίστροφες σχέσεις που δίνουν τις παραμορφώσεις συναρτήσει των τάσεων είναι:

$$\epsilon_x = \frac{1}{E} \cdot [\sigma_x - \nu(\sigma_y + \sigma_z)] \quad , \quad \epsilon_{xy} = \frac{1}{2G} \cdot \tau_{xy}$$

$$\epsilon_y = \frac{1}{E} \cdot [\sigma_y - \nu(\sigma_x + \sigma_z)] \quad , \quad \epsilon_{yz} = \frac{1}{2G} \cdot \tau_{yz}$$

$$\epsilon_z = \frac{1}{E} \cdot [\sigma_z - \nu(\sigma_x + \sigma_y)] \quad , \quad \epsilon_{zx} = \frac{1}{2G} \cdot \tau_{zx}$$

Για επίπεδη ένταση ή παραμόρφωση ισχύουν οι παραπάνω τύποι με  $\sigma_z = 0$  ή  $\epsilon_z = 0$  αντί-  
στοιχα, δηλ.

Επίπεδη Ένταση:  $\sigma_z = 0$

$$\sigma_x = \frac{E}{1-\nu^2} (\epsilon_x - \nu \epsilon_y)$$

$$\sigma_y = \frac{E}{1-\nu^2} (\epsilon_y - \nu \epsilon_x)$$

$$\sigma_z = -\frac{\nu}{E} (\sigma_x + \sigma_y)$$

Επίπεδη Παραμόρφωση:  $\epsilon_z = 0$

$$\sigma_x = \frac{E}{1-\nu^2} \cdot (\epsilon_x + \nu \epsilon_y)$$

$$\sigma_y = \frac{E}{1-\nu^2} \cdot (\epsilon_y + \nu \epsilon_x)$$

$$\sigma_z = \nu (\sigma_x + \sigma_y)$$

Παραδείγματα.

■ Για μια κατάσταση επιπέδης παραμόρφωσης δίνονται:

$$\epsilon_x = 1000 \mu, \quad \text{Ζητούνται οι κυρίες παραμορφώσεις } \epsilon_{P_1}, \epsilon_{P_2}$$

$$\epsilon_y = -800 \mu \quad \text{και η γωνία κυρίας διεύθυνσης } \theta_p.$$

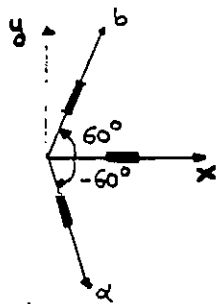
$$\gamma_{xy} = -800 \mu$$

$$\leadsto \epsilon_{xy} = -\frac{800}{2} = -400 \leadsto \epsilon_{P_1, P_2} = \frac{1000 - 800}{2} \pm \sqrt{\left(\frac{1000 + 800}{2}\right)^2 + (-400)^2} = 100 \pm 985$$

$$\leadsto \epsilon_{P_1} = 100 + 985 = 1085 \mu, \quad \epsilon_{P_2} = 100 - 985 = -885 \mu.$$

$$\text{και } \theta_p = \frac{1}{2} \tan^{-1} \frac{-800}{1000 + 800} = -11,98^\circ$$

■ Με τρία επιπικνωσιοκείμενα μετρήσατε τις αξονικές παραμορφώσεις δ' ένα επίπεδο, επί καταστάσεως  $x$ ,  $\alpha$ , και  $b$  όπως φαίνεται στο σχήμα. βρέθηκαν  $\epsilon_x = 2000 \mu$ ,  $\epsilon_a = 150 \mu$ ,  $\epsilon_b = -1300 \mu$ . Ζητούνται οι κυρίες παραμορφώσεις  $\epsilon_{P_1}, \epsilon_{P_2}$  στο επίπεδο αυτό.



για να βρούμε τις κυρίες παραμορφώσεις υπολογίστε πρώτα τα  $\epsilon_y$  και  $\epsilon_{xy}$ .

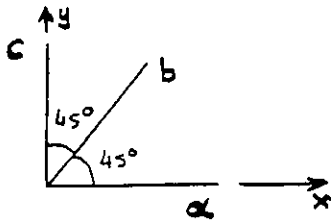
από τους τύπους μετασχηματισμού των παραμορφώσεων θα είναι:

$$\left. \begin{aligned} -1300 &= 2000 \cdot \cos^2 60 + \epsilon_y \cdot \sin^2 60 + \epsilon_{xy} \cdot \sin 120 \\ 150 &= 2000 \cdot \cos^2 (-60) + \epsilon_y \cdot \sin^2 (-60) + \epsilon_{xy} \cdot \sin (-120) \end{aligned} \right\} \leadsto$$

$$\leadsto \epsilon_y = -533 \mu, \quad \epsilon_{xy} = -1667 \mu.$$

$$\text{και } \epsilon_{P_1, P_2} = \frac{2000 - 533}{2} \pm \sqrt{\left(\frac{2000 + 533}{2}\right)^2 + (-1667)^2} \leadsto \epsilon_{P_1} = 9788 \mu, \quad \epsilon_{P_2} = -1320 \mu$$

- Σ' ένα επίπεδο ενός δίσκου μετρήθηκαν οι επιμηκυνσεις στις διευθύνσεις  $\alpha, b, c$  και βρέθηκαν  $\epsilon_\alpha = 2 \cdot 10^{-4}$ ,  $\epsilon_b = 3,5 \cdot 10^{-4}$ ,  $\epsilon_c = 8 \cdot 10^{-4}$ .  
να κατασκευαστεί ο κύκλος των Mohr της παραμόρφωσης στο επίπεδο αυτό.



Παίρνουμε σαν άξονες  $x, y$  του  $a$  και  $c$  αντίστοιχα

$$\rightarrow \epsilon_b = \epsilon_x \cdot \cos^2 45^\circ + \epsilon_y \cdot \sin^2 45^\circ + \epsilon_{xy} \cdot \sin 90^\circ$$

$$\rightarrow 3,5 \cdot 10^{-4} = 2 \cdot 10^{-4} \cdot \cos^2 45^\circ + 8 \cdot 10^{-4} \cdot \sin^2 45^\circ + \epsilon_{xy} \cdot \sin 90^\circ \approx$$

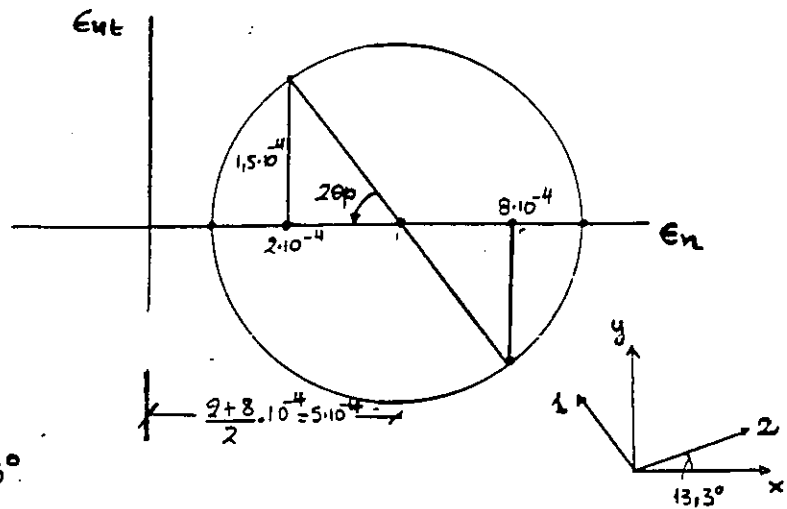
$$\rightarrow \epsilon_{xy} = -1,5 \cdot 10^{-4}$$

$$R = \sqrt{\left(\frac{2-8}{2}\right)^2 + 1,5^2 \cdot 10^{-4}} = 3,35 \cdot 10^{-4}$$

$$\epsilon_{p_2} = (5 - 3,35) \cdot 10^{-4} = 1,65 \cdot 10^{-4}$$

$$\epsilon_{p_1} = (5 + 3,35) \cdot 10^{-4} = 8,35 \cdot 10^{-4}$$

$$2\theta_p = \tan^{-1} \frac{1,5}{5-2} \Rightarrow \theta_p = 13,3^\circ$$



- Δίνεται η επιπεδη κατάσταση παραμόρφωσης:  $\epsilon_x = 2000 \mu$ ,  $\epsilon_y = -533 \mu$ ,  $\epsilon_{xy} = -166$

Γίνονται οι κυρίες τάσεις.  $\epsilon_{p_1}, \epsilon_{p_2}$ ,  $E = 70 \text{ GPa}$ ,  $\nu = 0,33$ .

$$\text{κυρίες παραμορφώσεις: } \epsilon_{p_1, p_2} = \frac{2000 - 533}{2} \pm \sqrt{\left(\frac{2000 + 533}{2}\right)^2 + (-166)^2}$$

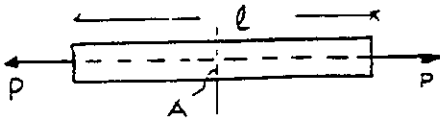
$$\rightarrow \epsilon_{p_1} = 2788 \mu, \quad \epsilon_{p_2} = -1320 \mu.$$

$$\text{άπο τον νόμο της Hooke } \rightarrow \sigma_{p_1} = \frac{70 \cdot 10^9}{1 - 0,33^2} [2788 + 0,33(-1320)] \cdot 10^{-6} = 184,8 \cdot 10^6 \frac{\text{N}}{\text{m}^2} = 184$$

$$\sigma_{p_2} = \frac{70 \cdot 10^9}{1 - 0,33^2} [-1320 + 0,33(2788)] \cdot 10^{-6} = -31,4 \cdot 10^6 \frac{\text{N}}{\text{m}^2} = -31,4$$

## 6. ΑΞΟΝΙΚΗ ΕΝΤΑΣΗ

Εμφανίζεται στην περίπτωση λεπτών ραβδών που φορτίζονται με δυνάμεις κατά των διευθύνων του άξονα τους. (π.χ ραβδοί διευτυλωκίως).



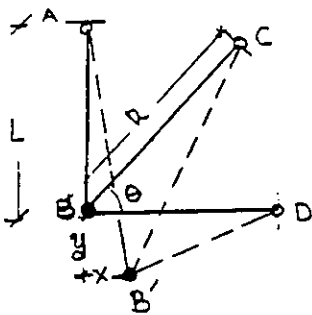
στην περίπτωση αυτή δεχόμαστε ολοκληρωμένη κατάσταση των τάσεων σε μια διατομή της ραβδού  $\rightarrow \sigma = \frac{P}{A}$  στον A το εμβαδό της διατομής.

Επομένως  $\epsilon = \frac{\sigma}{E} = \frac{P}{A \cdot E}$ , αλλά  $\epsilon = \frac{\delta l}{l} \rightarrow \delta l = \frac{P \cdot l}{EA}$

### 6.1 Υπερστατικά Συστήματα σε Αξονική Ένταση.

ένα σύστημα λέγεται ισοστατικό όταν για του προσδιορισμό των αγνωστών <sup>αρκούν</sup> οι εξισώσεις ισορροπίας. Όταν όμως οι αγνώστοι είναι περισσότεροι το σύστημα λέγεται υπερστατικό και τότε για τον υπολογισμό των αγνωστών χρειάζεται παρυσία υπόσχυμας και τις παραμορφώσεις του συστήματος. οι προσδότες συνθήκες προκύπτουν από την απαίτηση οι παραμορφώσεις να είναι τέτοιες ώστε να μην καταρρέει η συνέχεια του συστήματος, και συνολίζονται συνθήκες συμβιβασμού.

Παράδειγμα: Συστήματα τριών ραβδών.



οι τρεις ραβδοί AB, CB, DB συντρέχουν στον κομβό B.

ο κομβός παρέχει δυο εξισώσεις ισορροπίας. Έτσι οι αγνώστοι είναι οι τρεις δυνάμεις των ραβδών.

Κουνηθύν συμβιβασμού θα προκύψει από την απαίτηση.

οι παραμορφώσεις να είναι τέτοιες ώστε οι ραβδοί να εξακολουθούν να συντρέχουν σε ένα ευθείο B'.

τότε η παραμορφωση της ραβδού AB θα είναι  $\delta l_{AB} = \sqrt{(L+y)^2 + x^2} - L \rightarrow$

$$\rightarrow \delta r_{AB}^2 + 2L\delta l_{AB} + L^2 = L^2 + 2Ly + y^2 + x^2$$

αν θεωρήσουμε θε μικρές μετατοπίσεις  $\rightarrow x^2, y^2, \delta l^2 \approx 0$ .

$$\rightarrow \delta l_{AB} = y. \text{ παρόμοια } \delta l_{BD} = x \quad (*)$$

$$\delta l_{BC} = \sqrt{(R \cdot \cos\theta - x)^2 + (R \cdot \sin\theta + y)^2} - R$$

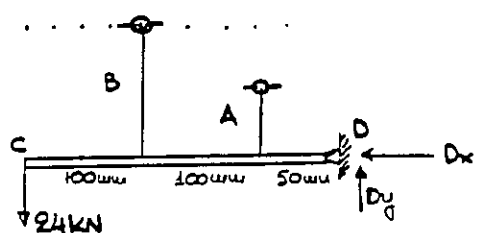
$$\rightarrow \delta l_{BC} + 2R\delta l_{BC} + R^2 = 2^2 \cdot \cos^2\theta - 2R \cdot x \cos\theta - x^2 + R^2 \sin^2\theta + 2Ry \sin\theta + y^2$$

αλετώντας τους δευτεροβάθμιους ανεπιρόδιστους όρους  $\rightarrow$

$$\delta l_{BC} \approx y \sin\theta - x \cos\theta \rightarrow \delta l_{BC} = \delta l_{AB} \cdot \sin\theta - \delta l_{BD} \cdot \cos\theta \text{ αυτή είναι η ζητούμενη συνδυακή συνθήκη.}$$

Ευχαρίστητος τώρα κάποιος τις παραδοχές των ραβδών με τις δυνάμεις τους θα έχει χί' αυτές τρεις συνδυμαίες: ελαστικότητας + ισορροπίας κόλδου.

■ Παραδειγμα.



Η κατακλιση δούλο CD επιρρίεται με αρθρώνου στο D μια δυνάμεις A και B. Ίσωνται οι τάσεις  $\epsilon_A, \epsilon_B$  των ραβδών και η μετατόμιση  $\delta_C$  του σωλήνα C. Δίνονται:  $E_A = 200 \text{ GPa}, A_A = 150 \text{ mm}^2, E_B = 100 \text{ GPa}, A_B = ?$

Μεση, για τη δούλο έχουμε τρεις ελαστικές ισορροπίας π.χ.  $\sum F_x = 0, \sum F_y = 0, \sum M_D = 0$  ενώ αχωνιστοι είναι τέσσερες οι  $P_A, P_B, D_x, D_y$ , η εσηνηκεση συνδυαση προαυπηει εφοτ γεγονός οτι η δούλο CD παρακτενει αναλητη, δηλ. ευαλγρολλη.

$$\delta l_B = \frac{\epsilon_B \cdot l_B}{2} \rightarrow \delta l_B = 3\delta l_A \rightarrow \frac{P_B \cdot l_B}{A_B \cdot E_B} = 3 \cdot \frac{P_A \cdot l_A}{A_A \cdot E_A} \rightarrow \frac{P_B \cdot 400 \cdot 10^{-3}}{200 \cdot 10^9 \cdot 100 \cdot 10^{-9}} = \frac{3P_A \cdot 200 \cdot 10^{-3}}{150 \cdot 10^9 \cdot 200 \cdot 10^{-9}}$$

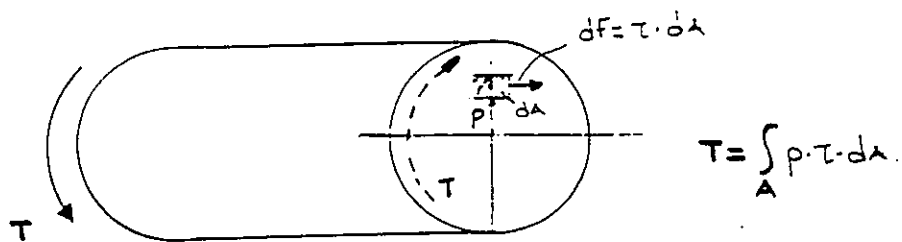
$$\sum M_D = 0 \rightarrow P_A \cdot 50 + P_B \cdot 150 - 24 \cdot 250 = 0 \rightarrow P_A = P_B = 30 \text{ kN.} \rightarrow \sigma_A = \frac{P_A}{A_A} = \frac{30 \cdot 10^3}{150 \cdot 10^{-6}} = 200 \cdot 10^6 \text{ Pa} = 200 \text{ MPa}$$

$$\sigma_B = \frac{P_B}{A_B} = \frac{30 \cdot 10^3}{200 \cdot 10^{-6}} = 150 \cdot 10^6 \text{ Pa} = 150 \text{ MPa}$$

$$\frac{\delta_C}{250} = \frac{\delta l_B}{150} \rightarrow \delta_C = \frac{5}{3} \cdot \delta l_B = \frac{5}{3} \cdot \frac{P_B \cdot l_B}{A_B \cdot E_B} = \frac{5}{3} \cdot \frac{30 \cdot 10^3 \cdot 400 \cdot 10^{-3}}{200 \cdot 10^9 \cdot 100 \cdot 10^{-9}} = 10^{-3} \text{ m} = 1 \text{ mm}$$

## 7. ΣΤΡΕΨΗ ΚΥΛΙΝΔΡΙΚΩΝ ΡΑΒΔΩΝ

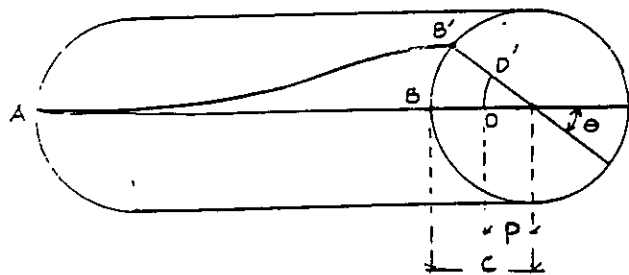
Εστω μια κυλινδρική ραβδος που φορτίζεται με διατμητικά φορτία διατεταγμένα ως δύο ακόντες διατομές της. Αν τα φορτία αυτά έχουν εννοιαία μέση ένα ζεύγος  $T$  επάνω σε κάθε διατομή - ίσα και αντίθετα επίς δύο διατομές - τότε η ραβδος κατανοείται σε στρέψη.



### Στρεπτική Διατμητική Παραμόρφωση.

Γίνεται η βασική παραδοχή ότι επίπεδες διατομές καθετες στον άξονα της ραβδού περιστρέφονται γύρω από το κέντρο τους ενώ ετέρευσι δύναι.

Ετσι η παραμόρφωση θα οφείλεται στην σχετική στροφή  $\theta$  των διατομών.



για τη γωνία διατμησης  $\gamma$  θα είναι

$$\tan \gamma_c = \frac{BB'}{L} = \frac{c \cdot \theta}{L}$$

$$\tan \gamma = \frac{DD'}{L} = \frac{r \cdot \theta}{L}$$

και για μικρές παραμορφώσεις:

$$\gamma_c = \frac{c\theta}{L} \quad \text{και} \quad \gamma = \frac{r\theta}{L}$$

$$\Rightarrow \frac{\gamma_c \cdot L}{c} = \frac{\gamma \cdot L}{r} \Rightarrow \gamma = \frac{\gamma_c}{c} \cdot r$$



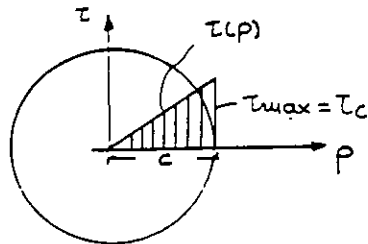
### Διατμητικές Τάσεις.

Για ελαστική στρέψη είναι  $\gamma = \frac{\tau}{G} \rightarrow \frac{\tau}{G} = \frac{\tau_c}{G \cdot c} \cdot \rho \rightsquigarrow \tau = \frac{\tau_c}{c} \cdot \rho$

$\rightarrow T = \int_A \rho \cdot \tau \, dA = \frac{\tau_c}{c} \cdot \int_A \rho^2 \, dA = \frac{\tau_c}{c} \cdot \int_A \rho^2 \, dA = \frac{\tau_c}{c} \cdot J$  όπου  $J$  η πολική ροπή αδράνειας της διατομής.

Για κυκλική διατομή  $J = \int_A \rho^2 \, dA = \int_0^c \rho^2 \cdot d(\pi \rho^2) = \int_0^c 2\pi \rho^3 \, d\rho = 2\pi \frac{\rho^4}{4} \Big|_0^c = \frac{\pi \cdot c^4}{2}$

$\rightarrow \tau = \frac{T \cdot \rho}{J}$  και  $\tau_{\max} = \frac{T \cdot c}{J}$  στην περιφέρεια.

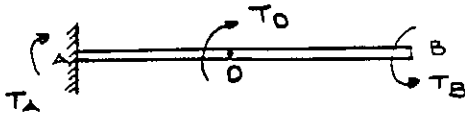


για την σχετική στρέψη  $\theta$  θα είναι:

$$\tau = \gamma \cdot G = \frac{\rho \cdot \theta}{L} \cdot G = \frac{T \cdot \rho}{J} \rightsquigarrow \theta = \frac{T \cdot L}{J \cdot G} = \frac{\tau_c \cdot L}{c \cdot G}$$

### Ισοσταθια Προβλήματα Στρέψης

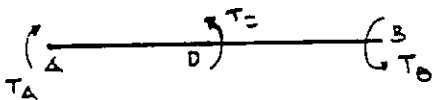
Στα προηγούμενα εξετάσαμε την περίπτωση όπου μόνο δύο ίσες και αντίθετες ροές εφαρμόζονται στην ράβδο. Μπορεί όμως να υπάρχουν δεξιά ράβδους περισσότερες ροές:



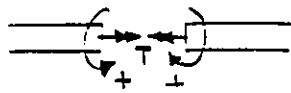
η δοκός AB είναι πακτωμένη στο A (η πακτωμένη άκρη των στρεψών της δοκού κ

επιποδίζει την εστίαση της διατομής A).

από την ισορροπία της δοκού θα είναι:  $T_A = T_B - T_0$



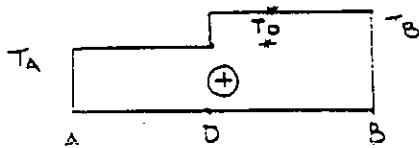
Στην περίπτωση αυτή βρίσκουμε τις εσωτερικές ροπές (εξωτερικές ροπές) που ασκούνται κάθε τμήμα. Η ροπή στρέψης σε κάποια διατομή θα ισορροπεί τις ροπές αριστερά ή δεξιά της τομής, και θεωρείται θετική όταν το κομμάτι αυτό ανακυρτώνεται από την διατομή.



Ετσι όταν υπολογίζουμε από αριστερά τις εσωτερικές ροπές οι εξωτερικές ροπές με φορά  $\curvearrowright$  δίνουν θετική ροπή, αρνητική όταν υπολογίζουμε από δεξιά.

Ετσι λοιπόν σε κάθε τμήμα αναλύεται σε δύο εξωτερικές ροπές η εσωτερική ροπή θα είναι σταθερή και στο σύστημα εφαρμογής των εξωτερικών ροπών θα ελεγχθεί πάντα ίσο με τη ροπή.

Γι' X για των παραπάνω δοκό:



Ετσι για το τμήμα AD είναι  $T = T_A$  και για το DB  $T = T_B$ .

και μπορούμε να εφαρμόσουμε όλα είναι σε ένα προηγούμενο παρακάτω.

Πρέπει να υπενθυμίσουμε ότι  $\theta_A = 0$  λόγω παύσεως. Ετσι η  $\theta_{DA} = \frac{T_A \cdot L_{AD}}{J \cdot G_{AD}}$

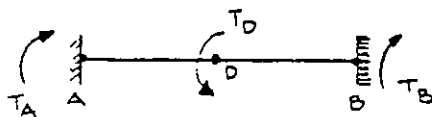
θα είναι η απόλυτη γωνία στρέψης της διατομής D,  $\theta_D$

και η απόλυτη γωνία στρέψης της B:  $\theta_B = \theta_{DB} + \theta_D = \frac{T_B \cdot L_{DB}}{J_{DB} \cdot G_{DB}} + \frac{T_A \cdot L}{J_{AD} \cdot G_{AD}}$

### Υπερστατικά Προβλήματα Στρέψης.

Έστω μια δοκός παύσεως στα δύο της άκρα (ακίνητη).

η εξίσωση ισορροπίας:  $T_D - T_A - T_B = 0$  δεν α



αν για τον προσδιορισμό των δύο αντιδράσεων TA

πρέπει να θεωρήσουμε και τις παραπάνω

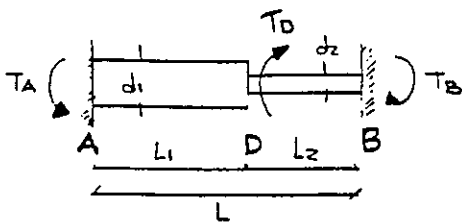
ω αν υποθέσουμε γωνίες τις  $T_A, T_B$  και υπολογίσουμε την απόλυτη γωνία στ

φής  $\theta_B$  σύμφωνα με τα προηγούμενα τότε από την συνθήκη  $\theta_B = 0$  (πάρ

ση και των εξισώσεων ισορροπίας βρίσκουμε τις  $T_A, T_B$ .

### Παραδείγματα

- Για κυλινδρική δοκός ADB μήκους L αποτελείται από δύο τμήματα AD, DB με στοιχεία που φαίνονται στο σχήμα. Να βρεθούν οι μέγιστες διατμητικές τάξεις στα δύο τμήματα



$$T_D = T_A + T_B \quad \text{αλλά}$$

$$T_A = \frac{J_1 \cdot G_1 \cdot \theta_{DA}}{L_1} \quad (1)$$

$$T_B = \frac{J_2 \cdot G_2 \cdot \theta_{DB}}{L_2} \quad (2)$$

$$\text{όπου } J_1 = \frac{\pi d_1^4}{32}, \quad J_2 = \frac{\pi d_2^4}{32}$$

$$\Rightarrow T_D = \frac{\pi \cdot d_1^4 \cdot G_1 \cdot \theta_{DA}}{32 L_1} + \frac{\pi d_2^4 G_2 \cdot \theta_{DB}}{32 L_2}$$

■ συνδυασμένη ελιξιαστική στο D επιβάσει  $\theta_{DA} = \theta_{DB} = \theta_D$

$$\Rightarrow T_D = \left( \frac{\pi d_1^4 \cdot G_1}{L_1} + \frac{\pi d_2^4 \cdot G_2}{L_2} \right) \cdot \frac{\theta_D}{32} \Rightarrow \theta_D = \frac{32 L_1 L_2 T_D}{\pi (d_1^4 G_1 L_2 + d_2^4 G_2 L_1)} \quad (3)$$

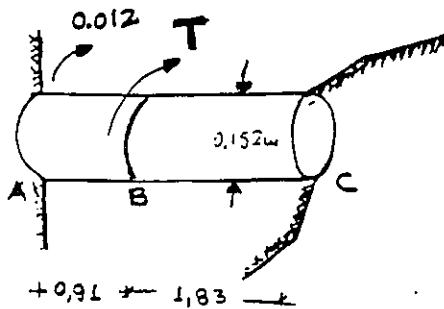
οι (1), (2) και (3) δίνουν :  $T_A = \frac{d_1^4 G_1 L_2 T_D}{d_1^4 G_1 L_2 + d_2^4 G_2 L_1}$ ,  $T_B = \frac{d_2^4 G_2 L_1 T_D}{d_1^4 G_1 L_2 + d_2^4 G_2 L_1}$

Τμήμα AB :  $\tau_{\max} = \frac{T_A \cdot C}{J} = \frac{T_A \cdot d_1}{2J} = \frac{16 G_1 L_2 d_1 T_D}{\pi (d_1^4 G_1 L_2 + d_2^4 G_2 L_1)}$

Τμήμα ΒΓ :  $\tau_{\max} = \frac{16 G_2 L_1 d_2 T_D}{\pi (d_1^4 G_1 L_2 + d_2^4 G_2 L_1)}$

Παρατήρηση : Εδώ υποθέσαμε ότι για την επιβίωση του συνδυασμένου ελιξιαστικού στο D αυτή για τον μινδυνότερο τμήμα  $\theta_B$ .

■ Να βρεθεί η μέγιστη ροπή  $T$  πρ μπορεί να φέρει η αμφίπλευρη δοκός αν  $\tau_{\text{ση}} = 83 \text{ MPa}$



δίνεται αρχική βροχή στρω πάκτωση A  
 $\theta_A = 0.012$  και  $G = 27.6 \times 10^3 \text{ MPa}$

$$J = \frac{\pi}{2} \left( \frac{2.152}{2} \right)^4 = 5.3 \cdot 10^3 \text{ cm}^4 = 53 \cdot 10^{-6} \text{ m}^4$$

η συνδικη ευλιβόστην για τη διατομή στο B απαιτεί:

$$\theta_{BC} = \theta_{BA} + 0.012 = \theta_B$$

$$\text{αμφιλοποιώντας τυχ βέβου: } \theta = \frac{\tau \cdot L}{G \cdot C}$$

$$\rightarrow \frac{\tau_{AB} \cdot 0.91}{27.6 \times 10^3 (0.0762)} + 0.012 = \frac{\tau_{BC} (1.828)}{(27.6 \times 10^3) \cdot (0.0762)} \rightarrow$$

$$\rightarrow \tau_{AB} + 27.6 = 2 \tau_{BC} \quad (\text{σε MPa}).$$

$$\text{αν } \tau_{AB} = 83 \text{ MPa} \rightarrow \tau_{BC} = 55.3 \text{ MPa} < \tau_{\text{ση}} = 83 \text{ MPa}$$

όρα υποδριστική είναι η  $\tau_{AB}$

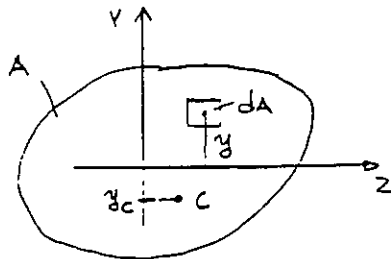
$$\rightarrow T_{AB} = \frac{\tau_{AB} \cdot J}{C} = \frac{83 \cdot 53 \cdot 10^{-6}}{76.2 \cdot 10^{-3}} = 57.73 \text{ KN}\cdot\text{m}$$

$$T_{BC} = \frac{\tau_{BC} \cdot J}{C} = \frac{55.3 \cdot 53 \cdot 10^{-6}}{76.2 \cdot 10^{-3}} = 38.46 \text{ KN}\cdot\text{m}$$

$$\rightarrow T = T_{AB} + T_{BC} = 96.19 \text{ KN}\cdot\text{m}$$

## 8. ΡΟΠΕΣ ΑΔΡΑΝΕΙΑΣ ΕΠΙΠΕΔΩΝ ΕΠΙΦΑΝΕΙΩΝ

### 8.1. Στατική Ροπή Αδρανείας Q



Ορίζουμε την στατική ροπή αδρανείας της επιφάνειας ως προς τον άξονα z ως:

$$Q_z = \int_A y \, dA \Rightarrow Q_z = y_c \cdot A \quad \text{όπου } c \text{ το γεωμετρικό κέντρο της επιφάνειας.}$$

Ετσι αν ο άξονας z περνά από το C θα είναι  $Q_z = 0$

για ευθέτες διατομές θα ισχύει ο τύπος:  $Q_z = \sum_i \int_{A_i} y \, dA = \sum y_{c_i} A_i$

Μονάδα του Q:  $m^3$

### 8.2 Δευτεροβάθμιες Ροπές Αδρανείας I

Η ροπή αδρανείας  $I_z$  της επιφάνειας A ως προς τον άξονα z ορίζεται ως εξής:

$$I_z = \int_A y^2 \, dA \quad (m^4)$$

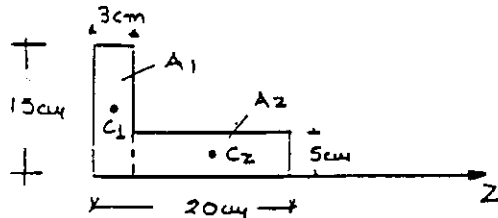
για ευθέτες διατομές ισχύει  $I_z = \sum_i \int_{A_i} y^2 \, dA = \sum I_{z_i}$

Θεωρούμε παραλληλές αξόνων.

Αν  $I_z$  είναι η ροπή αδρανείας της A ως προς έναν άξονα z που περνά από το γ.κ. της A τότε η  $I_{z'}$  ως προς έναν άξονα  $z' \parallel z$  και σε απόσταση d από αυτόν είναι:  $I_{z'} = I_z + d^2 \cdot A$  όπου A το εμβαδό της επιφάνειας.

## Παραδείγματα

- Να βρεθεί η στατική ροπή αδράνειας της διατομής του σχήματος ως προς τον άξονα z.



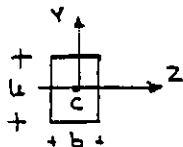
Δεωρούμε την επιφάνεια συντιθέμενη από τις  $A_1$ ,  $A_2$  και εφαρμόζουμε τους τύπους της σύνθετης διατομής.

$$A_1 = 3 \cdot 15 = 45 \text{ cm}^2, \quad y_{C_1} = 7,5 \text{ cm} \quad A_2 = 5 \cdot (20-3) = 85 \text{ cm}^2, \quad y_{C_2} = 2,5 \text{ cm}$$

$$\rightarrow Q_z = Q_1 + Q_2 = 45 \cdot 7,5 + 85 \cdot 2,5 = 550 \text{ cm}^3$$

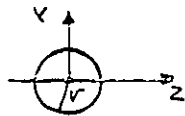
- Να υπολογισθούν οι ρομές αδράνειας  $I_z$  των παραπάνω επιφανειών.

ορθογώνιο



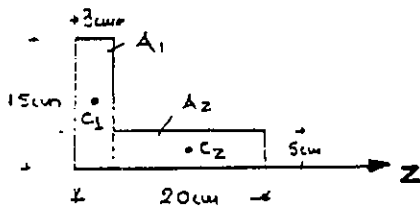
$$I_z = \int_A y^2 dA = \iint y^2 dz dy = \int_{-b/2}^{b/2} dz \cdot \int_{-h/2}^{h/2} y^2 dy = z \left|_{-b/2}^{b/2} \cdot \frac{y^3}{3} \right|_{-h/2}^{h/2} = \frac{b \cdot h^3}{12}$$

κύκλος



$$I_z = \iint y^2 z dy = \iint r^2 \sin^2 \theta \rho d\rho d\theta = \int_0^r \rho^3 d\rho \int_0^{2\pi} \sin^2 \theta d\theta = \frac{\pi r^4}{4}$$

## Σύνθετη διατομή



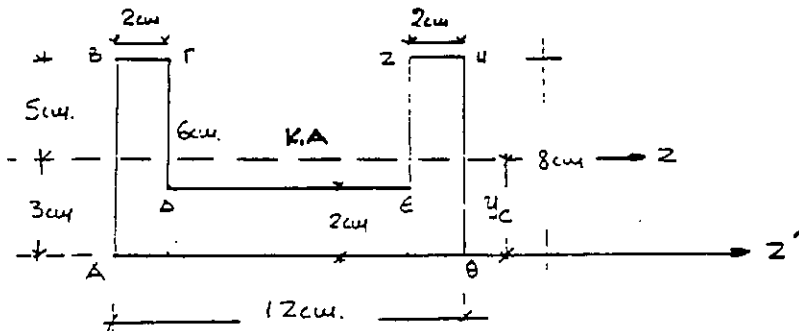
Εφαρμόζουμε τον τύπο της σύνθετης διατομής. Σε συνδυασμό με το δεωρούμε των  $Q_z$

Βρίσκουμε άμεσα:  $I_z = I_{A_1} + I_{A_2}$

$$I_{A_1} = \frac{3 \cdot 15^3}{12} + 7,5^2 \cdot 3 \cdot 15 = 3375 \text{ cm}^4, \quad I_{A_2} = \frac{5 \cdot 17^3}{12} + 2,5^2 \cdot 5 \cdot 17 = 708 \text{ cm}^4$$

$$\rightarrow I = 3375 + 708 = 4083 \text{ cm}^4$$

■ Να υπολογισθεί η ροπή αδράνειας  $I_z$  ως προς τον κεντρικό άξονα της διατομής του σχήματος.



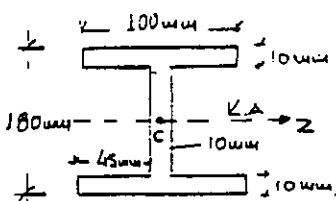
Υπολογίζουμε πρώτα την θέση του γ.κ της διατομής. Την οποία θεωρούμε ότι προκύπτει από την αφαίρεση του ορθογώνιου  $A_2 = ΓΔΕΖ$  από το ορθογώνιο  $A_1 = ΑΒΓΖΗΘ$

$$\Rightarrow y_c = \frac{A_1 \cdot y_{1c} - A_2 \cdot y_{2c}}{A_1 - A_2} = \frac{8 \cdot 12 \cdot 4 - 8 \cdot 6 \cdot 5}{8 \cdot 12 - 8 \cdot 6} = 3 \text{ cm}$$

η ροπή αδράνειας της διατομής θα είναι  $I_z = I_z^1 - I_z^2$   
 $I_{A1} = \frac{1}{12} \cdot 12 \cdot 8^3 + 12 \cdot 8 \cdot (4-3)^2 = 608 \text{ cm}^4$  (θεωρούμε παραλληλίων άξονων).

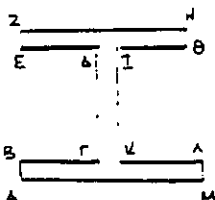
$$I_{A2} = \frac{1}{12} \cdot 8 \cdot 6^3 + 8 \cdot 6 \cdot (5-3)^2 = 336 \text{ cm}^4 \quad \Rightarrow I_z = 608 - 336 = 272 \text{ cm}^4$$

■ Να υπολογισθεί η ροπή αδράνειας  $I_z$  ως προς τον κεντρικό άξονα της διατομής του σχήματος.



Προφανώς ο άξονας z είναι άξονας συμμετρίας της διατομής εφαρμόζοντας τον τύπο της ενδεχόμενης διατομής:

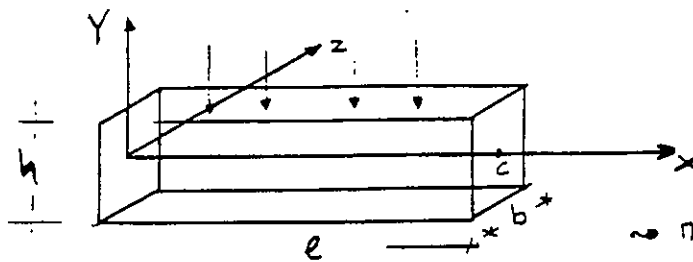
$$I_z = \frac{180^3 \cdot 100}{12} - \frac{2 \cdot 45 \cdot 160^3}{12} = 17,88 \cdot 10^6 \text{ mm}^4$$



θεωρούμε την διατομή σαν την διαφορά:  $A = ΑΖΗΜ - (ΕΓΔΕ + ΚΛΕΙ)$

## 9. ΚΑΜΨΗ ΔΟΚΩΝ

Θα υπολογίσουμε τις ορθές και διατμητικές τάσεις σε δοκούς με αξονικά διαστήση που πολύ μεγαλύτερη από τις διαστάσεις της διατομής, που φορτίζονται με δυνάμεις κάθετες στον άξονά τους (απόδη κάμψη)



$$b, h \ll l$$

Είναι για βαρέα μικρότερο του  $h$

→ Προσεγγιστικά επίπεδη ευσταθ.

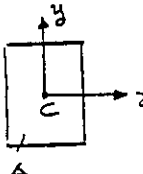
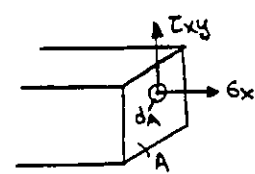
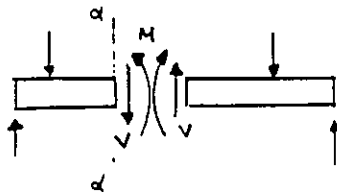
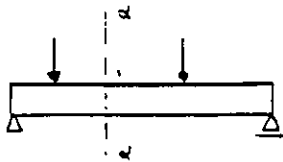
Επίσης κάνουμε την προσέγγιση  $\sigma_{yz} = 0$  έτσι οι μόνες τάσεις στη δοκό είναι

$$\sigma_x \text{ και } \tau_{xy} = \tau_{yx}$$

### 9.1. Υπολογισμός Ορθών Τάσεων

Γίνονται οι εξής παραδοχές:

- Υπάρχει ένας άξονας της δοκού που δεν αλλάζει το μήκος του με την κάμψη και γίνεται ουδέτερος άξονας.
- Επίπεδες διατομές κάθετες πάνω στον ουδέτερο άξονα παραμένουν επίπεδες! Κάθετες πάνω στον (παραταρταμένο) ουδέτερο άξονα και μετά την παραμόρφωση.



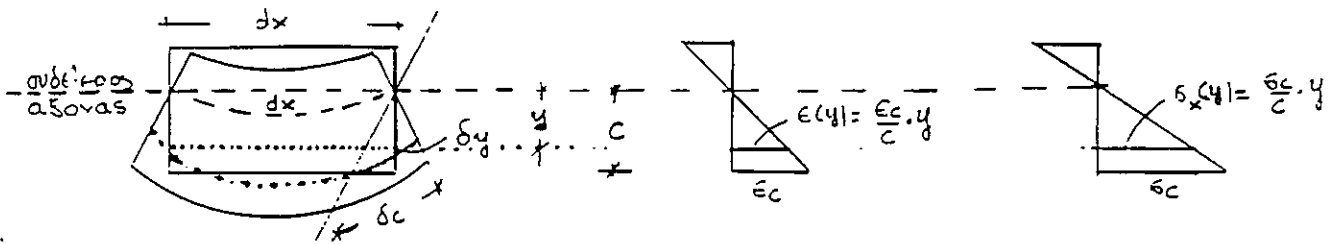
Όπως είδατε στην στατική οι εσωτερικές δυνάμεις σε μια διατομή ευσταθείσας σε  $x$  τέμνονται σε δύναμη  $V$  και μια καμπτική ροπή  $M$ . Σημάδα θα είναι:

$$V = - \int_A \tau_{xy} dA \quad M = - \int_A y \cdot \sigma_x dA$$



Εάν άξονα άξονα  $x$  παίρσουμε τον οριζόντιο άξονα που  $y$  δείχνει του προς το πάνω είναι άγνωστο.

ώς θεωρούμε ένα τμήμα  $dx$  της δοκού μεταξύ των διατομών  $x$  και  $x+dx$



στο σχήμα φαίνεται το κλιμα  $dx$  πριν και μετά την υαλγυ της δοκού.

Επιπλέον με τις παραδοχές του κοινάθε οι διατομές παραλείπου επιπέδες (από υφίστανται μια στροφη) ένα το τμήμα  $dx$  του οριζ άξονα διατρέπει το κλιμα  $\delta y$  επιφανειακή των επιφανών μιας ίνας της δοκού σε απόσταση  $y$  από τον οριζόντιο άξονα και με  $\delta c$  των επιφανών της αυταίας ίνας.

$$\text{από το σχήμα είναι: } \frac{\delta y}{\delta c} = \frac{y}{c} \Rightarrow \delta y = \frac{\delta c}{c} \cdot y \Rightarrow \frac{\delta y}{dx} = \frac{\delta c}{\rho \cdot dx} \cdot y \Rightarrow$$

$$\Rightarrow \epsilon = \frac{\epsilon_c}{c} \cdot y \quad \Rightarrow \quad \sigma_x = E \cdot \epsilon_x \quad (\sigma_z = \sigma_y = 0) \quad \Rightarrow \quad \sigma_x = E \cdot \frac{\epsilon_c}{c} \cdot y = \frac{E \cdot \epsilon_c}{c} \cdot y$$

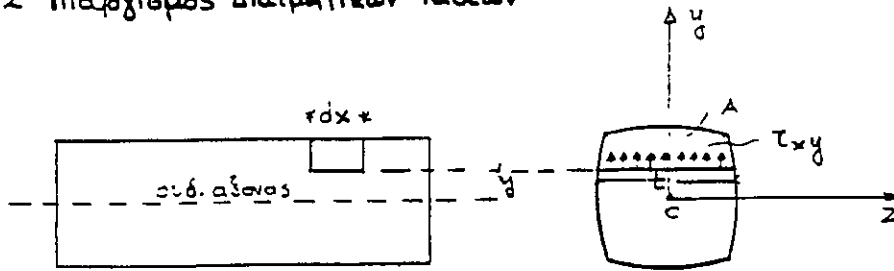
$$\text{Ενώ όπως } M = - \int_A y \sigma_x dA = - \frac{E \cdot \epsilon_c}{c} \int_A y^2 dA = - \frac{E \cdot \epsilon_c}{c} \cdot I_z \Rightarrow \sigma_x = - \frac{M}{I_z} \cdot y$$

υπό των αλληλ κερια άθεν δεν υπάρχουν άξονιες δυνάμεις ού  $\sum F_x = 0$

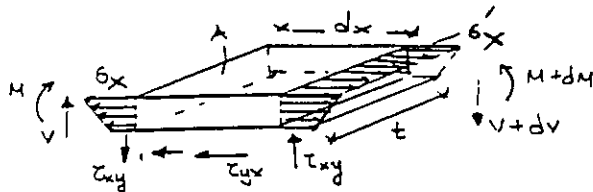
δα πρέπει  $\int_A \sigma_x dA = 0 \Rightarrow \int_A y dA = 0 \Rightarrow y_c = 0$  επομένως ο οριζόντιος άξονας περνά από το γεωμετρικό κέντρο της διατομής.

Συμπέραση. υποθέτουμε ότι το  $\epsilon_x$  (επομένως και το  $\sigma_x$ ) είναι ανεξάρτητο του  $z$

9.2 Υπολογισμός Διατμητικών Ταβών



παράδοχη:  $\tau_{xy}$  ανεξάρτητο του z



Συνάφει να υπολογίσουμε την διατμητική τάση  $\tau_{xy}$  σε απόσταση y από τον ουδέτερο άξονα υπολογίζουμε ένα τμήμα μήκους dx από την δεξιά όπως φαίνεται στο σχήμα.

Ισορροπία στοιχείου:  $\sum F_x = 0 \Rightarrow -\tau_{yx} \cdot t \cdot dx + \int \sigma'_x dA - \int \sigma_x dA = 0$

όπου t το πλάτος της διατομής σε απόσταση y

$$\Rightarrow \tau_{yx} \cdot t \cdot dx = \int_A -\frac{M+dM}{I_z} \cdot y \cdot dA + \int_A \frac{M}{I_z} \cdot y \cdot dA = -\frac{dM}{I_z} \cdot \int_A y \cdot dA$$

$$\Rightarrow \tau_{yx} = -\frac{dM \cdot Q}{dx \cdot I_z \cdot t} = -\frac{V \cdot Q}{I_z \cdot t}$$

$\tau_{yx} = \tau_{xy} = -\frac{VQ_z}{I_z t}$

όπου  $Q_z$  η σταθμική ροπή του τμήματος A, ως προς τον άξονα z

Στην κορυφή και την βάση της διατομής είναι  $Q_z = 0 \Rightarrow \tau_{xy} = 0$

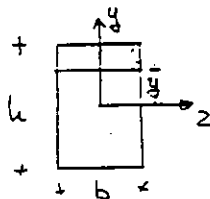
η μέγιστη διατμητική τάση εμφανίζεται στην διατομή όπου η V είναι μέγιστη.

και στην θέση y όπου η ποσότητα  $\frac{Q_z(y)}{t}$  γίνεται μέγιστη.

αν η διατομή έχει σταθερό πλάτος t τότε η  $\frac{Q_z(y)}{t}$  μεγιστοποιείται για  $y = \frac{y_c}{2} =$

Παράδειγμα.

παράλληλη διατομή.

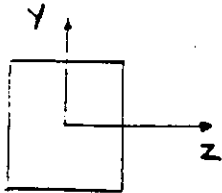


$$Q_z(y) = b \cdot \left(\frac{h}{2} - y\right) \cdot \left(\frac{1}{2} \left(\frac{h}{2} - y\right) + y\right) =$$

$$= \frac{b}{2} \left(\frac{h}{2} - y\right) \cdot \left(\frac{h}{2} + y\right) = \frac{b}{2} \left(\left(\frac{h}{2}\right)^2 - y^2\right)$$

$$\Rightarrow Q = 0 \text{ για } y = \pm \frac{h}{2}, \text{ και } Q_{max} = \frac{1}{8} b \cdot h^2 \text{ για } y = 0.$$

## 9.3 Κυρίες και Μεγιστες Διατμητικές Τάσεις Δοκού.



ορθές τάσεις  $\sigma_x = -\frac{M}{I_z} \cdot y$   $\sigma_y = 0$

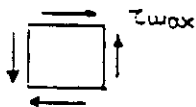
διατμητικές τάσεις  $\tau_{xy} = -\frac{V Q_z}{I_z \cdot z}$

Κυρίες ίνες  $y = y_{max}, y_{min}$  :  $\tau_{xy} = 0$  ,  $\sigma_x = \sigma_{max, min}$ .



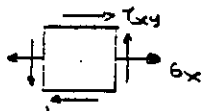
$\sigma_x$  : κυρίες τάσεις ,  $\tau_{max} = \frac{\sigma_x}{2}$  στα επίπεδα  $\pm \frac{z}{2}$

Μέγιστες τήσεις  $y = 0$  :  $\sigma_x = 0$  ,  $\tau_{xy} = \tau_{max}$



$$\sigma_p = \tau_{max}$$

Ενδοίβια  $0 < y < y_{max}$  ,  $y_{min} < y < 0$  : προβλημα επιπέδου ευτασης



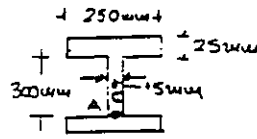
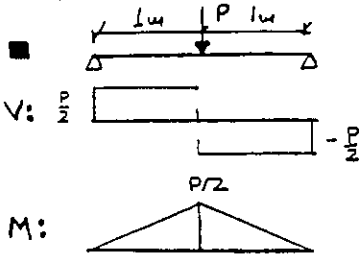
$$\sigma_{p1} = \frac{\sigma_x}{2} + \sqrt{\frac{\sigma_x^2}{4} + \tau_{xy}^2} \quad , \quad \sigma_{p2} = \frac{\sigma_x}{2} - \sqrt{\frac{\sigma_x^2}{4} + \tau_{xy}^2}$$

$$\tau_{max} = \frac{\sigma_{p1} - \sigma_{p2}}{2} = \sqrt{\frac{\sigma_x^2}{4} + \tau_{xy}^2}$$

Σε άσβεστες διατομές η μέγιστη κυρία τάση  $\sigma_p$  εμφανίζεται ευθυμετρως στις κυρίες ίνες.

σε διατομές  $I \sim T$  πρέπει να γίνεται έλεγχος στις εσωτερικές τμήσεις

## Παραδείγματα



για τη δαση του σχηματος με διατομη δινλην του  
δινεται οι μεγατες επιρρενοτερες τασεις  $\tau_{max} = 75 \text{ MPa}$   
και  $\sigma_{max} = 120 \text{ MPa}$  και ζητουμε το μεγατο φορτιο  
 $P_{max}$ .

υπολογιστος γεωμετριων στοιχειων.

$$I = \frac{1}{12} [250 \cdot 350^3 - 235 \cdot 300^3] = 364,5 \cdot 10^6 \text{ mm}^4$$

$$Q_c = 250 \cdot 25 \cdot (150 + 12,5) + 15 \cdot 150 \cdot 75 = 1185 \cdot 10^3 \text{ mm}^3$$

$$Q_A = 250 \cdot 25 (150 + 12,5) = 1016 \cdot 10^3 \text{ mm}^3$$

εξελεχουμε στη δεση της  $max M$ . (η V παντου σταθερη)

$$\delta_{ax} \text{ δαρες αυτες: } \sigma_{ax} = \frac{M \cdot y_{ax}}{I} = \frac{P/2 \cdot 175 \cdot 10^{-3}}{364,5 \cdot 10^6 \cdot 10^{-12}} = 239 \text{ P}$$

$$\tau_{ax} = \frac{V Q_c}{I t} = 119,5 \text{ P}$$

στη οξονα.

$$\sigma_o = 0. \quad \tau_o = \frac{V Q}{I t} = \frac{P/2 \cdot 1185 \cdot 10^3 \cdot 10^{-9}}{364,5 \cdot 10^6 \cdot 10^{-12} \cdot 15 \cdot 10^{-3}} = 108 \text{ P} = 6 \text{ P}$$

$$\delta_{Ax} \text{ ουτερο } \sigma_A = \frac{P/2 \cdot 150 \cdot 10^{-3}}{364,5 \cdot 10^6 \cdot 10^{-12}} = 205,8 \text{ P}$$

$$\tau_A = \frac{P/2 \cdot 1016 \cdot 10^3 \cdot 10^{-9}}{364,5 \cdot 10^6 \cdot 10^{-12} \cdot 15 \cdot 10^{-3}} = 92,9 \text{ P}$$

$$\Rightarrow \sigma_p = \frac{\sigma_A}{2} + \sqrt{\frac{\sigma_A^2}{4} + \tau_A^2} = 241,5 \text{ P}$$

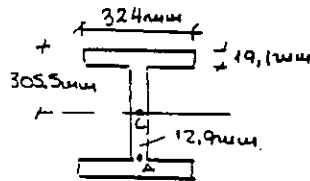
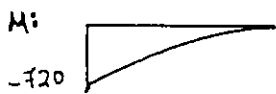
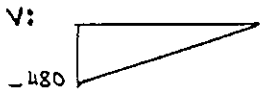
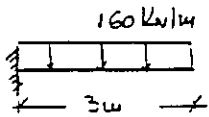
$$\tau_p = \sqrt{\frac{\sigma_A^2}{4} + \tau_A^2} = 138,6 \text{ P}$$

Καθοριστουμε οι τασεις στο Α.

$$\text{πρεπει } 241,5 \text{ P} \leq 120 \cdot 10^6 \sim \text{P} \leq 497 \text{ kN} \quad \left. \vphantom{241,5 \text{ P} \leq 120 \cdot 10^6} \right\} \Rightarrow P_{max} = 497 \text{ kN}$$

$$138,6 \text{ P} \leq 25 \cdot 10^6 \sim \text{P} \leq 541 \text{ kN}$$

■ Για την βάση του εκκλινοτήρα:  $\sigma_{\max}$ ,  $\tau_{\max}$ .



$$I = 1290 \cdot 10^6 \text{ mm}^4$$

$$Q_C = 324 \cdot 19,1 \left( 305,5 - \frac{19,1}{2} \right) + \left( 305,5 - \frac{19,1}{2} \right)^2 \cdot 12,9 \cdot \frac{1}{2} = 2360 \cdot 10^3 \text{ mm}^3$$

$$Q_A = 324 \cdot 19,1 \left( 305,5 - \frac{19,1}{2} \right) = 1832 \cdot 10^3 \text{ mm}^3$$

I) στην βάση:

$$\sigma_x = \frac{720 \cdot 10^3}{1290 \cdot 10^6} \cdot 305,5 = 0,17 \text{ kN/mm}^2 = 170 \text{ MPa} = \sigma_{\perp}$$

$$\tau_{\max} = \frac{\sigma_x}{2} = 85 \text{ MPa}$$

II) στο αξονάκι:

$$\tau_{xy} = \frac{480 \cdot 2360 \cdot 10^3}{1290 \cdot 10^6 \cdot 12,9} = 0,068 \text{ kN/mm}^2 = 68,2 \text{ MPa} = \sigma_{\perp}$$

III) στην Α.

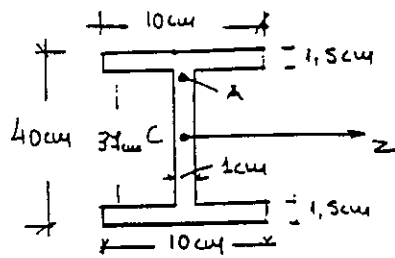
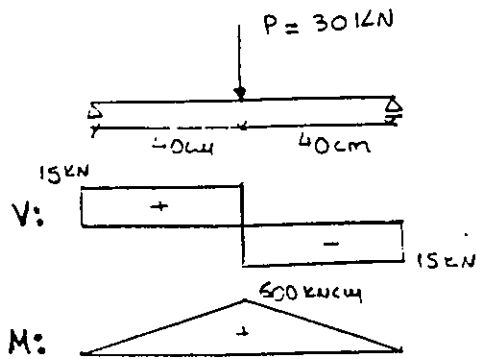
$$\sigma_x = \frac{720 \cdot 10^3 (305,5 - 19,1)}{1290 \cdot 10^6} = 159 \text{ MPa}$$

$$\tau_{xy} = \frac{480 \cdot 1832 \cdot 10^3}{1290 \cdot 10^6 \cdot 12,9} = 53 \text{ MPa}$$

$$\Rightarrow \sigma_0 = \frac{159}{2} \pm \left( \frac{159^2}{4} + 53^2 \right)^{1/2} = 175 \text{ MPa}, \quad \tau_0 = \left( \frac{159^2}{4} + 53^2 \right)^{1/2} = 96 \text{ MPa}$$

$$\Rightarrow \sigma_{\max} = 175 \text{ MPa}, \quad \tau_{\max} = 96 \text{ MPa}$$

- Να ορίσουν οι κριτικές οφές και διατμητικές τάξεις του δοκού.



$$I = \frac{40 \cdot 10^3}{12} - \frac{2 \cdot 37^3}{12} \cdot 1,5 = 15343 \text{ cm}^4$$

$$S_A = 1,5 \cdot 10 \cdot \left(18,5 + \frac{1,5}{2}\right) = 289 \text{ cm}^3$$

$$S_C = 289 + 1 \cdot 18,5 \cdot 18,5 = 460 \text{ cm}^3$$

Μέσον δοκού.

$$M = 600 \text{ kN}\cdot\text{cm}$$

$$V = 15 \text{ kN}$$

ακραία ίνα:  $\sigma_x = \frac{600}{15343} \cdot 20 = 0,78 \text{ kN/cm}^2 = \sigma_p$

$$\tau_p = \frac{6x}{2} = 0,30 \text{ kN/cm}^2$$

ουδ διαστρέψας:  $\sigma_x = 0$ ,  $\tau_{xy} = \frac{15 \cdot 460}{15343 \cdot 1} = 0,45 \text{ kN/cm}^2 = \tau_p = \sigma_p$

συμείο Α:  $\sigma_x = \frac{600 \cdot 18,5}{15343} = 0,72 \text{ kN/cm}^2$

$$\tau_{xy} = \frac{15 \cdot 289}{15343 \cdot 1} = 0,28 \text{ kN/cm}^2$$

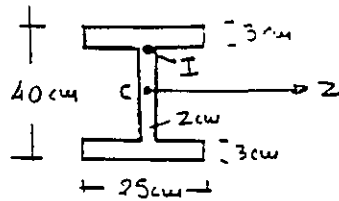
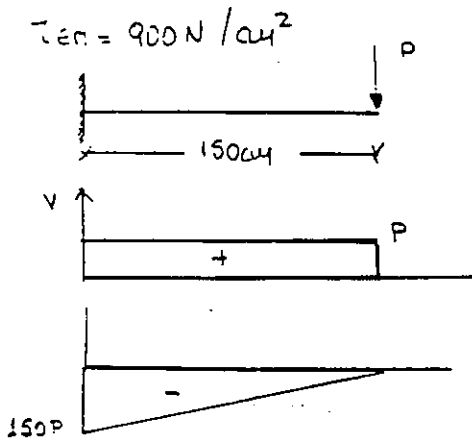
$$\sigma_p = \frac{0,72}{2} + \sqrt{\frac{0,72^2}{4} + 0,28^2} = 0,82 \text{ kN/cm}^2$$

$$\tau_p = \sqrt{\frac{0,72^2}{4} + 0,28^2} = 0,46 \text{ kN/cm}^2$$

οι κριτικές τάξεις  
εμφανίζονται στο  
συμείο Α

78

■ Για τον προβάλο του σχήματος να υπολογισθεί το  $\text{Max } P$  όταν:  $\sigma_{\text{ση}} = 1400 \text{ N/cm}^2$



$$I_z = \frac{40^3 \cdot 25}{12} - \frac{2 \cdot 34^3}{12} = 58000 \text{ cm}^4$$

$$Q^C = 3 \cdot 25 \cdot 18,5 + 2 \cdot 17 \cdot 8,5 = 1676 \text{ cm}^3$$

$$Q^I = 3 \cdot 25 \cdot 18,5 = 1387 \text{ cm}^3$$

$\text{max } V = P$   
 $\text{max } M = 150P$

συρταία I.  $\sigma_x = \frac{150P}{58000} \cdot 20 = 0,0517P \approx \tau_p = \frac{\sigma_x}{2} = 0,0258P$

συρταίο I  $\sigma_x = \frac{150P}{58000} \cdot 17 = 0,04396P \quad \tau_{xy} = \frac{P \cdot 1387}{58000 \cdot 2} = 0,01196P$

$\sigma_{p1} = \frac{0,04396P}{2} + \sqrt{\frac{0,04396^2 P^2}{4} + 0,01196^2 P^2} = 0,047P$

$\tau_p = \sqrt{\frac{0,04396^2 P^2}{4} + 0,01196^2 P^2} = 0,025P$

συδερτικός αξονας.  $\sigma_x = 0, \tau_{xy} = \frac{P \cdot 1676}{58000 \cdot 2} = 0,0144P$

$\tau_p = \sigma_{p1} = 0,0144P$

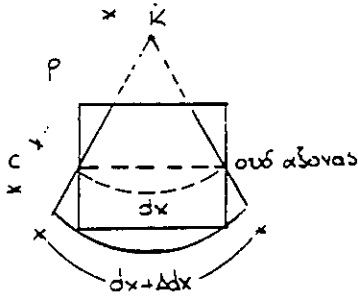
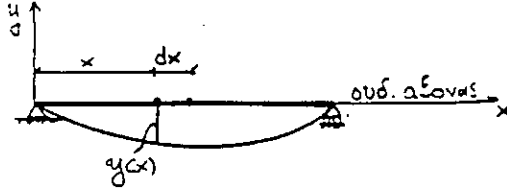
→ καθορισμένες οι τάσεις στον συρταία I:

$\sigma_{\text{max}} = 0,0517P < 1400 \rightarrow P < 27079 \text{ N}$   
 $\tau_{\text{max}} = 0,0258P < 900 \rightarrow P < 34883 \text{ N}$

$P_{\text{max}} = 27,079 \text{ kN} \rightarrow$  καθοριστική η ορμή ταβη

### 10. ΕΛΑΣΤΙΚΗ ΓΡΑΜΜΗ

Σαν ελαστική γραμμή δοκού ορίζεται ο παρα παρακείμενος ουδέτερος άξονας της δοκού ή άλλως η γραμμή των βυθίστων της δοκού.



θεωρούμε ένα άπειροστο τμήμα της δοκού  $dx$ , με άξονες των  $x$  και  $x+dx$ . Μετά την παραμόρφωση οι διατομές ανταντώνται στο κέντρο καμπυλότητας  $\kappa$  του άξονα της δοκού. Αν  $\rho$  είναι η ακτίνα καμπυλότητας του άξονα τότε 
$$\frac{1}{\rho} = \frac{y''}{(1+(y')^2)^{\frac{3}{2}}} \approx y'' = \frac{d^2y}{dx^2}$$

Επίσης  $dx = \rho \cdot d\theta$   
 $dx + \Delta dx = (\rho + c) \cdot d\theta$

$$\left. \begin{aligned} \frac{\Delta dx + dx}{dx} &= \frac{\rho + c}{\rho} \sim \frac{\Delta dx}{dx} = \epsilon_c = \frac{c}{\rho} \sim \frac{\delta c}{E} = \frac{1}{\rho} \cdot c \sim \\ &\sim \frac{M \cdot c}{E \cdot I_2} = \frac{d^2y}{dx^2} \cdot c \sim \end{aligned} \right\} \boxed{\frac{M}{E I_2} = \frac{d^2y}{dx^2}} \text{ Εξίσωση ελαστικής γραμμής.}$$

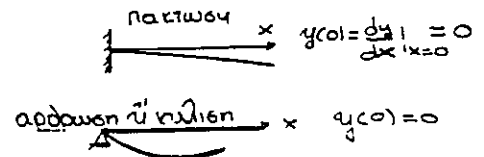
αν  $M > 0 \sim \frac{d^2y}{dx^2} > 0 \rightarrow$  η ελαστική γραμμή έρχεται τα υόδια προς τα άνω :

αν  $M < 0 \rightarrow$  κλίση ελαστικής γραμμής:

Υπολογισμός ελαστικής γραμμής.

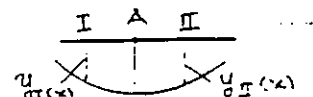
$$\frac{d^2y}{dx^2} = \frac{M}{EI_2} \sim \frac{dy}{dx} = \theta = \int \frac{M}{EI_2} dx + C_1 \sim y = \int \left[ \int \frac{M}{EI_2} dx \right] dx + C_1 x + C_2$$

Οι  $C_1, C_2$  θα προσδιορισθούν από τις οριακές συνθήκες :

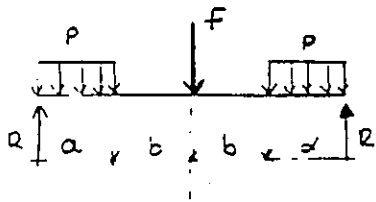


αν σε ένα τμήμα της δοκού η κλίση αλλάζει ευραπεία άρα και η  $y(x)$  τότε οι ενδιάμεσες διατομές θα προσδιορισθούν από τις συνθήκες συνέχειας στο κοινό εύκλιο.

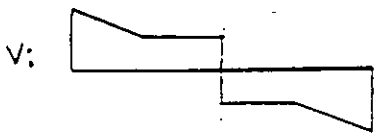
θα πρέπει:  $y_{II}(A) = y_{I}(A)$  και  $\frac{dy_{II}}{dx}(A) = \frac{dy_{I}}{dx}(A)$



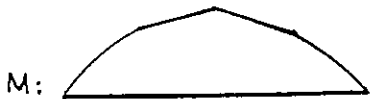


Περίπτωση συμμετρίας.

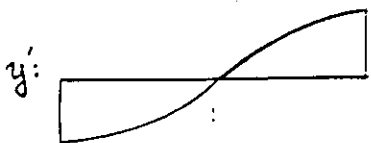
στην περίπτωση συμμετρικών φορτίων και αντιδράσεων  
ισχύουν το εξής:



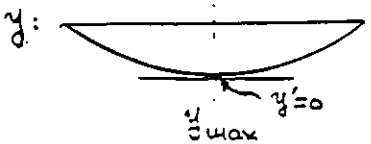
Διαγράμμα V αντισυμμετρικό.



Διαγράμμα M συμμετρικό.



Διαγράμμα y' αντισυμμετρικό το y' μηδενίζεται  
στον άξονα συμμετρίας

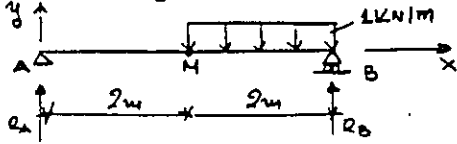


Διαγράμμα y συμμετρικό . μακρυσίου άξονα  
συμμετρίας.

Επει στην περίπτωση αυτή , για τον υπολογισμό της ελαστικής  
γραμμής , μπορεί να αντισταθεί στο ίδιο υαλλάτι, χωρίς  
πρωιότητας και του συνόλου  $y'(L/2) = 0$

Παραδείγματα

■ Να υπολογιστεί η βύθιση στο μέσον Μ της δοκού. Δίνονται  $E, I$ .



$$\left( \sum M_B = 0 \Rightarrow -R_A \cdot 4 + 1 \cdot 2 \cdot 1 = 0 \Rightarrow R_A = \frac{1}{2} \text{ kN} \right)$$

Βήματα:

Τμήμα ΑΜ ( $0 \leq x \leq 2$ ):  $u(x) = \frac{1}{2} x$

Τμήμα ΒΒ ( $2 \leq x \leq 4$ ):  $u(x) = \frac{1}{2} x - 1 \cdot \frac{(x-2)^2}{2} = -\frac{x^2}{2} + \frac{5}{2} x - 2$

Εξισώσεις χωρική

Τμήμα ΑΜ:  $EI \cdot \frac{d^2 y_I}{dx^2} = \frac{1}{2} x \Rightarrow EI \cdot y_I' = \frac{x^2}{4} + C_1 \quad (1) \Rightarrow EI y_I = \frac{x^3}{12} + C_1 x + C_2 \quad (2)$

Τμήμα ΒΒ:  $EI \frac{d^2 y_{II}}{dx^2} = -\frac{x^2}{2} + \frac{5}{2} x - 2 \Rightarrow EI y_{II}' = -\frac{x^3}{6} + \frac{5}{4} x^2 - 2x + C_3 \quad (3)$

$$\Rightarrow EI y_{II} = -\frac{x^4}{24} + \frac{5 \cdot x^3}{12} - x^2 + C_3 x + C_4 \quad (4)$$

οριακές συνθήκες ή συνθήκες συνέχειας στο Μ:

σύνδεση Α ( $x=0$ ):  $y_I(0) = 0 \xrightarrow{(2)} C_2 = 0$

κλίση Β ( $x=4$ ):  $y_{II}(4) = 0 \xrightarrow{(4)} 4C_3 = -C_4$

σύνδεση Μ ( $x=2$ ):  $y_I(2) = y_{II}(2) \xrightarrow{(2),(4)} 2C_1 = 2C_3 + C_4 - 3$

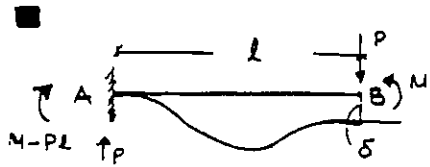
$y_I'(2) = y_{II}'(2) \xrightarrow{(1),(3)} C_1 = C_3 - 1,3$

$$C_1 = -1,4$$

$$C_3 = -0,1$$

$$C_4 = 0,4$$

και η βύθιση στο Μ θα είναι:  $EI \cdot y_{II}(2) = \frac{2^3}{12} - 1,4 \cdot 2 = -2,13 \Rightarrow y_M = -\frac{2,13}{EI}$



για τον προβολό του εκκλιματός δίνονται τα  $E, I, l, \delta$   
και ζητούνται τα  $P$  και  $M$  ώστε η βύθιση στο  $B$  να είναι ίση  
με  $\delta$  και η κλίση της ελαστικής γραμμής στο ίδιο σημείο  
ίση με  $\frac{\delta}{2}$ .

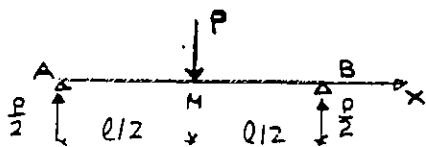
$$M(x) = Px + M - Pl \leadsto$$

$$EI y'' = Px + M - Pl \leadsto EI y' = P \frac{x^2}{2} + Mx - Plx + C_1 \leadsto EI y = P \frac{x^3}{6} + M \frac{x^2}{2} - Pl \frac{x^2}{2} + C_1 x + C_2$$

$$x=0: \quad y=0 \leadsto C_2=0 \quad ; \quad x=l: \quad y' = \frac{\delta}{2} \leadsto P \cdot \frac{l^2}{2} + M \cdot l - Pl^2 = 0 \leadsto M = \frac{Pl}{2}$$

$$y' = 0 \leadsto C_1 = 0 \quad ; \quad y = -\delta \leadsto -EI\delta = P \cdot \frac{l^3}{6} + \frac{Pl^3}{4} - \frac{Pl^3}{2}$$

$$\leadsto P = \frac{12EI\delta}{l^3}, \quad M = \frac{6EI\delta}{l^2}$$



να βρεθεί η εξίσωση της ελαστικής γραμμής.

Εδώ επειδή η φορτίση είναι συμμετρική ως προς το μέσον της δοκού θα είναι  $y'(M) = 0$  και αρκεί να εξεταστούμε το ένα τμήμα. ( $y(x)$  συμμετρικό).

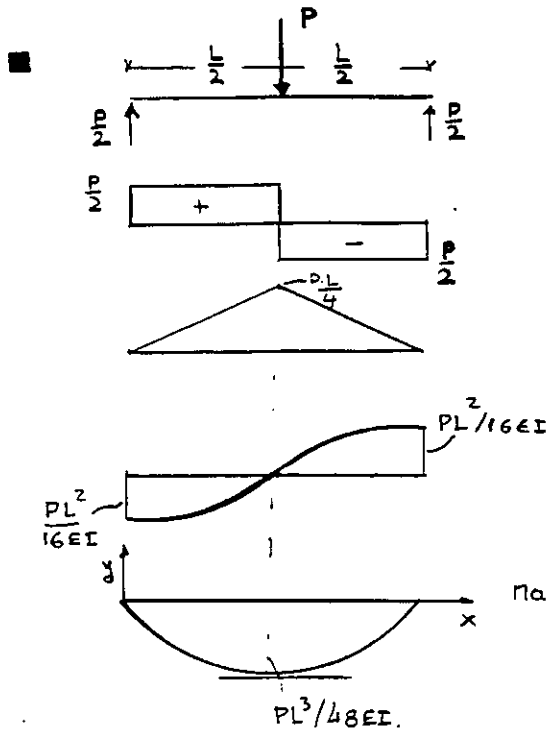
Τμήμα AM:

$$M(x) = \frac{P}{2}x \leadsto EI y'' = \frac{P}{2}x \leadsto EI y' = \frac{P}{4}x^2 + C_1, \quad EI y = \frac{P}{12}x^3 + C_1x + C_2$$

$$x=0 \leadsto y=0 \leadsto C_2=0$$

$$x = \frac{l}{2} \leadsto y' = 0 \leadsto C_1 = -\frac{Pl^2}{16}$$

$$\text{αρα} \quad y' = \frac{1}{EI} \left( \frac{P}{4}x^2 - \frac{Pl^2}{16} \right) \quad \text{και} \quad y = \frac{1}{EI} \left( \frac{P}{12}x^3 - \frac{Pl^2}{16}x \right)$$



Теленуца  $V = \frac{dM}{dx} = EI \cdot \frac{d^3y}{dx^3}$

пора  $M = EI \cdot \frac{d^2y}{dx^2}$

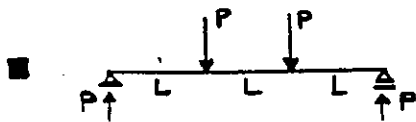
Клиен  $\theta = \frac{dy}{dx}$

параболическая  $y$

$M = \frac{P}{2}x \sim \frac{P}{2}x = EI \cdot y'' \Rightarrow EI y' = \frac{P}{4}x^2 + C_1 \Rightarrow EI y = \frac{P}{12}x^3 + C_1x + C_2$

ѡа  $x=0 \quad y=0 \Rightarrow C_2=0$ ; ѡа  $x=\frac{L}{2} \quad y'=0 \Rightarrow C_1 = -\frac{PL^2}{16}$

$\sim y = \frac{1}{EI} \cdot \left( \frac{P}{12}x^3 - \frac{PL^2}{16}x \right)$ ,  $y' = \frac{1}{EI} \left( \frac{P}{4}x^2 - \frac{PL^2}{16} \right)$



Још султерпиаз репродуцираде ело јуро коллати

Иста  $0 \leq x \leq L$

Иста  $L \leq x \leq 2L$

$EI y'' = P \cdot x$

$EI y'' = P \cdot x - P(x-L)$

$EI y' = \frac{1}{2} P x^2 + C_1$

$EI y' = \frac{P}{2} x^2 - \frac{1}{2} P(x-L)^2 + C_3$

$EI y = \frac{1}{6} P x^3 + C_1 x + C_2$

$EI y = \frac{P}{6} x^3 - \frac{1}{6} P(x-L)^3 + C_3 x + C_4$

Опракес јундууес.

$x=0; y=0 \Rightarrow C_2=0$

$x=\frac{3L}{2}; y'=0 \Rightarrow \frac{9}{8} PL^2 - \frac{1}{8} PL^2 + C_3 = 0 \Rightarrow C_3 = -PL^2$

Јундууес јундууес бае1111.

$x=L \Rightarrow y'_1 = y'_2 \Rightarrow C_1 = C_3 = -PL^2$

$x=L \Rightarrow y_1 = y_2 \Rightarrow C_2 = C_4 = 0$

